

Statistische Thermodynamik

Wintersemester 2011/2012

Christian Fischer
Institut für Theoretische Physik
JLU Gießen

christian.fischer-at-theo.physik.uni-giessen.de

Literaturvorschläge

W. Nolting: Grundkurs Theoretische Physik Bd. 4, 6 (Springer, 2007)

F. Schwabl: Statistische Mechanik (Springer, 2006)

L. E. Reichl: A Modern Course in Statistical Physics (Wiley-VCH, 2011)

R.J. Jelitto: Theoretische Physik 6. Thermodynamik und Statistik (Aula, 1985)

L. D. Landau , J. M. Lifschitz: Lehrbuch der Theoretischen Physik Bd. V, IX (Akademie, 1983)

H. Reinhardt: Statistische Thermodynamik, Script, Universität Tübingen, 1995

Inhalt der Vorlesung (vorläufig):

1. Grundlagen der statistischen Thermodynamik
2. Die mikrokanonische Gesamtheit
3. Klassische statistische Systeme im thermodynamischen Gleichgewicht
4. Das kanonische Ensemble
5. Die großkanonische Gesamtheit
6. Thermodynamische Beziehungen und Prozesse
7. Ideale und reale Gase
8. Phasenübergänge

Vorbemerkungen:

- Wie funktioniert ein Mischschraubzahn?
- Wie explodiert eine Supernova?
- Wie diffundiert Flüssigkeit durch Zellwände?
- Was bestimmt die Lefzähigkeit eines Körpers?

Fragen über komplexe physikalische Systeme
mit sehr wenigen Teilchen

typisch: $N_{\text{Avogadro}} \approx 6 \cdot 10^{23}$ (Moleküle pro Mol)

- ~ makroskopische Systeme mit sehr vielen mikroskopischen Freiheitsgraden
- ~ neue Skalen: Länge $L \gg$ mittlerer Teilchenabstand
 $zeit t \gg$ Zeitschalen mikroskopischer Bewegung

Ziel der statistischen Physik:

Gesetze für das Verhalten makroskopischer Systeme und ihre Begründung aus der mikroskopischen Physik mit statistischen Methoden.

Dies führt zu:

- qualitativ neue Gesetzmäßigkeiten: z.B. Irreversibilität
- neue Begriffe: z.B. Entropie, Temperatur
- statistische Gesetzmäßigkeiten die oft unabhängig sind von der mikroskopischen Physik ($\hat{=}$ Emergenz neuer Phänomene)
- oft sehr genauen statistischen Gesetzen
↳ relative Schwankungen $\sim \frac{1}{\sqrt{N}}$

Statisches Systeme sind aber nicht nur auf makroskopische Physik beschränkt:

Die Theorien der Grundkräfte der Natur

- Elektromagnetismus
- starke Kraft
- schwache Kraft

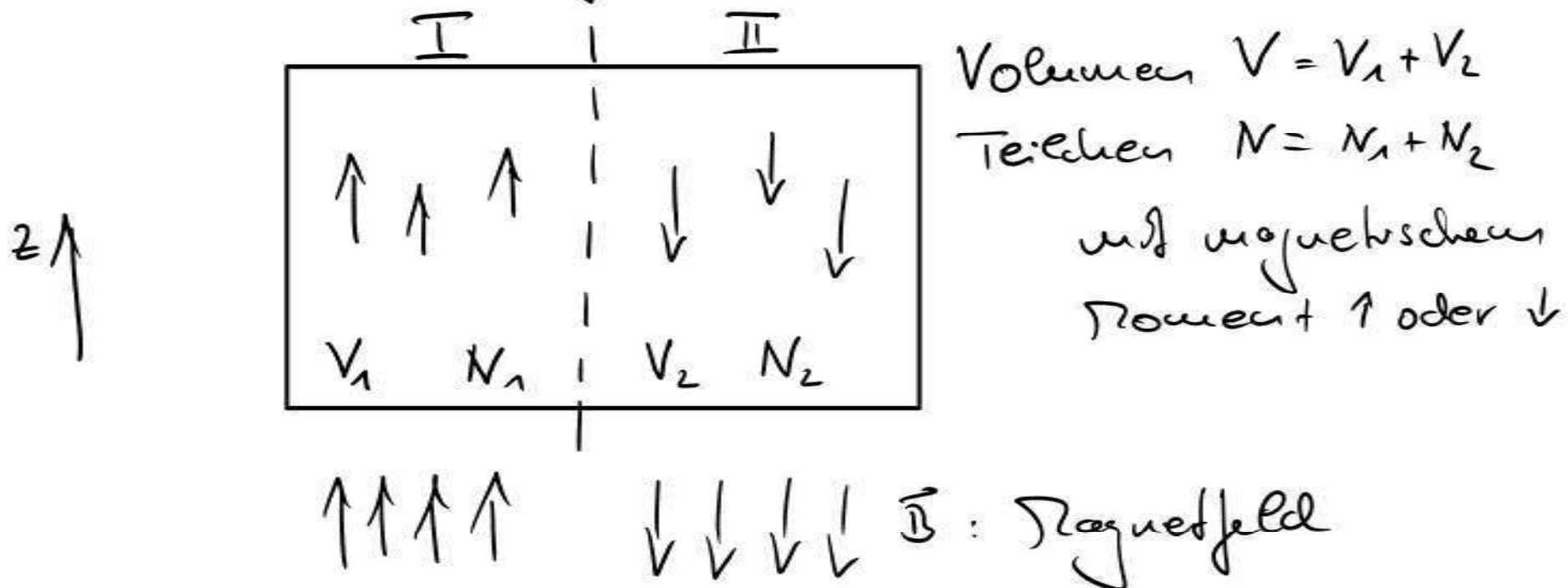
Können als (statisches) Quantenfeldtheorien mit neuendurchwirken freiehebergroßen formuliert werden.

→ zentraler Pfeiler der modernen Physik !

1. Grundlagen der statistischen Thermodynamik

1.1. Einfaches statistisches Modell

Betrachte N Teilchen in folgendem
isolierten, abgeschlossenen System:



- In jeder Kammer richten sich die Teilchen nach dem äußeren Magnetfeld aus.
Wechselt ein Teilchen zwischen $\text{I} \leftrightarrow \text{II}$, ändert sich die Richtung seines magnetischen Moments $m_i = \pm m$ relativ zur z-Achse.

Magnetisierung: $\mathcal{M} = \sum_{i=1}^N m_i = (N_1 - N_2)m$

- Wollen wir \mathcal{M} bestimmen, interessiert uns nur der Teilchenüberschuss $\Pi = \frac{1}{2}(N_1 - N_2)$ aber, welches einzelne Teilchen sich in welcher Kammer befindet.

- Mikrozustand: charakterisiert durch Zustand jedes einzelnen Teilchens

↑

Makrozustand: charakterisiert durch N_1, N_2
bzw. durch $N = N_1 + N_2$
 $\bar{N} = \frac{1}{2}(N_1 - N_2)$

⇒ Der makroskopische Zustand (N, \bar{N}) ist
bedingt seiner mikroskopischen Realisierung
entartet.

Entartungsgrad:

$$\Gamma(N, \bar{N}) = \binom{N}{N_1} = \binom{N}{\frac{1}{2}N + \bar{N}} = \frac{N!}{(\frac{1}{2}N + \bar{N})! (\frac{1}{2}N - \bar{N})!} \quad (\text{klassisch})$$

Bemerkung: In quantenmechanischen Systemen ist der Entartungsgrad viel geringer, da Teilchen derselben Art prinzipiell unterscheidbar sind.

Konsistenzcheck: Summe über Entartungsgrad aller Nekenzustände muss Zahl der Nekenzustände 2^N ergeben:

$$\sum_{\gamma=-\frac{N}{2}}^{+\frac{N}{2}} \Gamma(N, \gamma) = \sum_{N_1=0}^N \binom{N}{N_1} = \sum_{N_1=0}^N \binom{N}{N_1} \cdot 1 \cdot 1^{N-N_1} = (1+1)^N = 2^N$$

Binomial-
Formel

Wahrscheinlichkeiten für Aufenthalt eines Teilchens
in Kammern I oder II:

$$p_1 = \frac{V_1}{V} \quad , \quad p_2 = \frac{V_2}{V} \quad (\text{da jedes Volumenelement gleichberechtigt})$$

und es gilt: $p_1 + p_2 = 1$

Außerdem gilt:

jeder Teilchenstand ist mit gleicher Wahrscheinlichkeit realisiert.

⇒ Wkt. eines Teilchenstands $|N, \mathcal{N}\rangle$:

$$\omega(N, \mathcal{N}) = \Gamma(N, \mathcal{N}) p_1^{N_1} \cdot (1-p_1)^{N-N_1} = \frac{N!}{N_1! (N-N_1)!} p_1^{N_1} (1-p_1)^{N-N_1}$$

(Braukelvareitung)
Statistische Thermodynamik

1.2. Erwartungswerte und Fluktuationen

Mittelwert einer physikalischen Observable O :

$$\langle O \rangle = \frac{1}{Z} \sum_{i=1}^Z O_i; \quad \text{mit } Z: \text{Zahl der Mikrostände}$$

$O_i: \text{Wert der Observable}$
 $\text{im Mikrostand } i$

→ aufwändig und oft unzugänglich, da viele Mikrostände untersucht sind, d.h. dieselbe O_i haben.

Mittel über Nahmestände (K):

$$\langle O \rangle = \sum_k \omega(k) O_k$$

mit $\omega(k)$: Wkt. für Auftreten von $|K\rangle$

O_k : Wert der Observable im Nahmestand k

mittlere quadratische Schwingung (Fluktuation):

$$(\Delta O)^2 = \langle (O - \langle O \rangle)^2 \rangle$$

$$= \langle O^2 + \langle O \rangle^2 - 2O\langle O \rangle \rangle$$

$$(\Delta O)^2 = \langle O^2 \rangle - \langle O \rangle^2$$

Beispiel: Binomialverteilung unseres Modellsystems mit $p_1 = p_2 = 1/2$

$$\langle \tau \rangle = \sum_{\tau=-N_2}^{N_1} \omega(N_1, \tau) \tau = \sum_{\tau=-\frac{N}{2}}^{\frac{N}{2}} \frac{N!}{(N-N_1)! N_1!} \cdot \left(\frac{1}{2}\right)^N \cdot \frac{1}{2}(N_1 - N_2) = 0$$

wg. Symmetrie

$$\Rightarrow \langle N_1 \rangle = \frac{N}{2} = \langle N_2 \rangle \quad (\text{i. A. } \langle N_1 \rangle = N p_1, \langle N_2 \rangle = N p_2)$$

$$\Rightarrow \langle \mathcal{H} \rangle = 2 \mu \langle \tau \rangle = 0$$

Berechne $\Delta\bar{N}$ aus Fluktuation der Population ΔN :

$$(\Delta N)^2 = \langle N^2 \rangle - \langle N \rangle^2 = \langle N^2 \rangle$$

$$= \left\langle \left(\sum_{i=1}^N m_i \right)^2 \right\rangle = \sum_{i=1}^N \sum_{j=1}^N \langle m_i m_j \rangle$$

$$= \sum_{i=1}^N \sum_{j=1}^N \langle m_i \rangle \langle m_j \rangle_{i \neq j} + \sum_{i=1}^N \langle m_i^2 \rangle$$

$$= 0 + \sum_{i=1}^N \left(\frac{m^2 + (-m)^2}{2} \right)$$

$$= N \cdot m^2$$

$$\Rightarrow \Delta N = \frac{1}{2} \sqrt{N} \quad \text{bzw.} \quad \Delta N = 2 \Delta \bar{N} = \sqrt{N}$$

D.h. relative Teilchenzahlfluktuation $\frac{\Delta N}{N} = \frac{1}{\sqrt{N}}$

→ Allgemeine Eigenschaft von statistischen Systemen.

i.A. $\frac{\Delta N}{N} \approx 10^{-11}$, also sehr gering

Worum ist das so?

Vermutung: Entartungsgrad besitzt sehr scharfes Maximum bei $\lambda = 0$

Tatsächlich kann man mit Hilfe der

$$\text{Stirling-Formel: } N! = \sqrt{2\pi N} N^N \exp\left(-N + \frac{1}{12N} + \dots\right)$$

und der daraus folgenden Näherung

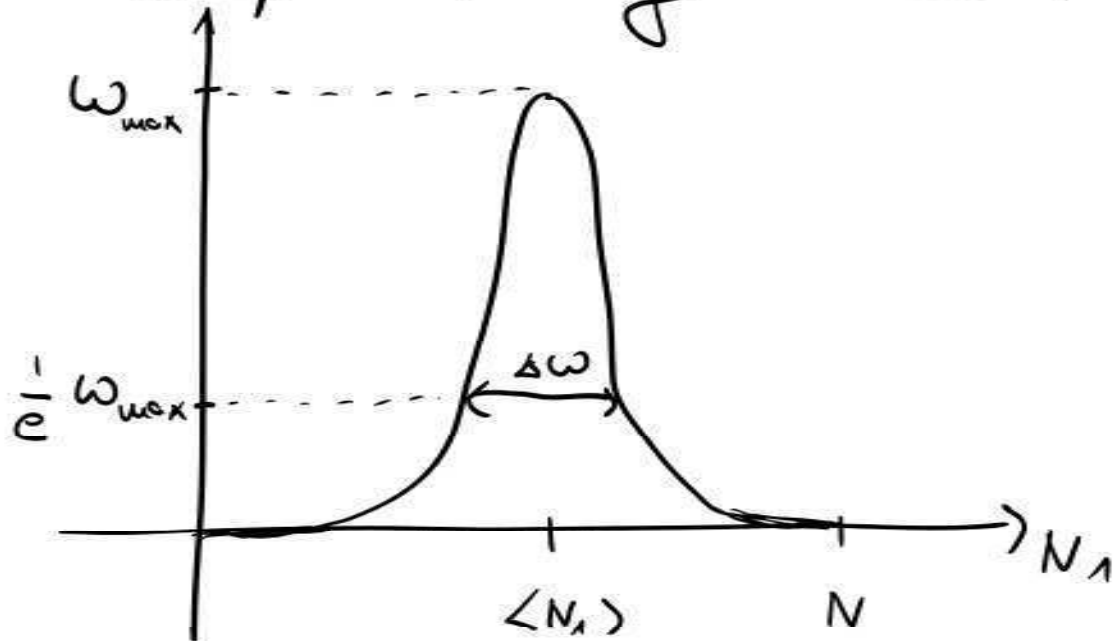
$$\ln(N!) \approx N(\ln N - 1) \quad \text{für große } N$$

abschätzen, dass

$$\omega(N, N_1) \approx \frac{1}{\sqrt{2\pi N p_1 (1-p_1)}} \exp\left(-\frac{(N_1 - \langle N_1 \rangle)^2}{2N p_1 (1-p_1)}\right)$$

(Details vgl. Nötting 3d.6)
Kapitel 1.1.2

In der Nähe des Mittelwerts $\langle N_1 \rangle = p_1 N$ verhält sich die Binomialverteilung also wie eine Gauß-verteilung mit Breite $\sqrt{2Np_1(1-p_1)} = \Delta\omega$



Wieder gefld: $\frac{\Delta\omega}{N} = \sqrt{\frac{2p_1(1-p_1)}{N}} \sim \frac{1}{\sqrt{N}} \rightarrow 0$ für große N

$$\text{z.B.: } p_1 = \frac{1}{2}, N = \frac{1}{2} \cdot 10^6 \rightarrow \frac{\Delta\omega}{N} = 10^{-3}$$

2. Die mikrokanonische Gesamtheit

2.1. Makroskopische Quantensysteme

Streng genommen sind alle makroskopischen Systeme Quantensysteme, wobei jedoch oft die typisch quantenmechanischen Eigenschaften der mikroskopischen Teilchen in den makroskopischen Observablen keine Rolle spielen. Dennoch wollen wir zunächst die streng quantenmechanische Behandlung eines statischen Systems vornehmen.

Betrachte hierfür ein Gas aus N quantenmechanischen Punkt-Teilchen im Volumen $V=L^3$, die miteinander nicht wechselwirken. →

Der Kasten V bestehe aus ideal reflektierenden Wänden, so dass das Potenzial $U(q) = \begin{cases} 0 & \text{für } q \in V \\ \infty & \text{für } q \in \partial V \end{cases}$

Koordinaten / Impulse: $(q_2, p_2) \quad 2=1\dots 3N$

Dann gilt: $H = \sum_{L=1}^{3N} \frac{p_L^2}{2m} + U(q)$

und $\frac{p_L^2}{2m} \Psi(q) = E \Psi(q) \quad \forall L \quad \text{mit } \Psi(q)=0$
am Rand ∂V

Lösung: $\Psi(q) \sim \sin(k_n q) \quad \text{mit } k_n = \frac{n\pi}{L}$

(Potenzialtopf mit unendlich hohen Wänden)

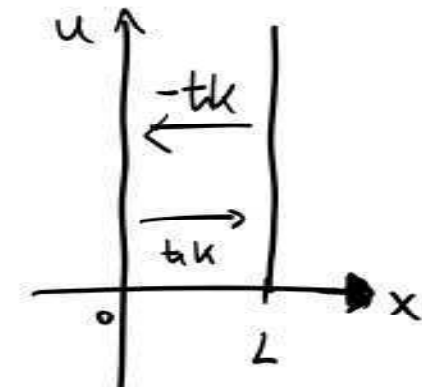
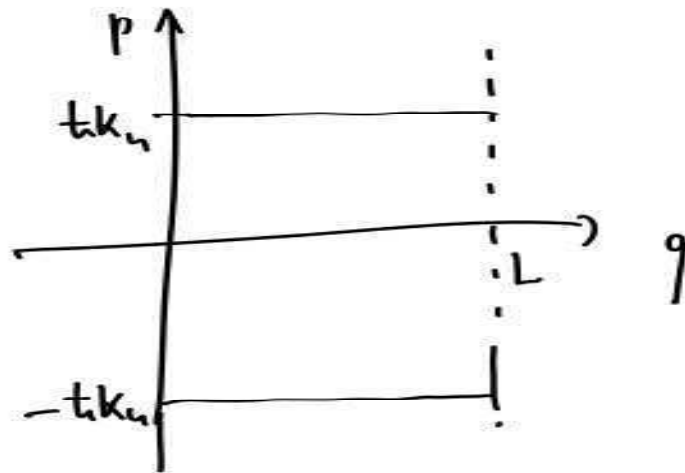
$$\Psi(q) \sim \sin(k_n q) = \frac{1}{2i} (e^{ik_n q} - e^{-ik_n q})$$

Statistische Thermodynamik

Überlagerung zweier ebener Wellen mit $\pm k_n$



Phasenraum:



Fläche im Phasenraum = Wirkungsintegrale ω_n

$$\omega_n = \oint dq \, p_n(q) = 2Ltk_n = 2\pi t h n$$

$$\Rightarrow \Delta \omega = \omega_{n+1} - \omega_n = 2\pi t h (n+1) - 2\pi t h n = \underline{2\pi t h} \quad \hbar_n$$

D.h. jeder Quantenzustand nimmt im Phasenraum
das Volumen $2\pi t h = h \epsilon_n$.

Bei hohen Teilchenenergien gilt das für beliebige
anzehnende Potentiale.

In einem Phaserraumelement $d^p dq$ befinden

sich dennoch $d\Gamma = \frac{d^p dq}{2\pi\hbar}$ Quantenzustände.

i. A.:

$$d\Gamma = \frac{d^{3N} p d^{3N} q}{(2\pi\hbar)^{3N}}$$

$d\Gamma$ wird auch als dimensionloses Phaserraumelement bezeichnet.

Bemerkung: Bis her haben wir noch zwischen den einzelnen Teilchen unterschieden. Handelt es sich aber um quantenmechanische Teilchen derselben Sorte dürfen wir das nicht mehr, und es gilt:

$$d\tilde{\Gamma} = \frac{d^{3N} p d^{3N} q}{(2\pi\hbar)^{3N} N!} = \frac{d\Gamma}{N!}$$

2.2. Beschreibung von klassischen Systemen im Phasenraum

Behachte nun klassisches System mit $S=3N$

Freiheitsgrade beschrieben durch $(q_\nu, p_\nu) \quad \nu=1\dots S$

Dann gilt: $\dot{q}_i = \frac{\partial H}{\partial p_i}, \quad \dot{p}_i = -\frac{\partial H}{\partial q_i}$ Hamilton'sche Bewegungsgesetze.

und $H = \sum_{i=1}^S \frac{p_i^2}{2m} + V(q_1 \dots q_S)$

DGL 1. Ordnung \Rightarrow eindimensionale Lsg. \Rightarrow Phasorautrajektorien schneiden sich nicht

Observable $\bar{F}(q, p, t)$:

$$\frac{d\bar{F}}{dt} = \frac{\partial \bar{F}}{\partial t} + \sum_{i=1}^S \left(\frac{\partial \bar{F}}{\partial q_i} \frac{\partial q_i}{\partial t} + \frac{\partial \bar{F}}{\partial p_i} \frac{\partial p_i}{\partial t} \right) = \frac{\partial \bar{F}}{\partial t} + \left\{ \bar{F}, H \right\}$$

Erhaltungsgrößen: $\frac{d}{dt} F(q(t), p(t)) = 0$

z.B. Energie $E = H(p, q) = \text{const.}$ für konservative Systeme
 $(\frac{\partial H}{\partial t} = 0)$

→ solche Größen definieren Hyperflächen in
 Phasoraum $\pi_i = (p_i, q_i)$, auf denen sich das
 System bewegt.

Im Experiment sehen wir immer nur zeitlich
 jeweilige Größen:

$$\bar{F}^T = \frac{1}{T} \int_0^T dt F(q(t), p(t), t)$$

und $\langle F \rangle = \lim_{T \rightarrow \infty} \bar{F}^T$ wäre „macroscopische
 zeitlichen“ Stud. 23

Quasiergodenhypothese (Ehrenfest, 1911):

Die im Phasenraum an die $H(\vec{p}, \vec{q}) = E$ - Hyperfläche gebundene Trajektorie kommt im Laufe der Zeit jeden Punkt dieser Fläche beliebig nahe.

- Bemerkung:
- Die meisten klassisch statistischen Systeme verhalten sich ergodisch.
 - Ausnahmen sind sehr speziell
 - Ergodizität lässt sich i. A. nicht beweisen
 - Ergodizität gilt nur für große N
- Ergodizität $\Rightarrow \langle F \rangle = \bar{F}$ existiert und ist unabhängig vom Anfangszustand.

2.3. Quantitative Beschreibung von ergodischen Systemen: Scharmittel

Ziel: Verwandle Zeitmittel in Scharmittel.

Unterteile Intervall \bar{T} in n Intervalle: $\bar{\tau} = n \cdot \varepsilon$

und nehme zu jedem Zeitpunkt $t_k = k \cdot \varepsilon$, $k=1 \dots n$,

in welcher Zelle $\Delta\bar{\tau}_r = \Delta q_r \Delta p_r$ sich das System befindet.

→ Finde System Δu_r^T mal in Zelle $\Delta\bar{\tau}_r$

→ Aufenthaltszeit in Zelle $\Delta\bar{\tau}_r$: $\Delta\omega_r^T = \frac{\Delta u_r^T}{n}$

→ Zeitmittel der Observablen: $\bar{F}^T = \sum_r \Delta\omega_r^T F(q, p)$

Ergodizität $\Rightarrow \lim_{T \rightarrow \infty} \Delta\omega_r^T = \Delta\omega_r$ und $\sum_r \Delta\omega_r = 1$

$\Delta\omega_r$ ist proportional zum Volumen $\Delta\bar{V}_r$ der Zelle

$$\rightarrow \Delta\omega_r = \Delta q_r \Delta p_r \cdot S(p_r, q_r)$$

mit Wkt.-Dichte $S(p_r, q_r)$

Gehört nun über zu infinitesimal kleinem $\Delta\bar{V}_r$,

$$\lim_{\Delta\bar{V}_r \rightarrow 0} S_\Delta(p_r, q_r) = S(p, q)$$

erhält man die kontinuierliche Wkt.-Dichte $S(p, q)$.

Bisher: S wurde aus zeitlicher Riffelung eines Systems,
das nacheinander alle Zellen des erweiterten
Phaserraums verschieden oft durchläuft.

Es gilt aber auch: jeder Punkt des Phaserraums kann als separater Mikrozustand behandelt werden.

⇒ Wir können eine zufällige Reihe von Systemen finden, die mit derselben Dichtefunktion $S(p,q)$ im Phaserraum verteilt ist.

→

statistisches Ensemble mit

$$\langle F \rangle = \bar{F} = \int dp dq S(p,q) \bar{F}(p,q)$$

Bemerkungen:

- Die Erwartungswerte von \bar{F} im statistischen Ensemble sind dieselben, wie die zugehörigen Erwartungswerte des einzelnen Systems:

$$\text{Zentrumittel} = \text{Scharmittel} \quad \begin{array}{l} (\text{setzt Ergodizität}) \\ \text{voraus!} \end{array}$$

- Wir können \mathcal{S} nun interpretieren als Besetzungs- wahrscheinlichkeitsdichte des Phaserraumes durch das Ensemble von Systemen („Phasenraumverteilung“)

Dieses Ensemble wird als

microkanonische Gesamtheit

betrachtet.

2.4. Das Liouville-Theorem

Betrachte nun Zeitentwicklung des Ensembles,
d.h. $S(p, q) \rightarrow S(p, q, t)$

Ist gilt: $\frac{d}{dt} S(p, q, t) = \frac{\partial S}{\partial t} + \{S, H\}$

da Wahrscheinlichkeit S gerade das Ensemble
darstellen will und deswegen erhalten bleiben muss.

Mit $\vec{v} = (q_1, q_2, \dots, p_1, p_2, \dots)$ und $\vec{\nabla} = \left(\frac{\partial}{\partial q_1}, \frac{\partial}{\partial q_2}, \dots, \frac{\partial}{\partial p_1}, \dots \right)$

kann man die Poisson-Gleichungen aufschreiben
werden:

$$\begin{aligned}\{S, H\} &= \sum_{i=1}^s \left(\frac{\partial S}{\partial q_i} \frac{\partial H}{\partial p_i} - \frac{\partial S}{\partial p_i} \frac{\partial H}{\partial q_i} \right) \\ &= \sum_{i=1}^s \left(\frac{\partial S}{\partial q_i} \dot{q}_i + \frac{\partial S}{\partial p_i} \dot{p}_i \right) \\ &= (\vec{\nabla} S) \cdot \vec{v} = \vec{\nabla} (v S) - (\vec{\nabla} v) S = \vec{\nabla} j - (\vec{\nabla} v) S\end{aligned}$$

Außerdem: $\vec{\nabla} v = \sum_{i=1}^s \left(\frac{\partial \dot{q}_i}{\partial q_i} + \frac{\partial \dot{p}_i}{\partial p_i} \right)$ mit Standardvektor $j = \vec{v} S$

$$\begin{aligned}&= \sum_{i=1}^s \left(\frac{\partial}{\partial q_i} \frac{\partial H}{\partial p_i} - \frac{\partial}{\partial p_i} \frac{\partial H}{\partial q_i} \right) = 0\end{aligned}$$

$\Rightarrow O = \frac{\partial S}{\partial t} + \vec{\nabla} j$ Verhüftsflebung

D.h. das Ensemble verhält sich im Phasenraum wie eine inkompressible Flüssigkeit und die wahre Dichte ρ ist konstant erhalten.



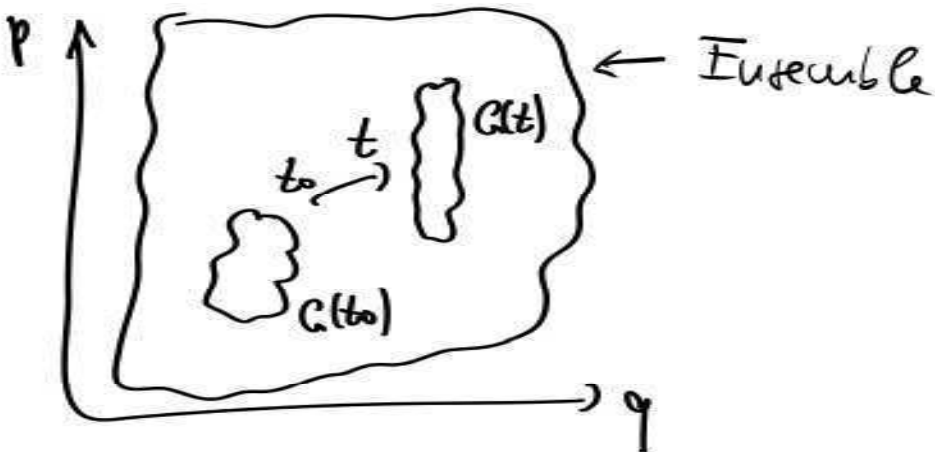
Liouville - Theorem: (durch Beweis)

Das Volumen $\Gamma(t)$ eines Gebiets $G(t)$, das von Systemen des Ensembles besetzt ist, ist zeitlich konstant.

$$0 = \frac{d\Gamma(t)}{dt} = \frac{d}{dt} \int_{G(t)} \frac{dp^s(t) dq^s(t)}{(2\pi t)^s}$$

$s = 3N$

Ausdruck:



Beachte: Nur das Volumen des Gebildes ändert sich nicht, die Form des Gebildes darf sich ändern.

2.5. Stationäre Verteilung

Eine Verteilung ist stationär, wenn die Dichteverteilung nicht explicit von der Zeit abhängt:

$$0 = \frac{dS}{dt} = \frac{\partial S}{\partial t} \quad , \text{ d.h. } \vec{V}_j^S = 0$$

$$\Rightarrow \{S, H\} = 0$$

d.h. S hängt nur über Erhaltungsgrößen \vec{F} von p, q, ω :

$$\{S(\vec{F}), H\} = \frac{\partial S}{\partial \vec{F}} \{ \vec{F}, H \} = 0 \quad \checkmark$$

↑
Uettkugel



In statistischen Systemen verschwinden für gewöhnlich aufgrund äußerer Randbedingungen der Gesamtimpuls und der Drehimpuls, so dass nur die Erhaltungsgesetze Energie von praktischer Bedeutung ist.

Da wir wieder postuliert hatten, dass alle Mikrozustände mit denselben Wkt. auftreten gld.:

$$S(p, q) = S_0 \mathcal{J}(E - H(p, q)) \quad \text{mit } S_0 = \text{const.}$$

In der Praxis werden wir uns fast ausschließlich mit stationären Systemen beschäftigen.

2.6. Die mikrokanonische Gesamtheit

$\hat{=}$ Ensembles mit fest vorgegebenem Volumen V , Teilchenzahl N und Energie E .

Solche Systeme sind abgeschlossen und, wie oben gezeigt, werden charakterisiert durch

$$S(p,q) = S_0 \cdot \mathcal{J}(E - H(p,q)) \quad (\text{idealisiert})$$

In der Praxis erhalten wir

$$\rho_{\text{MKE}}(p,q) = \begin{cases} \text{const.} & \text{for } E < H(p,q) < E + \Delta \\ 0 & \text{ sonst} \end{cases}$$

mit Energieschale $E < H \leq E + \Delta$

Auszahl der Zustände in der Energieescale:

$$\Gamma(E) = \int_{E < H < E+\Delta} d\Gamma = \int_{E < H < E+\Delta} \frac{d^s p d^s q}{(2\pi\hbar)^s} = \text{const.} \int d\Gamma \delta_{\text{HUE}}$$

Normierung von $\delta(p, q)$:

$$\lambda = \int \frac{d^s q d^s p}{(2\pi\hbar)^s} \delta(p, q) = \text{const.} \cdot \int_{E < H < E+\Delta} \frac{d^s q d^s p}{(2\pi\hbar)^s} = \text{const.} \cdot \Gamma(E)$$

$$\Rightarrow \delta_{\text{HUE}}(E) = \begin{cases} \frac{1}{\Gamma(E)} & \text{für } E < H(p, q) < E + \Delta \\ 0 & \text{sonst} \end{cases}$$

normierte Verteilungsfunktion
Statistische Thermodynamik

Später benötigen wir noch das von einer
Energie-Hypervfläche eingeschlossene Phasenraumvolumen:

$$\Sigma(E) = \int_{H < E} d\Gamma = \int d\Gamma \Theta(E - H)$$

Dann gilt unmittelbar: $\Gamma'(E) = \int_{E < H < E + \Delta E} d\Gamma = \Sigma(E + \Delta E) - \Sigma(E)$

und $\Gamma'(E) = \frac{\partial \Sigma(E)}{\partial E} \cdot \Delta = g(E) \cdot \Delta$

wobei die Niveaudichte $g(E)$ definiert ist.

$$g(E) = \frac{\partial \Sigma}{\partial E} = \int d\Gamma \delta(E - H)$$

(vgl. Übungsaufgabe)

2.7. Definition der Entropie

Unter statistischer Erweiterung ist durchgesetzt durch N, V, E und die Dichteverteilung S_{RUE} .

Alle physikalischen Observablen können durch diese Größen berechnet werden.

Die dafür relevanten Makrosysteme des Systems werden auf vielfältige Weise durch Makrosysteme realisiert, die wir aber nicht im Detail kennen. Alles was wir wissen (wissen) ist der Entartungsgrad Γ eines Makrosystems.



Dieser Verlust an Information über unser System können wir über Γ oder besser über $\ln \Gamma$ quantifizieren:

$$\text{Entropie } S(E, N, V) = k \ln \Gamma(E, N, V)$$

mit der Boltzmann-Konstante $k \approx 1,38 \cdot 10^{-23} \frac{\text{J}}{\text{K}}$

Die Entropie ist additiv, da für zwei nicht-wechselwirrende Systeme Γ_a und Γ_b gilt:

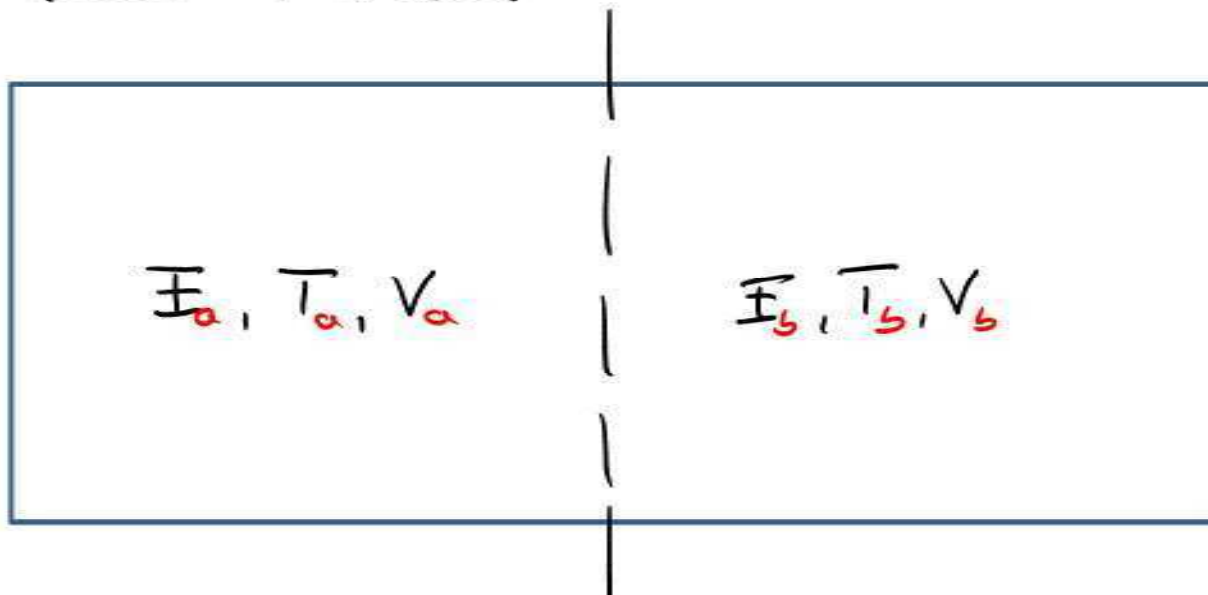
$$\Gamma = \Gamma_a \cdot \Gamma_b$$

$$\Rightarrow S = S_a + S_b$$

3. Klassische statistische Systeme im thermischen Gleichgewicht

3.1. Zwei Systeme im thermischen Kontakt: Die Additivität der Entropie

Betrachte $\mathcal{D}\text{UE}$ mit T, N, V und zerlege es in zwei Teile:



- Voraussetzungen:
- Treuungswinkel klein im Vergleich zu ΔV_A und ΔV_B
 - keine Langreichweite Wechselwirkung zwischen Teilchen

$$\Rightarrow H(p, q) = H_A(p_A, q_A) + H_B(p_B, q_B) \quad \text{da } H_A, H_B \gg H_{AB}$$

Erlaubt aber Energieaustausch zwischen den Teilsystemen, d.h. H_A und H_B sind variabel.

Das NHE des Gesamtsystems ist dann definiert durch den Entropiegrad auf der Energieskala

$$E < H < E + 2\Delta$$

Betrachte diskrete Energien $E_i = i \cdot \Delta$ und $i=1 \dots n$

Dann: $\Gamma(E) = \sum_{i=0}^n \Gamma_a(E_i) \Gamma_b(E - E_i)$, da Energie ausgetauscht werden kann.

$$\rightarrow \text{Entropie } S = k \ln \sum_{i=0}^n \Gamma_a(E_i) \Gamma_b(E - E_i)$$

Auch dieses System wird von einem scharfen Max. bei der wahrscheinlichsten Konfiguration dominiert. Betrachten wir den Fall $\bar{E} = \bar{E}_a + \bar{E}_b$ ergibt sich:

$$\Gamma_a(\bar{E}_a) \Gamma_b(\bar{E}_b) \leq \Gamma(E) \leq n \Gamma_a(\bar{E}_a) \Gamma_b(\bar{E}_b)$$

$$\Rightarrow k \ln (\Gamma_a(\bar{E}_a) \Gamma_b(\bar{E}_b)) \leq S(E) \leq k \ln (\Gamma_a(\bar{E}_a) \Gamma_b(\bar{E}_b)) + k \ln n$$

Es gilt aber $\Gamma \sim e^N \rightarrow \ln \Gamma \sim N$ (Kopfteil 1)

außerdem $u = \frac{\Xi}{\Delta} \sim \Xi \sim N$ (keine WW-Freiheit)

$\Rightarrow \ln \Gamma \gg \ln u$ für große N

$$\Rightarrow S(E, N, V) = S_a(\bar{E}_a, N_a, V_a) + S(\bar{E}_b, N_b, V_b)$$

Die Entropie ist auch hier additiv.

Denn betrachtet solche Größen auch als extensiv.

Beide Teilsysteme nehmen benötigt solche Energien \bar{E}_a, \bar{E}_b an, bei denen $\Gamma_a \cdot \Gamma_b$ max. wird.



'Maximal' bedeutet:

$$\begin{aligned}
 \Theta &= d(\Gamma_a(E_a) \Gamma_b(E_b)) \\
 &= \frac{\partial \Gamma_a(E_a)}{\partial E_a} \Gamma_b(E_b) dE_a + \Gamma_a(E_a) \frac{\partial \Gamma_b(E_b)}{\partial E_b} dE_b \\
 &= \frac{1}{\Gamma_a} \frac{\partial \Gamma_a}{\partial E_a} dE_a + \frac{1}{\Gamma_b} \frac{\partial \Gamma_b}{\partial E_b} dE_b \\
 &= \frac{\partial \ln \Gamma_a}{\partial E_a} dE_a + \frac{\partial \ln \Gamma_b}{\partial E_b} dE_b
 \end{aligned}$$

Außerdem gilt $\Theta = dE = dE_a + dE_b \rightarrow dE_a = -dE_b$

$$\Rightarrow \boxed{\frac{\partial \ln \Gamma_a}{\partial E_a} \Big|_{V_a, N_a} = \frac{\partial \ln \Gamma_b}{\partial E_b} \Big|_{V_b, N_b}}$$



Skizze der Definition der Temperatur \bar{T}

$$\frac{1}{\bar{T}} = \frac{\partial S(E, N, V)}{\partial E} \Big|_{V, N} = \frac{k}{\Gamma(E)} \frac{\partial \Gamma(E)}{\partial E} \Big|_{V, N}$$

folgt daraus: $T_a = T_b$

In einem isolierten System im thermischen Gleichgewicht herrscht überall die selbe Temperatur.

Es gilt ebenfalls auch:

$$S = k \ln \Gamma(E) \approx k \ln g(E) \approx k \ln \Sigma(E)$$

bis auf Terme der Ordnung $\frac{C_N N}{N}$

3.2. Der zweite Hauptsatz der Thermodynamik

Betrachte zwei zunächst isolierte thermische Systeme und bringe sie in thermischen Kontakt, d.h. erlaube Energieaustausch.

vorher: $\Gamma(E, N, V) = \Gamma_a(E_a, N_a, V_a) \Gamma_b(E_b, N_b, V_b)$

nachher: $\Gamma(E, N, V) = \sum_{\Delta E} \Gamma_a(E_a + \Delta E, N_a, V_a) \Gamma_b(E_b - \Delta E, N_b, V_b)$

wobei über alle möglichen Energieaustausch-
werte $E_a < \Delta E < E_b$ summiert wird.

$$\Rightarrow \Gamma(E, N, V) \geq \Gamma_a(E_a, N_a, V_a) \Gamma_b(E_b, N_b, V_b) \quad \forall E_a, E_b$$

$$\Rightarrow 2. HS: S(E, N, V) \geq S_a(E_a, N_a, V_a) + S_b(E_b, N_b, V_b)$$

D.h. bei allen isoliert ablaufenden Prozessen nimmt die Energie niemals ab.

→ Intuitiv klar, da

$$\text{vorher : } \bar{E}_a = H_a, \quad \bar{E}_b = H_b$$

$$\text{nachher : } \bar{E} = \bar{E}_a + \bar{E}_b = H_a + H_b$$

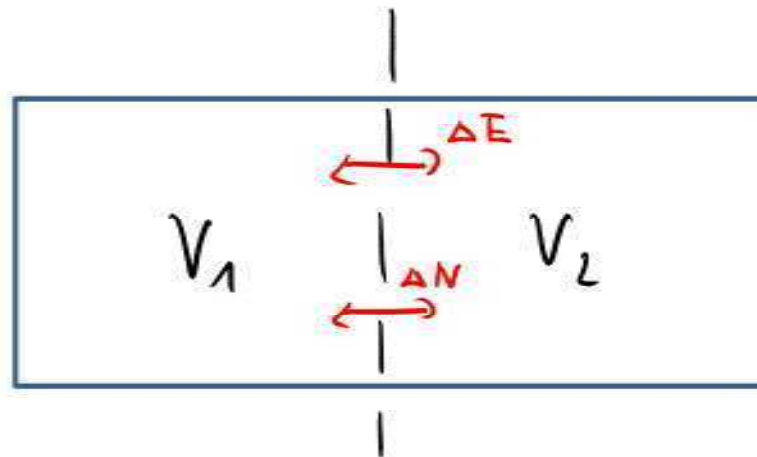
Die reale Bedeutung ist weniger intuitiv und kann deswegen durch mehr Rücksichtnahme erfasst werden.

Außerdem gilt:

$$\begin{aligned}\Delta S &= \frac{\partial S_1}{\partial \bar{E}_1} \Delta \bar{E}_1 + \frac{\partial S_2}{\partial \bar{E}_2} \Delta \bar{E}_2, \quad \Delta \bar{E}_1 = -\Delta \bar{E}_2 \\ &= \left(\frac{1}{T_1} - \frac{1}{T_2} \right) \Delta \bar{E}_1 \geq 0\end{aligned}$$

$T_1 > T_2 \Rightarrow \Delta \bar{E}_1 < 0 \quad \hat{=} \text{Fluss vom kalten ins kalte System}$

3.3. Zwei Systeme in diffusem Kontakt: Das chemische Potential



$$\bar{E} = \bar{E}_1 + \bar{E}_c$$
$$N = N_1 + N_c$$

Betrachte neben Energieaustausch nun auch noch die Möglichkeit des Teilchenaustauschs.

Dann:

$$\Gamma(E, N, V) = \sum_{\bar{E}_1, N_1} \Gamma_1(\bar{E}_1, N_1, V_1) \Gamma_2(E - \bar{E}_1, N - N_1, V_2)$$

Maximaler Entartungsgrad: $d\Gamma = 0$



$$0 = d(\Gamma_1 \Gamma_2) = \left(\frac{\partial \Gamma_1}{\partial N_1} dN_1 + \frac{\partial \Gamma_1}{\partial E_1} dE_1 \right) \Gamma_2 + \Gamma_1 \left(\frac{\partial \Gamma_2}{\partial N_2} dN_2 + \frac{\partial \Gamma_2}{\partial E_2} dE_2 \right)$$

außerdem $dE = dE_1 + dE_2 = 0$, $dN = dN_1 + dN_2 = 0$

$$\Rightarrow 0 = \left(\frac{\partial S_1}{\partial N_1} - \frac{\partial S_2}{\partial N_2} \right) dN_1 + \left(\frac{\partial S_1}{\partial E_1} - \frac{\partial S_2}{\partial E_2} \right) dE_1$$

$$\Rightarrow \frac{\partial S_1}{\partial E_1} - \frac{\partial S_2}{\partial E_2} = 0 = \frac{1}{T_1} - \frac{1}{T_2} \quad \text{wie vorher}$$

und $\frac{\partial S_1}{\partial N_1} - \frac{\partial S_2}{\partial N_2} = 0$

Definiere
 $\mu = -T \left(\frac{\partial S}{\partial N} \right)_{E,V}$ chemisches Potential



$$\Rightarrow \frac{\mu_1}{T_1} = \frac{\mu_2}{T_2} \quad \text{bzw.} \quad \boxed{\mu_1 = \mu_2}$$

In einem isolierten System im thermischen Gleichgewicht herrscht überall das gleiche chemische Potential.

Bezmerkungen:

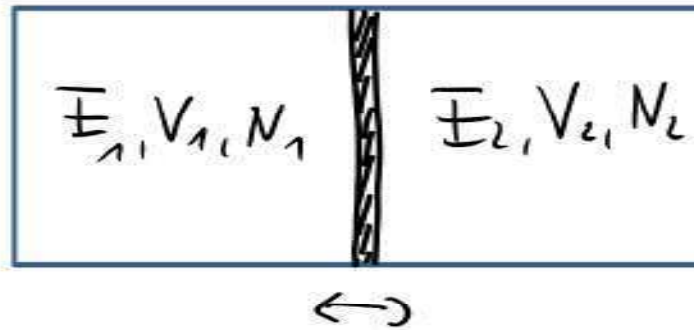
- $\mu = -T \left(\frac{\partial S}{\partial N} \right)_{E,V} = - \left(\frac{\partial S}{\partial E} \right)^{-1}_{N,V} \left(\frac{\partial S}{\partial N} \right)_{E,V} = - \left(\frac{\partial \Gamma}{\partial E} \right)^{-1}_{N,V} \cdot \left(\frac{\partial \Gamma}{\partial N} \right)_{E,V}$

also ganz aus Γ lösbar

- $dS = \left(\frac{\partial S_1}{\partial N_1} - \frac{\partial S_2}{\partial N_2} \right) dN_1 = \frac{1}{T} (\mu_2 - \mu_1) dN_1 > 0$

$\Rightarrow \mu_2 > \mu_1 \iff dN_1 > 0$, d.h. Fluss vom System mit höherer Konzentration in System mit niedrigerer Konzentration

3.4. Thermodynamisches Gleichgewicht bzgl. Volumenaustausch



Wir erlauben jetzt zunächst eine adiabatische ($\delta S=0$) Änderung der beiden Volumina. Hierbei gilt:

$$\vec{f} = - \frac{\partial \langle H \rangle}{\partial \vec{x}} = - \frac{\partial E}{\partial \vec{x}} = - \left(\frac{\partial E}{\partial V} \right)_{Is} \frac{\partial V}{\partial \vec{x}} = - \left(\frac{\partial E}{\partial V} \right)_{Is} \cdot \vec{d}V = p \vec{d}V$$

$$\rightarrow p = - \left(\frac{\partial E}{\partial V} \right)_{Is} \quad (\text{Def. des Drucks})$$

adiabatische Volumenänderung:

$$0 = dS = \left(\frac{\partial S}{\partial E}\right)_{V,N} dE + \left(\frac{\partial S}{\partial V}\right)_{E,N} dV + \left(\frac{\partial S}{\partial N}\right)_{E,V} dN$$

$$\Rightarrow 0 = \left(\frac{\partial S}{\partial E}\right)_{V,N} \left(\frac{\partial E}{\partial V}\right)_S + \left(\frac{\partial S}{\partial V}\right)_{E,N} + \left(\frac{\partial S}{\partial N}\right)_{E,V} \left(\frac{\partial N}{\partial V}\right)_S$$

$$\Rightarrow 0 = \frac{1}{T} \cdot (-p) + \left(\frac{\partial S}{\partial V}\right)_{E,N} + \left(-\frac{\nu}{T}\right) \left(\frac{\partial N}{\partial V}\right)_S$$

$$\Rightarrow \frac{p}{T} = \left(\frac{\partial S}{\partial V}\right)_{E,N} - \frac{\nu}{T} \left(\frac{\partial N}{\partial V}\right)_S$$

Zur thermodynamischen Gleichgewicht wird wieder

$$S = S_1(E_1, N_1, V_1) + S_2(E_2, N_2, V_2) \text{ und } E = E_1 + E_2, V = V_1 + V_2$$

und $N = N_1 + N_2$ max.

Seien bereit $T_1 = T_2$ und $\mu_1 = \mu_2$ voraus, dann:

$$0 = dS = d(S_1 + S_2) = \left(\frac{\partial S_1}{\partial V_1} \Big|_{E_1, N_1} - \frac{\partial S_2}{\partial V_2} \Big|_{E_2, N_2} \right) dV_1$$

$$\Rightarrow \frac{p_1}{T_1} = \frac{p_2}{T_2} \Rightarrow p_1 = p_2 \quad \text{analog } T, \mu.$$

Bemerkungen:

- Druck reagiert schneller an als T, μ , da makroskopische Bewegung
- im Gleichgewicht: $p > 0$.
Negative Drücke treten z.B. bei Ablosprozessen auf
(Tropfen)

3.5. Thermodynamische Beziehungen

In den folgenden betrachten wir sogenannte „quasistationäre“ Prozesse, d.h. Prozesse bei denen äußere Parameter des Systems (V, N, E) so langsam verändert werden, dass das System ständig im thermodynamischen Gleichgewicht bleibt, d.h. lokal $T, \mu, p = \text{const.}$ bleiben.

i. A. gilt dann:

$$dS = \left(\frac{\partial S}{\partial E}\right)_{N,V} dE + \left(\frac{\partial S}{\partial N}\right)_{E,V} dN + \left(\frac{\partial S}{\partial V}\right)_{E,N} dV$$

$$= \frac{1}{T} dE - \frac{\mu}{T} dN + \frac{p}{T} dV$$

$$\Rightarrow dE = TdS + \mu dN - p dV \quad 1. \text{ HS der TD}$$

Das ist der erste Hauptsatz der Thermodynamik
in differenzeller Form.

- $V, N = \text{const.} \rightarrow dE = TdS =: dQ \quad \text{Wärme } Q$
- $S, V = \text{const.} \rightarrow dE = \mu dN \quad \text{chemische Energie}$
- $S, N = \text{const.} \rightarrow dE = -pdV =: dW \quad \text{mechanische Arbeit}$

Gehen wir jetzt über zur \overline{E} nergie: $S(N, V, E) \rightarrow \overline{E}(S, N, V)$

$$\rightarrow d\overline{E} = \left(\frac{\partial \overline{E}}{\partial S}\right)_{V,N} dS + \left(\frac{\partial \overline{E}}{\partial V}\right)_{S,N} dV + \left(\frac{\partial \overline{E}}{\partial N}\right)_{V,S} dN$$

Vergleich mit ersten Hauptsatz liefert:

$$\left(\frac{\partial \overline{E}}{\partial S}\right)_{V,N} = T, \quad \left(\frac{\partial \overline{E}}{\partial V}\right)_{S,V} = -P, \quad \left(\frac{\partial \overline{E}}{\partial N}\right)_{S,V} = \mu$$

Daraus ergeben sich die Maxwell-Beziehungen:

$$\left(\frac{\partial T}{\partial V}\right)_{S,N} = - \left(\frac{\partial P}{\partial S}\right)_{V,N}$$

$$\left(\frac{\partial T}{\partial N}\right)_{S,V} = \left(\frac{\partial \mu}{\partial S}\right)_{N,V}$$

$$\left(-\frac{\partial P}{\partial N}\right)_{V,S} = \left(\frac{\partial \mu}{\partial V}\right)_{S,N}$$

3.6. Der Gleichverteilungssatz

Frage: Wieviel Energie trägt jeder Freiheitsgrad eines thermodynamischen Systems zur Gesamtenergie bei?

Behachte hierfür ein N-Teilchen-System beschrieben durch $\pi(q_i, p_i)$, $i=1..3N$.

Nikolaus'sches Ensemble:

$$\Gamma(E) = \int d\Gamma \quad , \quad \rho(p, q) = \begin{cases} 1/\Gamma & E < H < E + \Delta \\ 0 & \text{sonst} \end{cases}$$

Berechnung von $\langle \pi_i \frac{\partial H}{\partial \pi_j} \rangle$:



$$\left\langle \pi_i \frac{\partial H}{\partial \pi_j} \right\rangle = \frac{1}{\Gamma(E)} \int_{E < H < E+\Delta} d\Gamma \pi_i \frac{\partial H}{\partial \pi_j} = \frac{1}{\Gamma(E)} \left(\underbrace{\int_{H < E+\Delta} d\Gamma \pi_i \frac{\partial H}{\partial \pi_j} - \int_{H < E} d\Gamma \pi_i \frac{\partial H}{\partial \pi_j}}_{\int(E+\Delta) - \int(E)} = \Delta \frac{\partial f}{\partial E} + \dots \right)$$

$$= \frac{\Delta}{\Gamma(E)} \frac{\partial}{\partial E} \int_{H < E} d\Gamma \pi_i \frac{\partial H}{\partial \pi_j}$$

$$= \frac{\Delta}{\Gamma(E)} \frac{\partial}{\partial E} \int_{H < E} d\Gamma \pi_i \frac{\partial(H-E)}{\partial \pi_j}, \quad \text{da } \frac{\partial E}{\partial \pi_j} = 0$$

$$= -\frac{\Delta}{\Gamma(E)} \frac{\partial}{\partial E} \int_{H < E} d\Gamma \frac{\partial \pi_i}{\partial \pi_j} (H-E) \quad \left. \right\}$$

$$= \frac{S_{\text{id}}}{g(E)} \frac{\partial}{\partial E} \int_{H < E} d\Gamma (E-H)$$

Statistische Thermodynamik

$$\begin{aligned} & \text{da } \int d\Gamma \frac{\partial}{\partial \pi_j} (\pi_i \cdot (H-E)) \\ &= \int \prod_k \frac{d\pi_k}{2\pi t} \frac{\partial}{\partial \pi_j} (\pi_i \cdot (H-E)) \\ &\stackrel{\text{auskl}}{=} \frac{1}{2\pi t} \int_{H=E} d\tilde{f} (\pi_i \cdot (H-E)) = 0 \end{aligned}$$

$$\rightarrow \langle \pi_i, \frac{\partial H}{\partial \pi_j} \rangle = \frac{\mathcal{J}_{ij}}{g(E)} \int d\Gamma \quad , \text{ da Ableitung } \frac{\partial}{\partial E} \text{ auf} \\ \text{Oberfläche } H=E \text{ verschwindet,} \\ \times \frac{\partial}{\partial \gamma} \int d\chi (\gamma - x)$$

$$= \mathcal{J}_{ij} \frac{\sum(E)}{\frac{\partial \sum(E)}{\partial E}}$$

$$= \mathcal{J}_{ij} \left(\frac{\partial}{\partial E} \text{eu}\Sigma \right)^{-1}$$

$$\rightarrow \boxed{\langle \pi_i, \frac{\partial H}{\partial \pi_j} \rangle = \mathcal{J}_{ij} k \left(\frac{\partial S}{\partial E} \right)^{-1}} \quad , \text{ da } S = k \text{eu}\Sigma$$

$$= \mathcal{J}_{ij} k \bar{T}$$

verallgemeinerter Gleichverteilungssatz

Insbesondere gilt: $k \bar{T} = \langle p_i, \frac{\partial H}{\partial p_i} \rangle = \langle p_i q_i \rangle = \langle q_i, \frac{\partial H}{\partial q_i} \rangle = - \langle q_i, p_i \rangle$

Welche Form hat der Standard-Hamiltonian:

$$H = \sum_{i=1}^s \frac{p_i^2}{2m} + V(q_i) , \quad p_i = m\dot{q}_i , \quad \frac{\partial V}{\partial q_i} = \ddot{q}_i = -\dot{p}_i$$

$$\langle T \rangle = \left\langle \sum_{i=1}^s \frac{p_i^2}{2m} \right\rangle = \frac{1}{2} \sum_{i=1}^s \langle p_i \dot{q}_i \rangle = \frac{s}{2} k\bar{T}$$

$$\left\langle \sum_{i=1}^s q_i \frac{\partial V}{\partial q_i} \right\rangle = - \sum_{i=1}^s \langle q_i \dot{p}_i \rangle = sk\bar{T} \quad (\text{"Virial"})$$

- ⇒
- jeder Freiheitsgrad trägt $\frac{1}{2} k\bar{T}$ zur kin. Energie bei.
 - Es gibt die statistische Form des Virialsatzes:

$$\langle T \rangle = \frac{1}{2} \left\langle \sum_{i=1}^s q_i \frac{\partial V}{\partial q_i} \right\rangle$$

3.7. Beispiel: Das ideale Gas

Betrachte N punktförmige, wechselwirkungsfreie Teilchen in Volumen V eingeschlossen:

$$H = \sum_{i=1}^{3N} \frac{p_i^2}{2m} \quad (\text{innerhalb } V)$$

Plausivraumvolumen:

$$\Sigma(E) = \frac{1}{N!} \int d\Gamma \quad (\text{vgl. Sek 21})$$



Gase sind thermodynamische Systeme, deren Teilchen den Gesetzen der Quantenmechanik unterliegen. Nur im Limes großer Energie,



dürfen wie die Dynamik dieser Systeme durch den klassischen Hamiltonian beschrieben. Die Art, die Zustände des Systems zu führen muss aber weiterhin quantenmechanisch bleiben, d.h. wir zählen den tatsächlichen Teilchen.

[Von jetzt an berücksichtigen wir diesen Faktor immer.]

Phaseerraumvolumen:

$$\begin{aligned} \Sigma(E) &= \frac{1}{N!} \int_{H \leq E} d\Gamma = \frac{1}{N!} \int_{H \leq E} \prod_{i=1}^{3N} \frac{dp_i dq_i}{2\pi\hbar} = \frac{V^N}{N!} \int_{H \leq E} \prod_{i=1}^{3N} \frac{dp_i}{2\pi\hbar} \\ &= \frac{1}{N!} \underbrace{\left(\frac{V}{(2\pi\hbar)^3} \right)^N \int_{i=1}^{3N} \frac{dp_i}{2\pi\hbar}}_{\text{Kugel im Impulsraum mit Radius } p = \sqrt{2E\omega}} \Theta\left(E - \sum_{i=1}^{3N} \frac{p_i^2}{2m}\right) \end{aligned}$$

Kugel im Impulsraum mit Radius $p = \sqrt{2E\omega}$



$$\rightarrow \sum(E) = \left(\frac{V}{(2\pi\hbar)^3} \right)^N \omega_{3N}(\sqrt{2mE})$$

mit Volumen $\omega_n(R) = R^n \frac{\pi^{n/2}}{\Gamma(\frac{n}{2}+1)}$ [Übung]

der n -dimensionalen Kugel mit Radius R .

Ziel: Berechnung der Entropie $S = k \ln \Omega$

Bemerkung: $\Gamma(\frac{n}{2}+1) = (\frac{n}{2})!$

und: $\ln n! \approx n(\ln(n) - 1)$ Stirling-Formel

$$\begin{aligned} \Rightarrow \ln \left(\frac{\pi^{n/2}}{\Gamma(\frac{n}{2}+1)} \right) &= \frac{n}{2} \ln \pi - \ln \left(\frac{n}{2}! \right) \\ &= \frac{n}{2} \ln \pi - \frac{n}{2} \ln \frac{n}{2} + \frac{n}{2} \\ &= -\frac{n}{2} \left(\ln \frac{n}{2} - \ln \pi - 1 \right) \end{aligned}$$

$$S = k \ln \sum = k \left(-\frac{3N}{2} \left(\ln \frac{3N}{2} - \ln \pi - 1 \right) + N \ln \frac{V}{h^3} + \frac{3}{2} N \ln (2mE) - N(\ln N - 1) \right)$$

$$= kN \ln \left[\frac{V}{Nh^3} (2mE)^{3/2} \pi^{3/2} \left(\frac{3N}{2} \right)^{3/2} \right] + \frac{5}{2} kN$$

$$S = kN \left(\ln \left[\frac{V}{N} \left(\frac{4\pi mE}{3h^2 N} \right)^{3/2} \right] + \frac{5}{2} \right)$$

Entropie des idealen Gases
(Sackur-Tetrode-Gleichung)

Daraus können wir die Energie gewinnen:

$$E(S, V, N) = \frac{3h^2}{4\pi m} N \left(\frac{N}{V} \right)^{2/3} \exp \left(\frac{2}{3} \frac{S}{Nk} - \frac{5}{3} \right)$$

Energie des idealen Gases

Temperatur:

$$\frac{1}{T} = \frac{\partial S}{\partial E} \Big|_{N, V} = \frac{3}{2} \frac{kN}{E}$$



halometrische Zustandsgleichung:

$$\bar{E} = \frac{3}{2} N k T = N u$$

$$\text{w1 } u = \frac{3}{2} k T$$

Bemerkung: Daselbe Ergebnis hätten wir aus dem Gleichverteilungsatz bekommen.

Druck:

$$p = T \left(\frac{\partial S}{\partial V} \right)_{E,N} = T k N \frac{1}{V}$$

=> Hermetische Zustandsgleichung

$$p \cdot V = N k T$$

Setzen wir noch $\frac{E}{N} = u = \frac{3}{2} kT$ in die Entropie ein, erhalten wir:

$$S = Nk \ln\left(\frac{V}{N} u^{3k}\right) + NkS_0 \quad (\#)$$

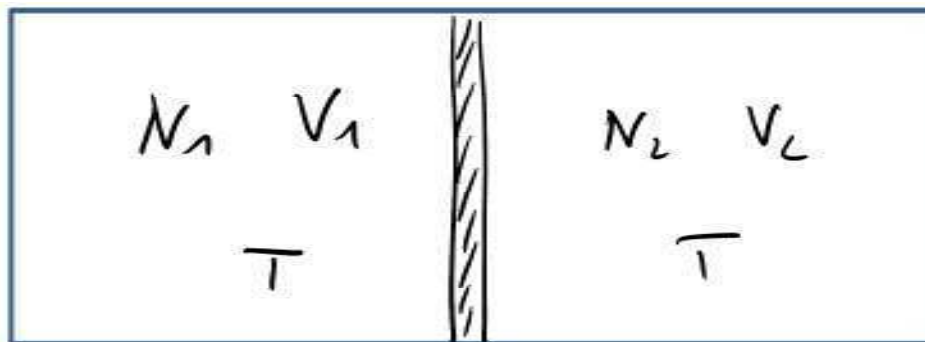
$$\text{mit } S_0 = \frac{5}{2} + \frac{3}{2} \ln\left(\frac{4\pi u}{3k}\right)$$

Daraus folgt die Temperaturabhängigkeit der Entropie:

$$S(T) \sim \ln(T) \quad \text{bzw. } T \sim e^S$$

Die Temperatur nimmt exponentiell mit der Entropie zu.

3.8. Durchmischung zweier idealer Gase



↑ bewegliche Trennwand

Behandle zwei ideale Gase gleicher Temperatur T in Volumina V_1, V_2 und mit Teilchenzahlen N_1, N_2 im mechanischen Gleichgewicht, d.h. $p_1 = p_2$. Jetzt entfernen wir die Trennwand.

Frage: Wie groß ist die Entropieänderung ΔS nach Durchmischen der beiden Gase?

Unstetige Größen nach Zustand der Trennwand:

$$\overline{T}_h = \overline{T}_L = \overline{T}, \quad p_1 = p_2 = p \quad \Rightarrow \quad \frac{N}{V} = \frac{N_1}{V_1} = \frac{N_2}{V_2} \quad (\text{wegen } pV = NkT)$$

Für die Entropie gilt:

$$S_{\text{vorker}} = \sum_{i=1}^2 S(T, V_i, N_i) \quad (\text{additiv})$$

$$S_{\text{nachher}} = \sum_{i=1}^2 S(T, V, N_i)$$

$$\begin{aligned}\Delta S &= S_{\text{nachher}} - S_{\text{vorker}} = k \left(N_1 \ln \left(\frac{V}{N_1} e^{3kT} \right) + N_2 \ln \left(\frac{V}{N_2} e^{3kT} \right) \right. \\ &\quad \left. - N_1 \ln \left(\frac{V_1}{N_1} e^{3kT} \right) - N_2 \ln \left(\frac{V_2}{N_2} e^{3kT} \right) \right) \\ &= k \left(N_1 \ln \left(\frac{V}{V_1} \right) + N_2 \ln \left(\frac{V}{V_2} \right) \right) > 0\end{aligned}$$

D.h. die Entropie wächst an!

Check: Durchmischen gleicher Gase

$$S_{\text{misch}} = S(T, V, N) = kN \ln\left(\frac{V}{N} u^{\frac{3}{k}}\right) + NkS_0$$

$$\begin{aligned}\Delta S &= k\left(N \ln\left(\frac{V}{N} u^{\frac{3}{k}}\right) - N_1 \ln\left(\frac{V_1}{N_1} u^{\frac{3}{k}}\right) - N_2 \ln\left(\frac{V_2}{N_2} u^{\frac{3}{k}}\right)\right) \\ &= k(N - N_1 - N_2) \ln\left(\frac{V}{N} u^{\frac{3}{k}}\right) = 0\end{aligned}$$

✓
korrekt.

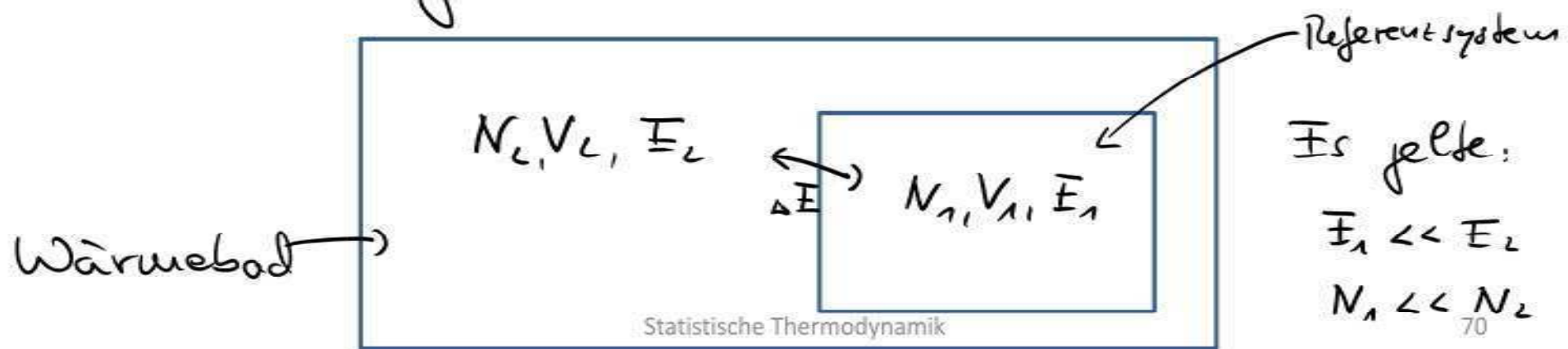
Beachte: Wenn wir den Faktor $\frac{1}{N!}$ in $\Sigma(E)$ nicht mit genommen hätten (vgl. S. 61), wäre $S = kN \ln(V u^{\frac{3}{k}}) + NkS_0$ und wir würden bei der Durchmischung gleicher Gase den Widerspruch $\Delta S \neq 0$ erhalten. Das ist bekannt als Gibbs'sches Paradoxon.

4. Das kanonische Ensemble

4.1. Ableitung aus dem mikrokanonischen Ensemble

In der Praxis liegenen uns viele thermodynamische Ensembles die nicht durch (E, N, V) charakterisiert sind, sondern durch die Größen (T, N, V) .

Dies sind Systeme, die mit einem größeren System (Wärmebad) so lange Energie austauschen, bis sich eine gemeinsame Temperatur einstellt:



Wahrscheinliches Ensemble: Gesamtheit der
Zustandswerte, die einen Rahmenwert und
w.1 festen Werten für T, N, V realisieren.

Behachte zunächst mikroskopisches Ensemble:

$$\Gamma(E) = \int d\Gamma = C_N \int_{E < H_1 + H_2 < E + \Delta} d\Gamma \delta(E - H_1 - H_2)$$

$$= C_N \int d\Gamma_1 d\Gamma_2 \delta(E - H_1 - H_2)$$

$$= \frac{C_N}{C_N} \int d\Gamma_1 \Gamma_2(E - H_1)$$

$$\sim \int d\Gamma_1 \delta(q, p) \quad (\text{vgl. S. 36, RUE})$$

$$\Rightarrow S_1(q, p) = \text{const.} \cdot \Gamma_2(E - H_1) \quad \text{Dichte/Verteilungsfunktion}$$

D.h. die Dichte S_2 ist keine Konstante wie im RKE, sondern enthält als Funktion von H_1 den Einfluss des Wärmebares. Hierbei treten Konfigurationen mit $(\bar{E}_1, \bar{E}_2 = E - \bar{E}_1)$ den größten Beitrag.

$$\begin{aligned} \rightarrow k \ln(\Gamma_2(E-H_1)) &= S_2(E-H_1) \\ &= S_2(E) - H_1 \frac{\partial S_2}{\partial E_2} \Big|_{E_2=E} + \dots \quad (\bar{E}_1 \ll E) \end{aligned}$$

Temperatur des Zodes: $\frac{1}{T} = \left(\frac{\partial S_2}{\partial E_2} \right)_{V,N}$

$$\Rightarrow \Gamma_2(E-H_1) = e^{S_2(E)/k} e^{-H_1/kT}$$

↑ ^
Wärmebad Referenzsystem

\Rightarrow

$$f(p,q) = \frac{1}{Z} e^{-H(p,q)/kT}$$

Zustandsdichte
des kanonischen
Ensembles

Bestimme Z aus Normierung:

$$\int d\Gamma f(p,q) = \int \frac{d^{3N}p d^{3N}q}{(2\pi\hbar)^{3N} N!} f(p,q) = 1$$

\sim

$$Z = \int d\Gamma e^{-\beta H(p,q)} \quad \beta = \frac{1}{kT}$$

Zustandssumme des kanonischen Ensembles

\rightarrow wichtigste Größe der statistischen Thermodynamik!

Eine andere Darstellung der Zustandssumme ergibt sich, wenn wir die Niveaudichte $g(E)$ verwenden.

$$\Sigma(E) = \int d\Gamma = \int_{H < E} d\Gamma \Theta(E-H)$$

$$g(E) = \frac{\partial \Sigma}{\partial E} = \int d\Gamma \delta(E-H)$$

$$\begin{aligned} Z &= \int d\Gamma e^{-\beta H} = \int d\Gamma \int dE e^{-\beta E} \delta(E-H) \\ &= \int dE e^{-\beta E} \int d\Gamma \delta(E-H) \end{aligned}$$

$$Z = \int dE g(E) e^{-\beta E}$$

(Beachte: g hängt auch von Teilchenzahl und Volumen ab.)

4.2. Vergleich MKE-KE: Freie Energie und Entropie

Betrachte zunächst innere Energie $U = \langle H \rangle$.

Im mikrokanonischen Ensemble (MKE) haben alle Zustände dieselbe Energie E , d.h. es gilt nun, dass

$$U = \langle H \rangle = E$$

Im kanonischen Ensemble (KE) ist $\langle H \rangle$ ein echter Mittelwert:

$$U = \langle H \rangle = \int d\Gamma S(p,q) H(p,q) = \frac{\int d\Gamma e^{-\beta H} H}{\int d\Gamma e^{-\beta H}}$$

$$\rightarrow U = - \frac{\partial}{\partial \beta} \ln Z = kT^2 \frac{\partial}{\partial T} \ln Z$$

U kann also durch Ableiten des Z gewonnen werden.

Behachte nun Druck:

Zur $SU\bar{E}$ hatten wir : $p = -\left(\frac{\partial E}{\partial V}\right)_S$

Zur $K\bar{E}$ verallgemeinert sich dies zu

$$p = -\left(\frac{\partial H}{\partial V}\right) = \frac{1}{\beta} \frac{\partial}{\partial V} \ln Z$$

d.h. auch den Druck können wir durch Ableiten der Zustandssumme bestimmen.

Das NKE ist durch die Größen $U = E, V, N$ eindeutig charakterisiert und die Entropie $S(E, N, V)$ hängt von genau diesen Größen ab und spielt deswegen eine zentrale Rolle.

Das KE ist dagegen durch die Größen T, V, N charakterisiert. Die entsprechende thermodynamische Größe hierzu ist die freie Energie:

$$F(T, V, N) := -\frac{1}{\beta} \ln Z \quad (\text{d.h. } Z = e^{-\beta F})$$

Der Zusammenhang von $F(T, V, N)$ mit der inneren Energie lässt sich berechnen: →

$$\begin{aligned}
 U &= -\frac{\partial}{\partial \mu} e_{\text{tot}} = \frac{\partial}{\partial \mu} (\bar{F})_{V,N} \\
 &= \bar{F} + \mu \left(\frac{\partial \bar{F}}{\partial \mu} \right)_{V,N} \\
 &= \bar{F} + \mu \frac{\partial T}{\partial \mu} \left(\frac{\partial \bar{F}}{\partial T} \right)_{V,N} \quad \text{und } \mu = \frac{1}{kT}
 \end{aligned}$$

→
$$U = \bar{F} - T \left(\frac{\partial \bar{F}}{\partial T} \right)_{V,N}$$

Die Bedeutung der Größe $\frac{\partial \bar{F}}{\partial T}$ wird im folgenden Kapitel klar werden.
Für den Druck erhalten wir:

$$P = \frac{1}{\mu} \frac{\partial}{\partial V} e_{\text{tot}} = - \frac{\partial \bar{F}}{\partial V}$$

4.3. Äquivalenz von MKE und KE

$$\text{MKE: } \bar{\varepsilon} = \bar{U} = \bar{H} = \langle H \rangle_{\text{MKE}}$$

$$\text{KE: } \bar{\varepsilon} = \bar{U} = \langle H \rangle_{\text{KE}}$$

Allerdings gilt: $\frac{\sqrt{\langle H^2 \rangle - \langle H \rangle^2}}{\langle H \rangle} \sim \frac{1}{\sqrt{N}}$

\Rightarrow Für große N haben praktisch alle Mitglieder des KE die Energie $\bar{\varepsilon} = \bar{U} = \langle H \rangle_{\text{KE}}$.

\Rightarrow Zustandssumme $Z = \int dE g(E) e^{-\beta E} = \int dE e^{E \mu - \beta E}$ mit Integranden mit sehr schärfem Maximum bei $\bar{\varepsilon} = \bar{U}$.

Solche Integrale kann man in der so genannten Sattelpunktnäherung auswerten:

Betrachte allgemein: $I(\lambda) = \int dx e^{-\lambda f(x)}$

$f(x)$ habe ein \rightarrow in. bei x_0 , d.h. $f'(x_0) = 0$, $f''(x_0) = a > 0$

Entwickle um \rightarrow : $f(x) = f(x_0) + \frac{1}{2}a(x-x_0)^2 + \dots$

$$\Rightarrow I(\lambda) = e^{-\lambda f(x_0)} \int dx \exp\left(-\frac{\lambda}{2}a(x-x_0)^2\right) \quad \text{da } \int dx \text{ dominant von } x \approx x_0$$

$$= e^{-\lambda f(x_0)} \int dx \exp\left(-\frac{\lambda}{2}ax^2\right)$$

$$= e^{-\lambda f(x_0)} \sqrt{\frac{2\pi}{\lambda a}}$$

$$= e^{-\lambda f(x_0) - \frac{1}{2}\ln\lambda + \frac{1}{2}\ln\left(\frac{2\pi}{\lambda a}\right)}$$

$$\approx e^{-\lambda f(x_0)}$$

Gauß'sches Integral

für große $\lambda \stackrel{!}{=} \text{scharf}$
 \rightarrow 80

Anwendung auf untere Zustandssumme liefert:

$$E_u F = E_u g(E) - \beta E \Big|_{E=u}$$

$$= \frac{1}{k} S_{\text{KUE}} - \beta u$$

$$\stackrel{!}{=} -\beta F \quad , \text{ vgl. Def. von } \overline{F} \text{ auf S. 77}$$

$$\Rightarrow F = u - \frac{1}{k_B} S_{\text{KUE}} = u - T S_{\text{KUE}}$$

Vergleich mit dem Resultat auf Seite 78 liefert:

$$S_{\text{KUE}}(u) = -\left(\frac{\partial F}{\partial T}\right)_{V,N} =: S_{\text{KE}}$$

als Def. für die Entropie im kanonischen Ensemble.

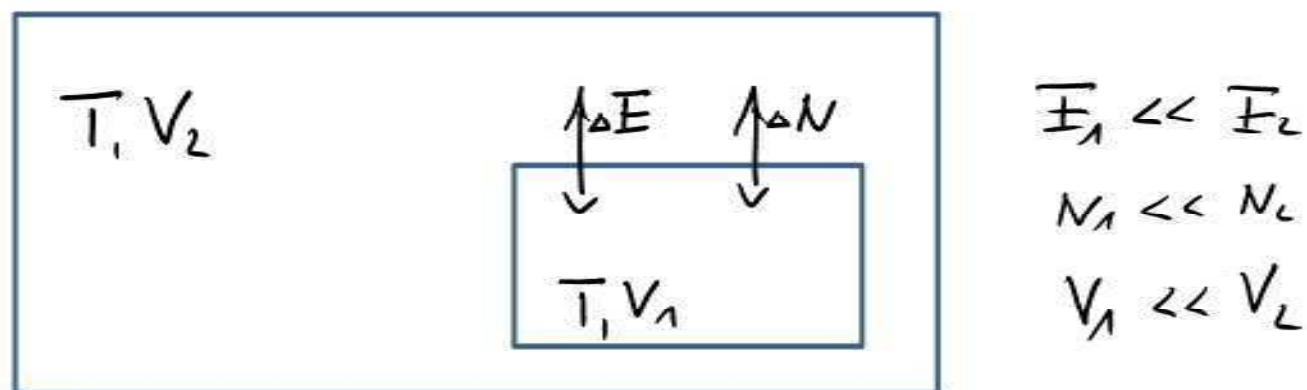
Wir finden also für das klassische Ensemble
eine Entropiefunktion, die gleich der mikro-
klassischen Entropie ausgewertet an der
wahrscheinlichsten Energie $E = U$ ist. Da die
KE von dieser Energie dominant ist, und
sich alle thermodynamischen Größen aus
der Entropie S bzw. aus der freien Energie
 $F = U - TS$ ableiten lassen, ist die
Äquivalenz von KE und DKE für sehr
große Teilchenzahlen N gezeigt.

Insbesondere stimmt wegen $S_{KE} = S_{DKE}$ und die Temperaturen
des Wärmebades und des Referenzsystems gleichen.

5. Das großkanonische Ensemble GKE

5.1. Ableitung aus dem MKE

Betrachte wieder Referenzsystem im Wärmebad, diesmal erlauben wir Energie- und Teilchenaustausch:



Es gelte $H = H_1 + H_2$, d.h. Wechselwirkungsenergie zwischen den Systemen sei vernachlässigbar.

Außerdem: $N = N_1 + N_2$, $V = V_1 + V_2$

Das mikroskopische Ensemble des Gesamtsystems
ist gegeben durch:

$$\begin{aligned}
 \Gamma(E, V, N) &= \sum_{N_1, E_1} \Gamma_1'(E_1, N_1) \Gamma_2'(E - E_1, N - N_1) \\
 &= \text{const.} \sum_{N_1, E_1} \int d\Gamma_1' \delta(E_1 - H_1(N_1)) \int d\Gamma_2' \delta(E - E_1 - H_2(N - N_1)) \\
 &= \text{const.} \sum_{N_1} \int d\Gamma_1 \int d\Gamma_2' \delta(E - H_1(N_1) - H_2(N - N_1)) \\
 &= \text{const.} \sum_{N_1} \underbrace{\int d\Gamma_1 \Gamma_2'(E - H_1, V - V_1, N - N_1)}_{\sim \rho_1(H_1, N_1, V_1)}
 \end{aligned}$$

Dichteverteilung im Referenzsystem
aufgrund des Wärmebades

Bestimme nun Entropie des Wärmebades und entwickele nach H_1 und N_1 ($E \approx E_1 \gg E_2$, $N \approx N_1 \gg N_2$)

$$S_2(E - H_1, V_2, N - N_1) = S_2(E, V_2, N) - \left(\frac{\partial S_2}{\partial E_2} \right)_{V_2, N} H_1 - \left(\frac{\partial S_2}{\partial N_2} \right)_{V_2, E} N_1$$

$$= S_2(E, V_2, N) - \frac{H_1}{T} + \frac{\mu N_1}{T} \quad (\text{vgl. Kapitel 3})$$

$$\Rightarrow e^{\frac{S_2}{kT}} = \Gamma_2(E - H_1, V_2, N - N_1) = \Gamma_2(E, V_2, N) \exp\left(-\frac{H_1}{kT} + \frac{\mu N_1}{kT}\right)$$

→

$$S_{\text{GUE}}(H_1, N_1) = \frac{1}{2} \exp(-\beta(H_1 - \mu N_1))$$

Verketzungsfunktion des Referenzsystems

Von jetzt ab: verwende H, N, V für Referenzsystem

Bestimmung von \mathcal{Z} durch Normierung

$$\sum_{N=0}^{\infty} \int d\Gamma(v, N) \mathcal{L}(H, N) = \sum_{N=0}^{\infty} \int \frac{dp^{3N} dq^{3N}}{(2\pi\hbar)^{3N} N!} \frac{1}{\mathcal{Z}} e^{-\beta(H(p, q) - \mu N)} = 1$$

Befest die Zustandssumme

$$\mathcal{Z} = \sum_{N=0}^{\infty} \int d\Gamma(v, N) e^{-\beta(H - \mu N)} = \sum_{N=0}^{\infty} \xi^N \epsilon_N$$

mit Flugzitat $\xi = e^{\beta\mu}$ und Zustandssumme \mathcal{Z}_N des KE.

Die Dichteverteilung \mathcal{L}_{KE} zusammen mit der Zustandssumme \mathcal{Z} beschreiben das größtmögliche Ensemble, dargestellt durch (T, μ, V) .

Der Erwartungswert einer Observable in GUE ist gegeben durch:

$$\langle F \rangle_{\text{GUE}} = \sum_{N=0}^{\infty} \int d\Gamma(v, N) S(H, V, N, T, \mu) F(q, p, N)$$

z.B. Teilchenzahl N :

$$\langle N \rangle_{\text{GUE}} = \frac{1}{Z} \sum_{N=0}^{\infty} d\Gamma \exp(-\beta(H - \mu N)) N$$

$$\langle N \rangle_{\text{GUE}} = \frac{1}{\beta} \frac{\partial}{\partial \mu} \text{entf}(T, V, \mu) \Big|_{T, V}$$

→ bestimmt $\langle N \rangle(\mu)$ für feste T, V

innere Energie:

$$U = \langle H \rangle = -\frac{\partial}{\partial \beta} \ln Z + \mu \langle N \rangle$$

Druk:

$$P = -\left(\frac{\partial \ln Z}{\partial V}\right)_{\text{GUE}} = \frac{1}{Z} \sum_N \int d\Gamma \left(-\frac{\partial H}{\partial V}\right) \xi^N e^{-\beta H}$$

$$\rightarrow P = \frac{1}{\beta} \frac{\partial}{\partial V} \ln Z(T, V, \mu)$$

Analog zu KE lässt sich auch für das GUE ein thermodynamisches Potential finden, das durch T, V, μ eindeutig bestimmt ist:

Grafikenergisches Potenial $\mathcal{S}(T, V, \mu)$

Definieren \mathcal{R} analog zu KE durch

$$z = e^{-\beta \mathcal{R}} \quad \text{bzw.} \quad \mathcal{R} = -\frac{1}{\beta} \ln z$$

Definieren Entropie S analog zu KE durch:

$$S = -\left(\frac{\partial \mathcal{R}}{\partial T}\right)_{V,\mu} = \frac{1}{T} \left(\frac{\partial \mathcal{R}}{\partial \mu}\right)_{V,T}$$

Es gilt: $S_{\text{GUE}} = S_{\text{NGUE}}$ ($E = \langle H \rangle_{\text{GUE}}$, V , $N = \langle N \rangle_{\text{GUE}}$)

Außerdem:

$$P = \frac{1}{\beta} \frac{\partial}{\partial V} \ln z = -\left(\frac{\partial \mathcal{R}}{\partial V}\right)_{T,\mu}$$

$$U = -\frac{1}{\beta} \ln z + \mu \langle N \rangle = \mathcal{R} + \beta \frac{\partial \mathcal{R}}{\partial \mu} + \mu \langle N \rangle$$

$$\Rightarrow \mathcal{L} = U - TS + \mu \langle N \rangle = F - \mu \langle N \rangle$$

5.2. Äquivalenz zum KE: Dichteschwankungen im GKE

Betrachte Wahrscheinlichkeitsverteilung der Teilchenzahl:

$$\omega_N(T, V) = \frac{\sum^N z_N}{Z} = \frac{1}{Z} e^{-\beta(F - \mu N)} \quad (\text{da } z_N = e^{-\beta F}, \text{ vgl. S. 77})$$

Wenn KE und GKE äquivalent sein sollen, muß $\omega_N(T, V)$ ein ausgeprägtes Maximum bei $\bar{N} = \langle N \rangle$ besitzen.

$$\rightarrow \left. \frac{\partial \omega_N}{\partial N} \right|_{N=\langle N \rangle} = 0 = -\beta \left(\frac{\partial F}{\partial N} - \mu \right) \cdot \left(\omega_N - \left. \frac{\omega_N}{Z} \sum_N e^{-\beta(F-\mu N)} \right|_{N=\langle N \rangle} \right)$$

$$\Rightarrow \left. \left(\frac{\partial F}{\partial N} \right) \right|_{N=\langle N \rangle} = \left. \mu_{KE} \right|_{N=\langle N \rangle} = \mu_{GKE}$$

d.h. Referenzsystem und Wärmebad sind auch im chemischen Gleichgewicht.

Außerdem sollte das Extremum von ω_N ein Maximum sein, d.h.

$$\left(\frac{\partial^2 F}{\partial N^2}\right)_{T, V, N=\bar{N}} > 0$$

$\bar{F}(N, \bar{T}, V)$ ist extensiv, d.h. $\bar{F}(N, \bar{T}, V) = N f(V, \bar{T})$

mit spezifischem Volumen $v = \frac{V}{N}$

$$\rightarrow \frac{\partial F}{\partial N} = f(v, \bar{T}) + N \frac{\partial f}{\partial v} = f(v, \bar{T}) - v \frac{\partial f}{\partial v}$$

$$\frac{\partial^2 F}{\partial N^2} = \frac{\partial f}{\partial v} \frac{\partial v}{\partial N} - \frac{\partial v}{\partial N} \frac{\partial f}{\partial v} - v \frac{\partial^2 f}{\partial v^2} = \frac{v^2}{N} \frac{\partial^2 f}{\partial v^2}$$

auf derdein:

$$p = - \frac{\partial F}{\partial V} = - \frac{\partial f}{\partial v}$$

im klassischen Zustand
(vgl. S. 78)

Dann erhalten wir:

$$\left(\frac{\partial^2 F}{\partial N^2} \right)_{T, V, N=\bar{N}} = - \frac{v^2}{N} \frac{\partial p}{\partial v} > 0$$

D.h. wir erhalten ein Maximum wenn

$$\frac{\partial p}{\partial v} < 0 \quad \text{und} \quad v = \frac{V}{N}$$

✓
•

D.h. bei gegebener Teilchenzahl N wird der Druck
kleiner, wenn sich ein Gas ausdehnt!

Jetzt betrachten wir noch die Schärfe des Maximums:

Dazu entwickeln wir:

$$(\bar{F} - \mu N) = (\bar{F} - \mu \bar{N}) + O + \frac{1}{2} \left. \frac{\partial^2 (\bar{F} - \mu N)}{\partial N^2} \right|_{N=\bar{N}} (\bar{N} - N)^2 + \dots$$

$$\sim \omega_N = \bar{\omega}_N e^{-\frac{1}{2} \lambda \left. \frac{\partial^2 \bar{F}}{\partial N^2} \right|_{N=\bar{N}} (\bar{N} - N)^2}$$

Das ist eine Gauß-Verteilung um der Breite

$$\Delta N = \sqrt{\frac{1}{\lambda \left. \frac{\partial^2 \bar{F}}{\partial N^2} \right|_{N=\bar{N}}}} = \sqrt{\frac{-k\bar{T}N}{\lambda \left. \frac{\partial^2 \bar{F}}{\partial N^2} \right|_{N=\bar{N}}}}$$

und $\frac{\Delta N}{N} \sim \frac{1}{\sqrt{N}}$ \Rightarrow verschwindend klein
für sehr große N .

→ D.h. die Zustandsumme Z eines
gruppenphysikalischen Ensembles wird durch das
kanonische Ensemble mit $N = \bar{N}$ dominiert.

$$Z \approx \{^{\bar{N}} Z_{\bar{n}} , I \approx -k \bar{T} \bar{N} \ln \{$$

Bemerkung: Unter Referenzsystem ist offensichtlich
ein Teilraum des großen Wärmebades.
Das GUE bedreht Teilraum bzw. Dicke-
fluktuationen in diesem Teilraum v. Diese
werden groß, wenn die Maximalbedingung
 $\frac{\partial P}{\partial r} < 0$ nicht mehr erfüllt ist, d.h. wenn



$\frac{\partial P}{\partial V} \approx 0$. Das ist der sogenannte universelle Punkt eines Gases.

Als Beispiel dafür werden wir später die Zustandsgleichung eines realen (van der Waals) - Gases untersuchen

Experimentell lassen sich obere Dichteschwankungen durch Streuung von Licht nachweisen, das Gas wird in der Nähe des kritischen Punktes undurchsichtig \rightarrow kritische Opaleszenz.

5.3. Zusammenfassung der statistischen Ensemble

$\prod_{E,V,N}$:

$$S_{\text{RUE}} = \frac{1}{\Gamma} \mathcal{J}(E-H)$$

$$\Gamma(E,V,N) = \int_{E-H < E+Δ} d\Gamma = \int \frac{d^{3N}q d^{3N}p}{(2\pi\hbar)^{3N} N!} \mathcal{J}(E-H)$$

thermodynamischen Potential: $S(E,V,N) = k \ln \Gamma \rightarrow E(S,V,N)$

thermodyn. Große: $T = \left(\frac{\partial E}{\partial S}\right)_{V,N}, P = -\left(\frac{\partial E}{\partial V}\right)_{S,N}, \mu = \left(\frac{\partial E}{\partial N}\right)_{S,V}$

1. Hauptzah der TD: $dE = TdS - PdV + \mu dN$

2. Hauptzah der TD: $dS \geq 0$

$$\frac{KE}{(T, V, N)} = \frac{1}{Z_N} e^{-\beta H(N)} \quad \beta = \frac{1}{kT}$$

$$Z_N = \int d\Gamma e^{-\beta H} = e^{-\beta F} \quad \text{Zustandssumme}$$

Dadurch ist als thermodynamisches Potential die freie Energie $F = -\frac{1}{\beta} \ln Z_N$ definiert.

$$\text{Es gilt: } F(T, V, N) = E - TS \quad (\text{Legendre Transf})$$

$$S = -\left(\frac{\partial F}{\partial T}\right)_{V,N}, \quad P = -\left(\frac{\partial F}{\partial V}\right)_{T,N}, \quad \mu = \left(\frac{\partial F}{\partial N}\right)_{T,V}$$

CUE:
 (μ, T, V)

$$S_{\text{CUE}} = \frac{1}{Z} e^{-\beta(H - \mu N)}$$

$$Z = \sum_{N=0}^{\infty} \int d\Gamma e^{-\beta(H - \mu N)} = \sum_{N=0}^{\infty} \xi^N Z_N = e^{-\beta \Omega}$$

Dadurch ist das großkanonische Potential
 $\Omega(\mu, T, V)$ definiert, das

$$\Omega(T, \mu, V) = E - TS - \mu N = F - \mu N$$

ergibt.

$$\xi = -\left(\frac{\partial \Omega}{\partial T}\right)_{V, \mu} \quad P = -\left(\frac{\partial \Omega}{\partial V}\right)_{T, \mu} \quad N = -\left(\frac{\partial \Omega}{\partial \mu}\right)_{T, V}$$

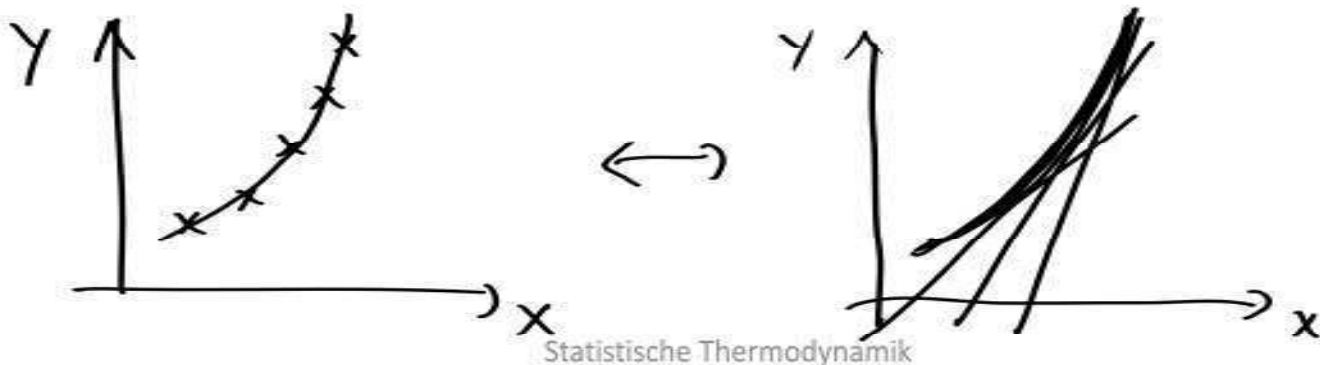
6. Thermodynamische Beziehungen und Prozesse

6.1. Wiederholung: Legendre Transformation

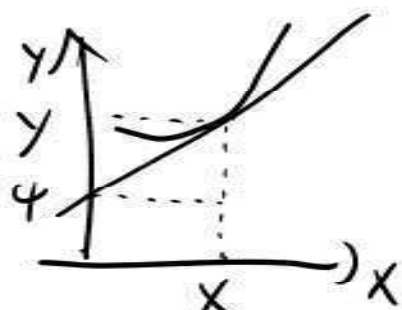
z.B. Rechnung: $H(p, q) = p \dot{q} - L(\dot{q}, q)$ w.t $p = \frac{\partial L}{\partial \dot{q}}$

z.B. Thermodyn.: $U(S, N, V) = - \left(ST - F(T, N, V) \right)$ w.t $S = \frac{\partial F}{\partial T}$

Grundidee: Eine Kurve $y(x)$ kann entweder durch eine Folge von Punkten (x_i, y_i) oder durch eine Schiebung von Tangenten dargestellt werden.



Jede Tangente ist durch Steigung $P = \frac{\partial Y}{\partial X}$ und Schnittpunkte ψ mit y -Achse eindeutig charakterisiert:



$$(x, Y) \leftrightarrow (P, \psi) \rightarrow \text{Funktion } \psi(P)$$

$$P = \frac{Y - \psi}{x - 0} \rightarrow \psi = Y - P x$$

$$\rightarrow \boxed{\psi(P) = Y(x) - \frac{\partial Y}{\partial x} x}$$

(Eindeutig bis auf Wendepunkte $\frac{d^2P}{dx^2} = \frac{\partial^2 Y}{\partial x^2} = 0$)

Umgekehrt gilt: $d\psi = dY - dPx - Pdx$, $dY = Pdx$

$$= -dPx \quad \rightarrow x = -\frac{d\psi}{dP}$$

$$\rightarrow \boxed{Y = \psi(P) + P \frac{d\psi}{dP}}$$

\rightarrow Symmetrie zwischen $Y(x)$ und $\psi(P)$.

\rightarrow Verallgemeinerung auf mehrere Variablen möglich.

6.2. Anwendung auf thermodynamische Potentiale

Betrachte TUE: $E(S, V, N)$

Praktisch ist es sehr schwierig, S zu messen ...

→ Gehe über von Entropie zu Temperatur
mittels Legendre-Transfo:

$$\begin{aligned} \text{freie Energie } F(T, V, N) &= E - \frac{\partial E}{\partial S} S \\ &= E - TS \quad |S = S(T) \end{aligned}$$

Dies ist die Transformation von der extensiven
Variablen S (d.h. additiv) zur intensiven Variablen
Temperatur T .

Weitere mögliche Legendre-Trajektorien:

$$H(S, N, p) = E - \frac{\partial E}{\partial V} \cdot V = E + pV \quad \text{Enthalpie}$$

$$G(T, N, p) = F - \frac{\partial F}{\partial V} \cdot V = F + pV \quad \begin{array}{l} \text{freie Enthalpie} \\ (\text{Gibbs Potential}) \end{array}$$

$$\Omega(T, V, \mu) = F - \frac{\partial F}{\partial N} \cdot N = F - \mu N \quad \begin{array}{l} \text{graviationsches} \\ \text{Potential} \end{array}$$

extensive Variablen:

S, N, V



intensive Variablen:

T, μ, p

(Diskussion anderer möglicher Varianten von Potentiolen
in Kapitel 6.2)

jedes thermodynamischen Potentialel hängt also von einer Kombination aus drei, extensiven oder intensiven, Variablen ab. Die restlichen Variablen können aus Ableitungen gewonnen werden.

$$\begin{aligned} \text{z.B. } d\mathcal{L} &= dF - d\mu N - \mu dN, & \text{1. HS: } dE &= TdS + \mu dN - pdV \\ &= -SdT - pdV - Nd\mu & dF &= dE - dTS - TdS \\ & & &= -SdT - pdV + \mu dN \end{aligned}$$

$$d\mathcal{L}(T, V, \mu) = \frac{\partial \mathcal{L}}{\partial T} dT + \frac{\partial \mathcal{L}}{\partial V} dV + \frac{\partial \mathcal{L}}{\partial \mu} d\mu$$

$$\Rightarrow S = - \left. \frac{\partial \mathcal{L}}{\partial T} \right|_{V, \mu}, \quad p = - \left. \frac{\partial \mathcal{L}}{\partial V} \right|_{T, \mu}, \quad N = - \left. \frac{\partial \mathcal{L}}{\partial \mu} \right|_{T, V}$$

6.3. Integrale Darstellung der Thermodynamischen Relationen

Intensive und extensive Variablen schließen
unterschiedlich mit der Teilchenzahl N :

$$N \rightarrow 2N \rightarrow \begin{array}{l} X \rightarrow 2X \text{ extensiv} \\ Y \rightarrow Y \text{ intensiv} \end{array}$$

Alle thermodynamischen Potentiale sind extensiv.

$$\rightarrow \lambda E = E(\lambda S, \lambda V, \lambda N) = E(S', V', N')$$

$$\begin{aligned} \rightarrow \frac{d \lambda E}{d \lambda} \Big|_{\lambda=1} &= F = \frac{\partial E}{\partial S'} \frac{\partial S'}{\partial \lambda} + \frac{\partial E}{\partial V'} \frac{\partial V'}{\partial \lambda} + \frac{\partial E}{\partial N'} \frac{\partial N'}{\partial \lambda} \Big|_{\lambda=1} \\ &= \frac{\partial E}{\partial S} S + \frac{\partial E}{\partial V} V + \frac{\partial E}{\partial N} N \end{aligned}$$

(Eulersches Theorem für homogene Funktionen)

Benutze $\frac{\partial E}{\partial S} = T$, $\frac{\partial E}{\partial V} = -P$, $\frac{\partial E}{\partial N} = \mu$

\Rightarrow

$$E = TS - PV + \mu N$$

integrale Form
des 1. Hauptsatz

Analog lässt sich aus den anderen Potentialeinheiten ableiten:

$$F = -PV + \mu N$$

$$H = TS + \mu N$$

$$Q = \mu N$$

$$R = -PV$$

Bemerkungen:

- 1) Ein thermodynamisches Potenzial muss extensiv sein, sonst charakterisiert es das System nicht eindeutig. \Rightarrow Es muss von mindestens einer extensiven Größe abhängen!

Check: $X(T, p, \mu) = \Omega(T, V, \mu) - \frac{\partial \Omega}{\partial V} |_{T, \mu} V$
 $= \Omega(T, V, \mu) - pV = 0 \quad \checkmark$

- 2) Nun könnte $\Phi(S, p, \mu)$ konstruiert werden, allerdings hat dieses Potenzial keine praktische Anwendung.

3) Zusammenstellung der thermodynamischen Größen als thermodynamische Kräfte (Ableitungen aus Potential):

$$T = \left(\frac{\partial E}{\partial S} \right)_{V,N} = \left(\frac{\partial H}{\partial S} \right)_{P,N}, \quad N = - \left(\frac{\partial R}{\partial \mu} \right)_{T,V}$$

$$S = - \left(\frac{\partial F}{\partial T} \right)_{V,N} = - \left(\frac{\partial G}{\partial T} \right)_{P,N} = - \left(\frac{\partial U}{\partial T} \right)_{V,\mu}$$

$$P = - \left(\frac{\partial E}{\partial V} \right)_{S,N} = - \left(\frac{\partial F}{\partial V} \right)_{T,N} = - \left(\frac{\partial U}{\partial V} \right)_{T,\mu} =$$

$$V = \left(\frac{\partial H}{\partial P} \right)_{S,N} = \left(\frac{\partial G}{\partial P} \right)_{T,N}$$

$$\mu = \left(\frac{\partial E}{\partial N} \right)_{S,V} = \left(\frac{\partial F}{\partial N} \right)_{T,V} = \left(\frac{\partial H}{\partial N} \right)_{S,P} = \left(\frac{\partial G}{\partial N} \right)_{T,P}$$

4) Außerdem passen sich aus den zweiten Ableitungen noch viele weitere Maxwell-Relationen gewinnt,
vgl. oben.

6.4. Extremeigenschaften der thermodynamischen Potentiale

Erinnerung: Für TUE bei festem E, V, N war unter System und sehr hoher Wkt. im Statzustand mit maximaler Entfaltung:

$$S = k \ln \Gamma \rightarrow \max \quad \leftrightarrow dS \geq 0$$

Prozesse mit festem E, M, V die $dS > 0$ erfüllen heißen irreversibel, Prozesse mit $dS = 0$ reversibel.

Was passiert im kanonischen Ensemble?



$$\text{Es gilt: } \Gamma(E) \sim z_N \sim e^{-\bar{F}}$$

Auch hier wird das Gleichgewicht durch den maximalen Entzerrungsgrad vorgegeben, d.h.

$$F(T, V, N) \rightarrow \min \quad \text{for } T, V, N \text{ fest.}$$

Analoges passiert im GUE!

$$S(T, V, \mu) \rightarrow \min \quad \text{for } T, V, \mu \text{ fest.}$$

Bemerkung: Ist E, N, V nicht konstant gibt es

- reversible Prozesse die bei Pariser Änderung von E, N, V immer den ΔS von S folgen
- irreversible Prozesse bei denen S konstant bleibt, aber E immer kleiner wird.

z.B. Abregung eines Atoms, $S_1 = S_2 = 0 \quad E_2 < E_1^{10}$

Betrachten wir nun auch irreversible Prozesse!

reversibel: $dQ = TdS$

irreversibel: $dQ < TdS$, z.B. abgeschlossenes System $dQ=0$ geht ins Gleichgewicht, $ds > 0$

d.h. i.A. gilt: $dQ \leq TdS$

W: $dE = dQ - pdV + \mu dN$ folgt

$$TdS \geq dE + pdV - \mu dN$$

für ein geschlossenes System im Wärmehaushalt (KE) erhalten wir:

$$\bar{T} = \text{const.}, N = \text{const.}, V = \text{const.}$$

$$\rightarrow d\bar{T} = dN = dV = 0$$

$$\rightarrow dE \leq \bar{T}dS = d(\bar{T}S)$$

$$\rightarrow d(E - \bar{T}S) \leq 0$$

$$\rightarrow \boxed{dF \leq 0} \quad \text{für } \bar{T}, N, V \text{ fest.}$$

Die freie Energie nimmt stets ab und erreicht ihr Minimum im thermodynamischen Gleichgewicht.

Analog findet man:

$$dG \leq 0 \quad \text{für } T, p, N \text{ fest}$$

$$dE \leq 0 \quad \text{für } S, V, N \text{ fest}$$

$$dH \leq 0 \quad \text{für } S, p, N \text{ fest.}$$

6.5. Spezifische Wärme

Für thermodynamische Prozesse ist es wichtig, das Aufnahmevermögen von Stoffen für Wärmeenergie bei Temperaturerhöhung zu kennen.

Das ist die Wärmekapazität

$$C_x = \lim_{\Delta T \rightarrow 0} \left(\frac{\Delta Q}{\Delta T} \right)_x = \left(\frac{dQ}{dt} \right)_x \quad \text{und } x \in \{V, p\}$$

bzw. die spezifische Wärme

$$c_x = \frac{C_x}{N}$$

Wannen wir diese Werte aus den thermodynamischen Potenzialen berechnen?

Betrachte abgeschlossenes System mit $dN=0$:

Dann: $dQ = dE + pdV$ (1. Hs)

$E(S, V)$ kann auch als $E(T, V)$ festheben werden.

Dann gilt: $dE = \left(\frac{\partial E}{\partial T}\right)_V dT + \left(\frac{\partial E}{\partial V}\right)_T dV$

$$\sim dQ = \left(\frac{\partial E}{\partial T}\right)_V dT + \left(\left(\frac{\partial E}{\partial V}\right)_T + p\right) dV$$

Betrachte nun $V = \text{const.}$, dann folgt:

$$C_V = \left(\frac{\partial E}{\partial T}\right)_V = \left(\frac{\partial E}{\partial S} \frac{\partial S}{\partial T}\right)_V = T \left(\frac{\partial S}{\partial T}\right)_V \geq 0$$

Aus dem KE können wir zeigen dass $C_V \geq 0$:

$$\begin{aligned}
 C_V &= \left(\frac{\partial E}{\partial T} \right)_{V,N} = - \frac{\partial}{\partial T} \frac{\partial}{\partial \beta} \ln Z_N \quad \text{da } E = \langle H \rangle, \\
 &\quad Z_N = \int d\Gamma e^{-\beta H} \\
 &\quad \langle H \rangle = \frac{1}{Z_N} \int d\Gamma e^{-\beta H} H \\
 &= k \beta^2 \frac{\partial^2}{\partial \beta^2} \ln Z_N \\
 &= k \beta^2 \frac{\partial}{\partial \beta} \left(\frac{1}{Z_N} \frac{\partial Z_N}{\partial \beta} \right) = k \beta^2 \left[\frac{1}{Z_N} \frac{\partial^2 Z_N}{\partial \beta^2} - \frac{1}{Z_N^2} \left(\frac{\partial Z_N}{\partial \beta} \right)^2 \right] \\
 &= k \beta^2 \left[\langle H^2 \rangle - \langle H \rangle^2 \right] = k \beta^2 \langle (H - \langle H \rangle)^2 \rangle \geq 0
 \end{aligned}$$

q.e.d.

Jetzt betrachten wir konstanten Druck:

Bemerkte dafür die Einfühe

$$H(S, p, N) = E + pV \quad , \quad dH = dE + dPV \\ + Vdp$$

$$\rightarrow dQ = dH - Vdp$$

Bei konstantem Druck lassen wir ab:

$$C_p = \left(\frac{\partial Q}{\partial T} \right)_p = \left(\frac{\partial H}{\partial T} \right)_p = \left(\frac{\partial E}{\partial S} \frac{\partial S}{\partial T} \right)_p$$

$$\rightarrow C_p = T \left(\frac{\partial S}{\partial T} \right)_p \quad (\text{analog zu } C_v)$$

Behauptung: $C_p > C_v$

Beweis: $V \text{ const.} \Rightarrow \Delta E = \Delta Q = C_v \Delta T \quad 1. \text{ HS}$

$p \text{ const.} \Rightarrow \Delta E = \Delta Q + \Delta W = C_p \Delta T - p \Delta V$

Bei Erwärmung dehnen sich die allgemeinen Systeme aus, d.h. $\Delta V / \Delta T > 0$

$$\rightarrow 0 > \Delta W = \Delta E - \Delta Q = C_v \Delta T - C_p \Delta T = (C_v - C_p) \Delta T$$

Ein Teil der Energie bei $p = \text{const}$ geht in die Ausdehnung des Systems \rightarrow es können größere Wärmemengen aufgenommen werden.

Ein allgemeiner Beweis (Schwabl, S. 88) liefert:

$$C_p - C_v = T \left(\frac{\partial V}{\partial T} \right)_p^2 \left(- \frac{\partial V}{\partial p} \right)_T \geq 0$$

In der Prose untersucht man C_p und berechnet C_v aus dieser Relation.

Beispiel: Wärmekapazität des idealen Gases

$$\bar{E} = \frac{3}{2} N k \bar{T}$$

(kalorimetrische Zustandsänderung)

$$\rightarrow C_V = \left(\frac{\partial E}{\partial T} \right)_V = \frac{3}{2} N k$$

$$pV = N k \bar{T} \quad (\text{thermische Zustandsänderung})$$

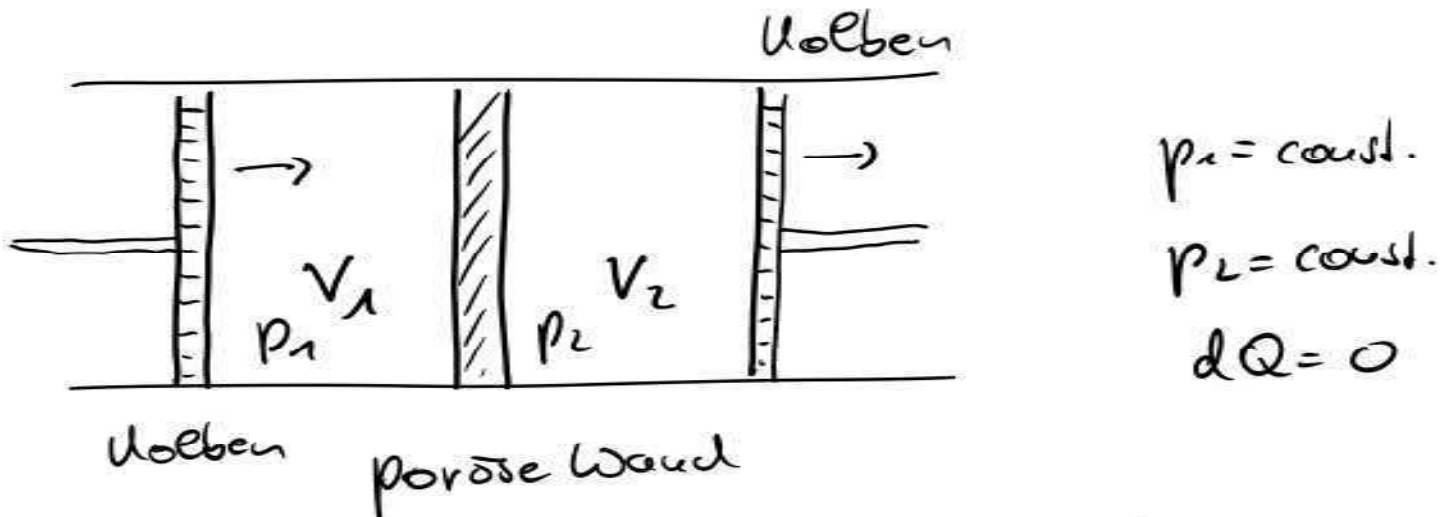
$$\rightarrow H = E + pV = \frac{3}{2} N k \bar{T} + N k \bar{T} = \frac{5}{2} N k \bar{T}$$

$$\rightarrow C_P = \left(\frac{\partial H}{\partial T} \right)_P = \frac{5}{2} N k$$

$$\rightarrow C_P - C_V = N k > 0$$



6.6. Der Joule-Thompson Prozess



Gas wird durch poröse Wand von V_1 nach V_2 gepresst.
Über bewegliche Holben wird sicher gestellt, dass
in V_1 und V_2 stets konstante Drücke $p_1 > p_2$
versch. Das System soll keine Wärme mit
der Umgebung austauschen, d.h. $dQ = 0$.

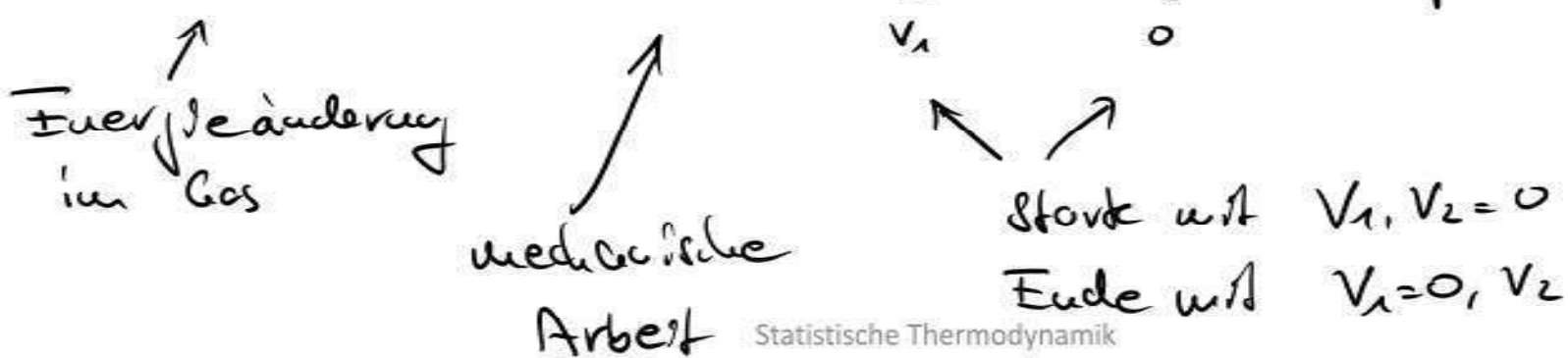
Solche Prozesse heißen adiabatisch.

Das Gas diffundiert langsam durch die poröse
Wand: „jetrosselte adiabatische Entspannung“.

Der Prozess ist:

- statischer (Gasstrom verbleibt konstant)
- irreversibel (Energieverlust durch Abbremsung
der Gasmoleküle in der porösen Wand)

$$\Delta E = E_2 - E_1 = \Delta \omega = - \int_{V_1}^{V_2} p_1 dV - \int_{V_1}^{V_2} p_2 dV = p_1 V_1 - p_2 V_2$$



$$\rightarrow E_1 + p_1 V_1 = E_2 + p_2 V_2$$

$$H_1(S, p, N) = H_2(S, p, N) \quad \text{gleiche Enthalpie}$$

D.h. die Enthalpie bleibt erhalten.

Für kleine Druckdifferenzen $d p = p_2 - p_1 < 0$ wird der Prozess durch den Joule-Thompson-Koeffizienten beschrieben:

$$\mathcal{J} = \left(\frac{\partial \bar{T}}{\partial p} \right)_S \quad \begin{aligned} \mathcal{J} > 0 : \bar{T} &\text{ wird kleiner} \\ \mathcal{J} < 0 : \bar{T} &\text{ wird größer} \end{aligned}$$

Bedeutung: $dH = \bar{T} dS + V dp$, wobei $S = S(\bar{T}, p)$

$$dS = \left(\frac{\partial S}{\partial T} \right)_p d\bar{T} + \left(\frac{\partial S}{\partial p} \right)_T dp$$

$$\Rightarrow dH = T \left(\frac{\partial \varsigma}{\partial T} \right)_p dT + \left[V - T \left(\frac{\partial V}{\partial T} \right)_p \right] dp$$

Es gilt: $\left(\frac{\partial \varsigma}{\partial p} \right)_T = - \left(\frac{\partial V}{\partial T} \right)_p$ Maxwell-Beziehung

$$\rightarrow dH = C_p dT + \left[V - T \left(\frac{\partial V}{\partial T} \right)_p \right] dp$$

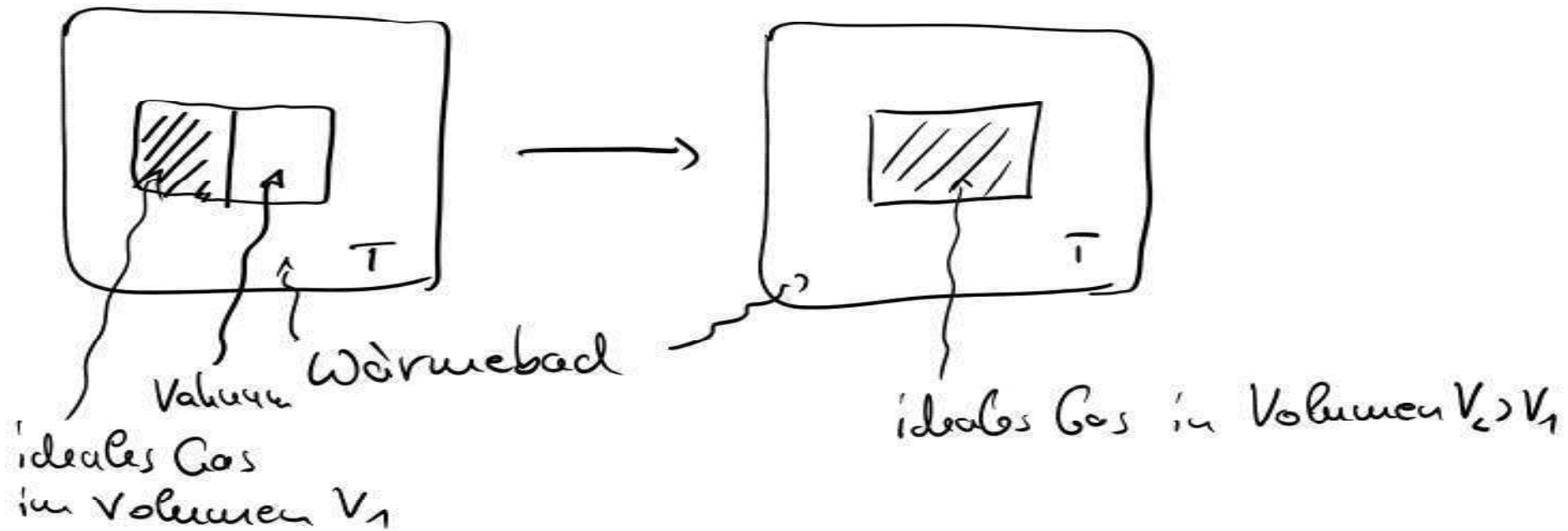
$$\rightarrow \sigma = \left(\frac{\partial T}{\partial p} \right)_H = \frac{1}{C_p} \left[T \left(\frac{\partial V}{\partial T} \right)_p - V \right]$$

Beispiel ideales Gas: $p \cdot V = NkT$

$$\rightarrow T \left(\frac{\partial V}{\partial T} \right)_p = T \frac{Nk}{p} = V \Rightarrow \sigma = 0 \quad T \text{ k\"onigt frei}$$

Reale Gase: d.h. gilt $\sigma > 0 \rightarrow T \text{ wird kleiner}$
 (z.B. Spraydose)

6.7. Irreversible Expansion eines idealen Gases



Einbettung im Wärmebad: $\bar{T} = \text{const.}$

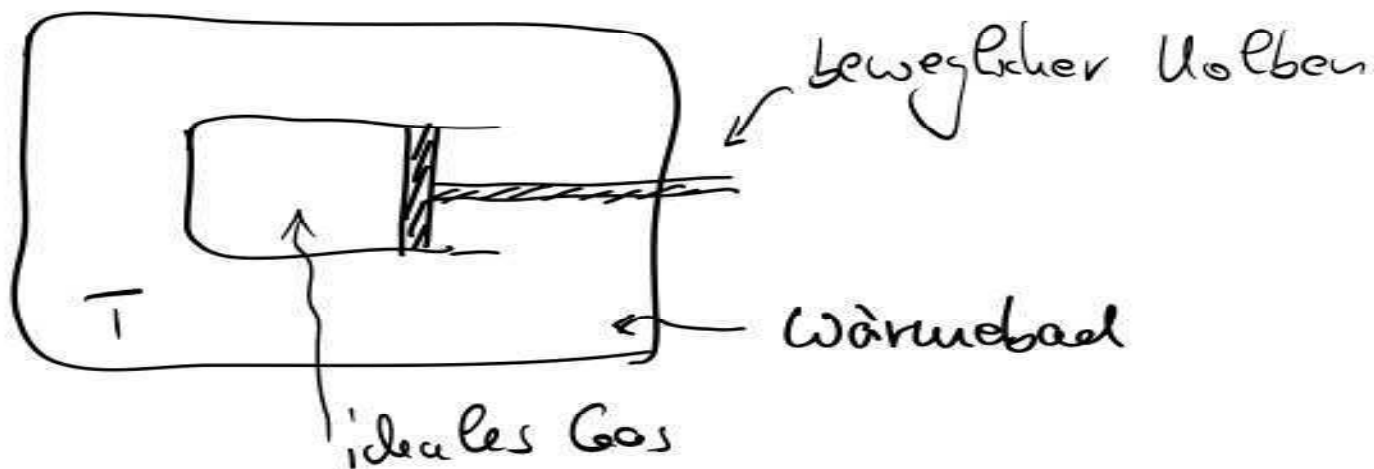
$$\Rightarrow \Delta \bar{E} = 0, \text{ da } \bar{E} = \frac{3}{2} N k \bar{T}$$

$\Delta \omega = 0$, da Gas keine Arbeit leistet

$\Rightarrow \Delta Q = \Delta \bar{E} - \Delta \omega = 0$, d.h. kein Wärweaustausch mit Bad

aber: $\Delta S = S_2 - S_1 = N k \ln\left(\frac{V_2}{V_1}\right) > 0$ intuitiv klar...
vgl. S. 66

6.8. Reversible isotherme Expansion



- Das ideale Gas sei zunächst auf ein Volumen V_1 komprimiert und entspanne sich dann.
- Dabei wird Arbeit zw. am Kolben verrichtet.
- Die Entspannung geschiehe so langsam, dass sich das System zu jedem Zeitpunkt im Zustand wox. Entartung, d.h. im thermodynamischen Gleichgewicht mit dem Wärmebad befindet: $T = \text{const.}$

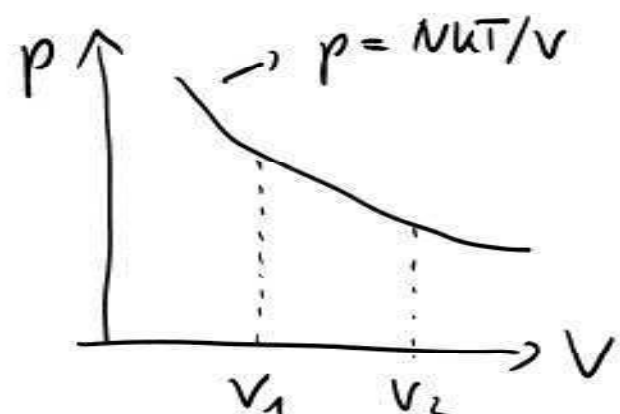
→ reversibler Prozess

- Wenn V_1 und V_2 gleich wie bei der irreversiblen Expansion in Kapitel 7.2 folgt:

$$\Delta S = S_2 - S_1 = Nk \ln \frac{V_2}{V_1} > 0$$

mechanische Arbeit:

$$\begin{aligned}\Delta W &= - \int_{V_1}^{V_2} p dV \\ &= - NkT \ln \frac{V_2}{V_1}\end{aligned}$$



Da $0 = \Delta E = \Delta W + \Delta Q$ gilt muß $\Delta Q > 0$, d.h. das System entzieht dem Bad Wärmeenergie.

6.9. Reversible adiabatische Expansion: isentropischer Prozess

Betrachte nun (langsame) Expansion in thermodynamischen Gleichgewicht, d.h. die Möglichkeit des Wärmeaustauschs mit der Umgebung: $\Delta Q = 0$, adiabatisch.

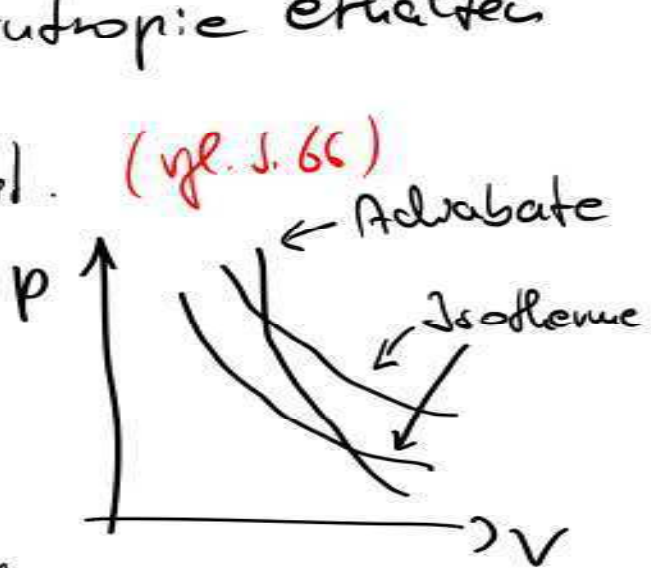
→ $dQ = T dS = 0 \leftrightarrow$ Entropie erhalten

$$S = Nk \ln \left[\frac{V}{N} \left(\frac{3}{2} uT \right)^{3/2} \right] = \text{const.} \quad (\text{vgl. S. 66})$$

$$\Rightarrow V T^{3/2} = \text{const.}$$

$$\Rightarrow p = \frac{M u T}{V} = \frac{\text{const}}{V^{5/3}}$$

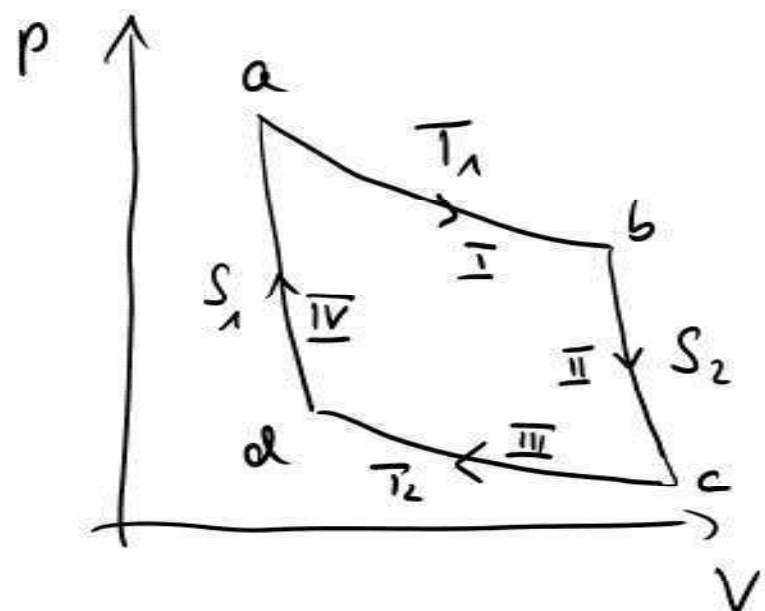
Adiabatenfunktion



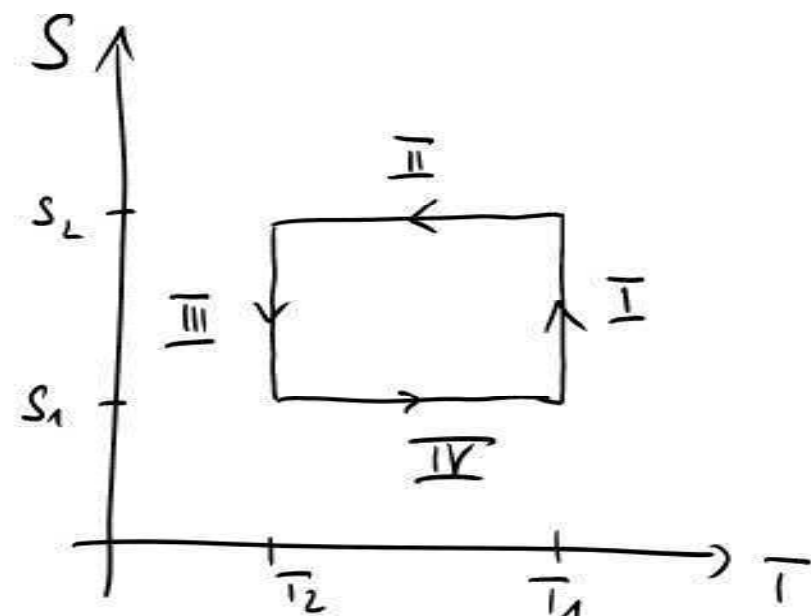
6.10. Der Carnot'sche Kreisprozess

Ziel: Maschine, die zirkulär Wärmeenergie in mechanische Arbeit umwandelt.

→ Kombiniere adiabatische und isotherme Prozesse.



$a \rightarrow b$ } isotherm
 $c \rightarrow d$ }



$b \rightarrow c$ } adiabatisch
 $d \rightarrow a$ }

Da der Prozesszyklus ist, muss gelten:

$$0 = \oint dS = \underbrace{\int_I dS}_{\text{I}} + \underbrace{\int_{II} dS}_{\text{II}} + \underbrace{\int_{III} dS}_{\text{III}} + \underbrace{\int_{IV} dS}_{\text{IV}} = (S_2 - S_1) + 0 + (S_1 - S_2) + 0$$

✓

Die abgegebene Arbeit wird berechnet aus:

$$\Delta\omega = - \oint p dV > 0$$

I: isotherm $\rightarrow \Delta Q_I = T_1(S_2 - S_1)$, $E_I \sim T_1 = \text{const.}$

III: isotherm $\rightarrow \Delta Q_{III} = T_2(S_1 - S_2)$, $E_{III} \sim T_2 = \text{const.}$

II, IV: adiabatisch $\rightarrow \Delta Q = 0$, $\Delta E = \pm \frac{3}{2} N k (T_2 - T_1)$

Zusammen:

$$0 = \oint dE = \oint dQ + \oint d\omega = \Delta Q_I + \Delta Q_{III} + \Delta\omega$$

→
129

$$\Rightarrow -\Delta\omega = \Delta Q_I + \Delta Q_{III} = \bar{T}_1(S_2 - S_1) + \bar{T}_2(S_1 - S_2) \\ = (\bar{T}_1 - \bar{T}_2)(S_2 - S_1) > 0 \text{ für } \bar{T}_1 > \bar{T}_2$$

Wirkungsgrad:

$$\gamma = \frac{\text{mech. Arbeit}}{\text{nutzf. Wärme}} = \frac{-\Delta\omega}{\Delta Q_I} = \frac{\Delta Q_I + \Delta Q_{III}}{\Delta Q_I} = 1 + \frac{\Delta Q_{III}}{\Delta Q_I}$$

$$\rightarrow \boxed{\gamma = 1 - \frac{\bar{T}_2}{\bar{T}_1}}$$

- γ ist immer kleiner als 1 für $\bar{T}_2 > 0$
- $\bar{T}_2 = 0$: perpetuum mobile 2 Art
- real: $\bar{T}_2 < \bar{T}_1$ wichtig. (Anwendung z.B. in Solarthermie)
- γ ist unabhängig von Arbeitsgas

- Be jedem Durchlauf des Zyklus wird Wärme in Arbeit umgewandelt. In realen, endlichen Wärmeböden führt dies mit der Zeit dazu, dass $T_2 \rightarrow T_1$ und somit $\gamma \rightarrow 0$.
- Der Carnot-Prozess kann auch in umgekehrter Richtung durchlaufen werden, d.h. Arbeit wird nur Umwelt verwendet.
 \leadsto - Kühlschrank - Wärmequelle
- Der Carnot-Prozess ist die effizienteste Wärmeleistungsmaschine
- Reale Wärmeleistungsmaschinen:

$$\gamma < 1 - \frac{T_2}{T_1}$$

Weitere wichtige zyklische Prozesse:

- Stirling-Prozess: isotherm und isochor ($V = \text{const.}$)
- Otto-Prozess: isentropisch und isochor

$$\gamma = 1 - \left(\frac{V_B}{V_A} \right)^{\frac{C_p - C_v}{C_v}}$$

- Brayton/Joule-Prozess: isentropisch und isobar ($p = \text{const.}$)

$$\gamma = 1 - \left(\frac{p_B}{p_A} \right)^{\frac{C_p - C_v}{C_p}}$$

- Diesel-Prozess: isentropisch und isobar/isochor

$$\gamma = 1 - \frac{1}{\frac{C_p/C_v}{(V_1/C_p/C_v) - 1}} \frac{\frac{(V_3/V_L)^{C_p/C_v} - 1}{(V_3/V_L) - 1}}{1}$$

'isentropisch' = adiabatisch und reversibel

7. Ideale und reale Gase

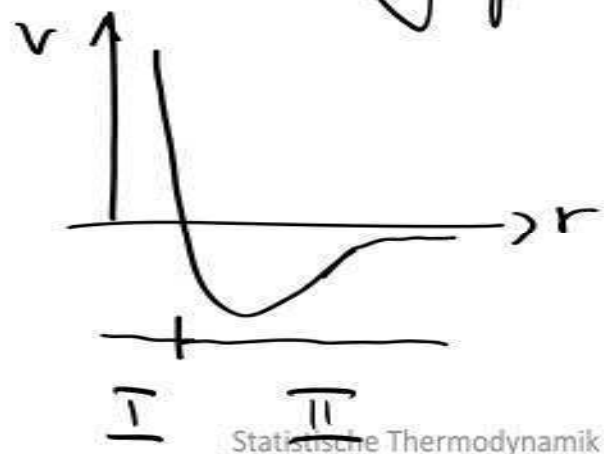
7.1. Das van-der-Waals'sche Gas

Klassisches, reales Gas aus Partikeln mit

- Eigenvolumen
- Wechselwirkung

Diese beiden Eigenschaften wollen wir nun berücksichtigen.

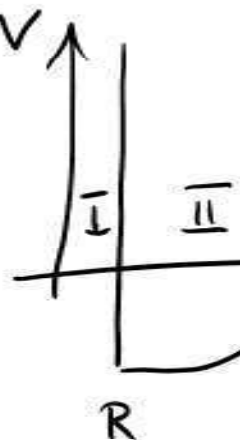
Typisches Wechselwirkungspotenzial:



Bereich I: Coulomb-Abstufung der Elektronenwellen der Nukleole

Bereich II: Nukleole besitzen ausgedehnte Ladungsverteilung $S_{el.}$, die Coulombwirky ist und sich je nach geplausig beeinflusst \rightarrow je nachse Polarisationswirkung über Dipolmomente (Noupol-Terme) verschwindet da Nukleole elektrisch neutral)

Näherung der Wechselwirkung:



„Hartkugelpotenzial“

- (I) Reduktion des Volumens, das einer Teilchen zur Verfügung steht um das Volumen aller anderen Teilchen:

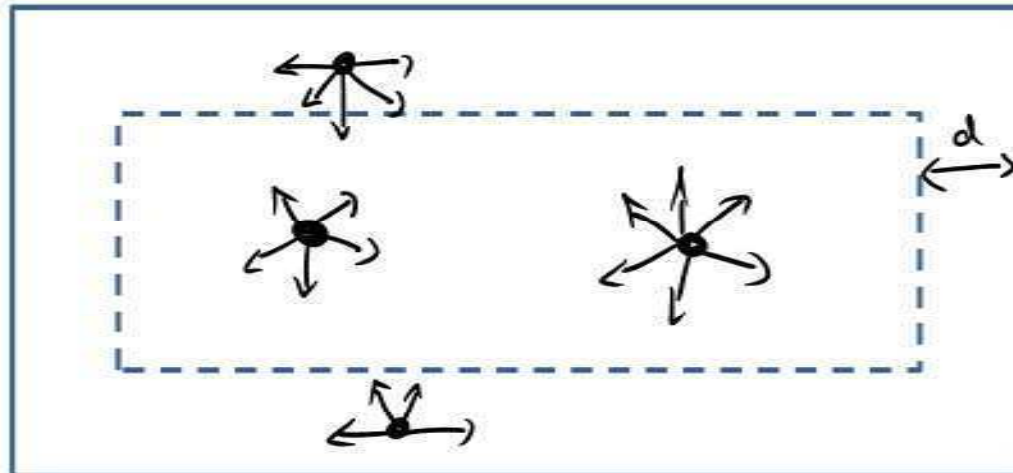
$$V_{\text{eff}} = V - N V_{\text{molek\acute{u}le}} = V - b$$



(II)

Moleküle ziehen sich gegenseitig an

- Im Inneren des Volumens liegen sich diese Kräfte gegenseitig auf
- Innerhalb eines Raumbereiches der Größe d liegen sich die Kräfte nicht auf
 \Rightarrow Reduktion des Drucks auf die Wand



Wie groß ist die Reduktion des Druckes?

Zahl der Stoßkontakte in Schicht der Breite d :

$$N_d = N \cdot \frac{d \cdot S}{V}$$

$S = \partial V$ = Oberfläche von V

Zahl der Stoßkontakte in Oberflächenabschicht:

$$\binom{N_d}{2} = \frac{N_d!}{(N_d-2)! \cdot 2!} \sim N_d^2 \sim \left(N \frac{dS}{V}\right)^2 \sim \frac{\text{const.}}{V^2}$$

$\hat{=}$ Stärke der Wechselwirkung (Kraft)

\Rightarrow Druck

$$p = p_{\text{min}} - \frac{a}{V^2}$$

↑ ohne WW

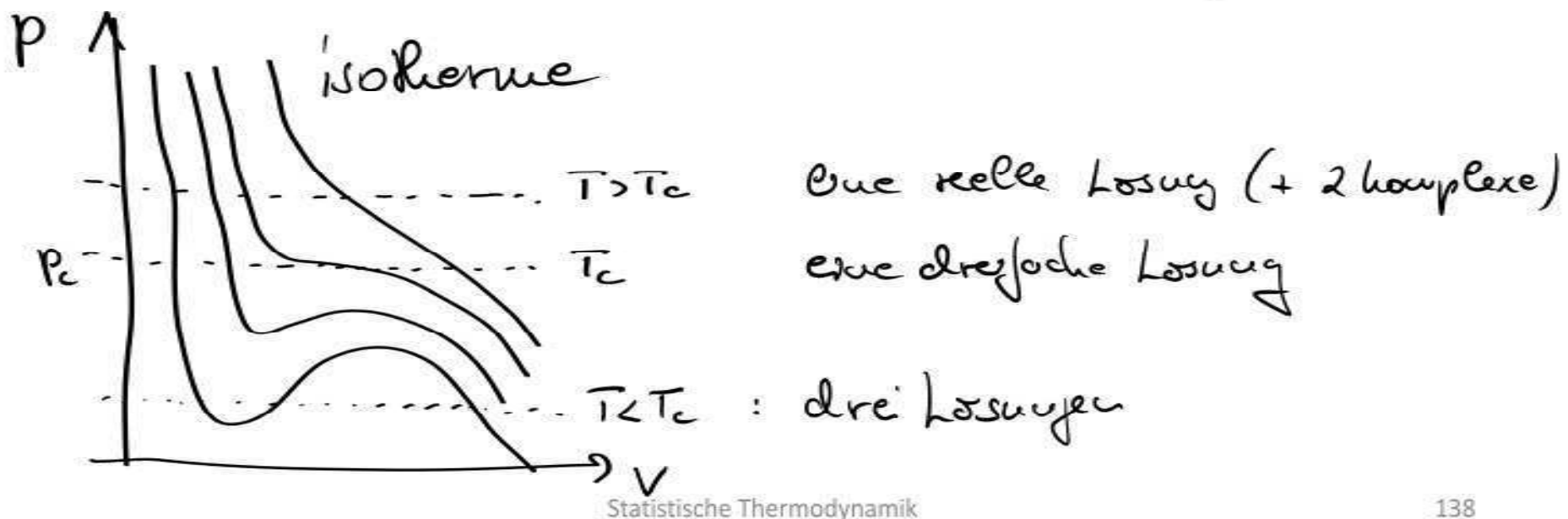
a hängt ab von
Teilchenzahl und -sorte

→ Zustandsgleichung $p_{\text{univ}} V_{\text{eff}} = NkT$

$$\Rightarrow \left(p + \frac{a}{V^2} \right) (V - b) = NkT$$

vander-Waal'sche Zustandsgleichung

andere Form: $V^3 - V^2 \left(b + \frac{NkT}{p} \right) + V \frac{a}{p} - \frac{ab}{p} = 0$



- Verhalten am kritischen Punkt (\bar{T}_c, \bar{p}_c) :

$$O = (V - V_c)^3 = V^3 - 3V^2V_c + 3VV_c^2 - V_c^3$$

$$\rightarrow 3V_c = b + \frac{Nk\bar{T}_c}{\bar{p}_c}, \quad 3V_c^2 = \frac{a}{\bar{p}_c}, \quad V_c^3 = \frac{ab}{\bar{p}_c}$$

\Rightarrow Messung von zwei Größen der $\bar{T}_c, V_c, \bar{p}_c$
perfekt statikalparametern a und b .

- Folge relative Größen eu: $\bar{\tau} = \frac{T}{T_c}$, $\bar{p} = \frac{p}{p_c}$, $\bar{V} = \frac{V}{V_c}$

$$\rightarrow \left(\bar{p} + \frac{3}{\bar{V}^2} \right) \left(\bar{V} - \frac{1}{3} \right) = \frac{8}{3} \bar{\tau}$$

universal gelte für alle Statikalien

„Gesetz der korrespondierenden Zustände“

- $T < T_c$: Es gibt jetzt ein Gebiet mit
 $\frac{\partial P}{\partial V} > 0 \rightsquigarrow$ instabil!

\Rightarrow Annahme der Homogenität des van-der-Waals Gases nicht mehr korrekt.
 In diesem Gebiet ist Ind. Volumen gerade so,
 dass ein Phasenübergang stattfindet.
 \sim vgl. Kapitel 8.

7.2. Quantenmechanische Ensembles

Jetzt wollen wir statistische Systeme von quantenmechanischen Teilchen betrachten.

Einigung: $Z = \sum_{N=0}^{\infty} \int d\Gamma e^{-\beta(H-\mu N)}$ (klassisches Ensemble)

In der QR ist $H(p,q)$ keine Funktion im Phasoraum, sondern ein Operator der auf dem Hilbertraum H wirkt.

Wie schreiben wir dann die Zustandssumme Z ?



i. A. g. et. Observable \hat{A} , normierter Zustand $|q\rangle$
 Eigenzustände $|\varphi_n\rangle$ von \hat{A}

$$\langle A \rangle = \langle q | A | q \rangle = \sum_{n,m} c_n^* c_m \langle \varphi_n | \hat{A} | \varphi_m \rangle$$

Definitorische Dichtewahl

$$\rho = |q\rangle \langle q| = \sum_{n,m} c_n^* c_m |\varphi_n \rangle \langle \varphi_m|$$

Nach der Definition der Spur

$$\text{Sp}(X) = \sum_n \langle u | X | u \rangle \quad \left(\{u\} \text{ orthonormale, vollständig} \right)$$

ergibt sich dann:

$$\langle A \rangle = \text{Sp}(S_A) = \sum_n \langle \varphi_n | q \rangle \langle q | A | \varphi_n \rangle$$

✓

Es gilt:

- Spur ist unabhängig von Basis
- $\text{Sp}(\mathcal{S}) = 1$
- $\mathcal{S}^2 = \mathcal{S}$ (nur bei reinen Zuständen)
- $\mathcal{S}^+ = \mathcal{S}$ [Übung]

Liegt das System in einem gewissen Zustand vor dem gilt:

Wkt. für Zustand i: $p_i = a_i a_i^*$, $\sum_i p_i = 1$

$$\langle A \rangle = \sum_i p_i \langle \psi_i | A | \psi_i \rangle$$

$$\mathcal{S} = \sum_i p_i \langle \psi_i | \mathcal{S} | \psi_i \rangle$$

$$\langle A \rangle = \text{Sp}(\mathcal{S}_A)$$

$$\text{Sp}(\mathcal{S}) = 1, \mathcal{S}^+ = \mathcal{S}$$

Betrachte nun Ω_{KE} und gehe über zur QM.

Innerhalb der Energieschale wird aus:

$$S_{KE} = \frac{1}{\Gamma(E)} \rightarrow \hat{S}_{KE} = \sum_n \frac{1}{\Gamma(E_n)} |n\rangle \langle n|$$

wo σ über alle Eigenzustände $|n\rangle$ von H mit Eigenwerten E_n und $E < E_n < E + \Delta$ summiert wird.

Zur KE wird heraus:

$$S_{KE} = \frac{1}{Z} e^{-H/kT} \rightarrow \hat{S}_{KE} = \frac{1}{Z} e^{-\hat{H}/kT} = \frac{1}{Z} \sum_n e^{-E_n/kT} |n\rangle \langle n|$$

\hat{S}_{KE} agiert als Dichtekoperator / Dichtematrix.

Analog zum klassischen Fall (Kapitel 4.1) bestimmen wir die Zustandssumme Z aus der Normierung:

$$1 = S_p(S_{UE}) = \sum_m \langle m | \frac{1}{Z} \sum_n e^{-\frac{E_n}{kT}} | n \rangle \langle n | m \rangle$$

$$= \frac{1}{Z} \sum_n \langle n | e^{-\frac{E_n}{kT}} | n \rangle$$

$$\rightarrow Z = S_p(e^{-\beta \hat{H}}) \quad (\text{d.h. } \int d\Gamma \rightarrow S_p)$$

Es gilt: $\langle \hat{A} \rangle_{UE} = S_p(\hat{A} S)$

Analog führen wir für das großkanonische Ensemble quantenmechanischer Systeme:

$$S_{\text{GUE}} = \frac{1}{Z} e^{-\beta(\hat{H}-\mu\hat{N})}$$

$$\begin{aligned} Z_{\text{GUE}} &= S_p(e^{-\beta(\hat{H}-\mu\hat{N})}) \\ &= \sum_N S_p(e^{-\beta(\hat{H}-\mu\hat{N})}) \end{aligned}$$

$$\langle \hat{A} \rangle_{\text{GUE}} = S_p(S_{\text{GUE}} \hat{A})$$

S_p : Spur bei
fester
Teilchenzahl

7.3. Quantengase

Wir wollen im Folgenden ideale Gase aus quantenmechanischen Teilchen betrachten.

Betrachte N Teilchen im Volumen $V = L^3$ mit periodischen Randbedingungen.

$$\rightarrow \hat{H} = \sum_{i=1}^N \frac{1}{2m} \hat{p}_i^2 \quad , \quad \varphi_p(\vec{x}) = \langle \vec{x} | \hat{p} \rangle = \frac{1}{\sqrt{V}} e^{i \vec{p} \cdot \vec{x} / \hbar}$$

mit $\vec{p} = \frac{2\pi\hbar}{L} (u_1, u_2, u_3)$ $u_i = 0, \pm 1, \dots$

$$\rightarrow \hat{H} |\vec{p}\rangle = \varepsilon_p |\vec{p}\rangle \quad \text{und} \quad \varepsilon_p = \frac{\vec{p}^2}{2m}$$

Behachte außerdem noch Spin und schreibe

$$|\vec{p}\rangle := |\vec{p}\rangle |\omega_S\rangle \quad \text{für Teilchen-Wellenfunktionen}$$

Statistische Thermodynamik

Gesamtwellenfunktionen:

unterscheidbar: $|p\rangle = |p_1\rangle |p_2\rangle |p_3\rangle \dots |p_N\rangle$

identisch: $|p^\pm\rangle = N \sum_P (\pm)^P P(|p_1\rangle \dots |p_N\rangle)$

↑ Permutationen P

p : Zahl der paarweise
Vertauschungen

H_N^+ : Raum der symmetrischen Zustände

→ Bosonen, $S=0, 1, 2, \dots$ (QFT)

H_N^- : Raum der antisymmetrischen Zustände

→ Fermionen, $S=\frac{1}{2}, \frac{3}{2}, \frac{5}{2}, \dots$

Besetzungszahlen u_i der Zustände $|p\rangle$:

Barouen: $u_i = 0, 1, 2, \dots$

Fermionen: $u_i = 0, 1$ aufgrund des Pauli-Prinzips

und $N = \frac{1}{\sqrt{N! u_1! u_2! \dots}}$ (Normierung)

Er gibt weiterhin:

$$N = \sum_p u_p, \quad E = \sum_p u_p \varepsilon_p$$

Dies gilt allgemein auch für wechselwirkende Systeme.

Betrachte nun graphenische Zustandssumme:

$$Z = \sum_{N=0}^{\infty} \zeta_p e^{-\beta(\hat{H}-\mu\hat{N})}$$

$$= \sum_{N=0}^{\infty} \sum_{\{u_p\}} e^{-\beta(\sum_p u_p \varepsilon_p - \mu \sum_p u_p)}$$

$\sum_p u_p = N$

Summe über alle möglichen Verteilungen $\{u_p\}$ mit $\sum_p u_p = N$

$$= \sum_{u_1} \sum_{u_2} \dots \sum_{u_p} \prod_p e^{-\beta(\varepsilon_p - \mu) u_p}$$

$$= \prod_p \left(\sum_{u_p} e^{-\beta(\varepsilon_p - \mu) u_p} \right)$$

$$\sum_{N} \sum_{\{u_p\}} \leftrightarrow \sum_{u_1} \dots \sum_{u_p}$$

$\sum u_p = N$

$$Z = \begin{cases} \prod_p \frac{1}{1 - \exp(-\beta(\varepsilon_p - \mu))} & \text{Bosonen} \\ \prod_p (1 + e^{-\beta(\varepsilon_p - \mu)}) & \text{Fermionen} \end{cases}$$

Bosonen
 $(\varepsilon_p > \mu)$

Fermionen

geometrische Reihe

$$\sum_{k=0}^{\infty} aq^k = \frac{a}{1-q}$$

19/150

graphisches Potential:

$$\Omega = -\frac{1}{\beta} \ln Z = \pm \frac{1}{\beta} \sum_p c_p \left(1 + e^{-\beta(\varepsilon_p - \mu)} \right)$$

Baronen
Fermione

mittlere Teilchenzahl:

$$\langle N \rangle = -\frac{\partial \Omega}{\partial \mu} = \mp \frac{1}{\beta} \sum_p \frac{1}{1 + e^{-\beta(\varepsilon_p - \mu)}} \quad (\mp \beta e^{-\beta(\varepsilon_p - \mu)})$$

$$= \sum_p \frac{1}{e^{\beta(\varepsilon_p - \mu)} + 1}$$

$$=: \sum_p n(\varepsilon_p)$$

$n(\varepsilon_p)$: Verteilungsfunktion

$$u(\varepsilon_p) = \frac{1}{e^{\beta(\varepsilon_p - \mu)} + 1}$$

ist die mittlere Besetzungszahl eines Zustands $|p\rangle$.
 (Beweis siehe Übungen)

Bemerkung:

- (i) $u(\varepsilon_p) \geq 0$: Fermionen: μ beliebig, $0 \leq u(\varepsilon_p) \leq 1$
 Bosonen: $\mu < \min(\varepsilon_p)$ (mindestens...)
 \rightarrow siehe später
- (ii) große Energien ε_p : $u(\varepsilon_p) \rightarrow e^{-\beta(\varepsilon_p - \mu)}$ idealistisch für
 Fermionen/Bosonen

Berechnung innerer Energie:

$$U = -\frac{\partial}{\partial \mu} \ln \tau + \mu \langle N \rangle = \dots = \sum_p \varepsilon_p u_p(\varepsilon_p) \quad [\text{Übungen}]$$

7.4. Ideales Fermi-Gas

Ziel: Berechnung von $\Omega(T, V, \mu) = -kT \sum_i c_n \left(1 + e^{-\frac{E}{kT}} \right)$

- jedes Fermion besitzt zu jeder Energie $(2S+1)$ mögliche Spinzustände (Entartung, da \hat{H} unabhängig von S)
- Fermionen befinden sich in Box mit $V = L_x L_y L_z$
 - periodische Randbedingungen, z.B. $\Psi(x+L_x) = \Psi(x)$ usw.
 - $e^{ixk_x} = e^{i(x+L_x)k_x} \rightarrow e^{iL_x k_x} = 1 \rightarrow k_x = \frac{2\pi}{L_x} \cdot n_x$
 - ↓
i.A.: $k_{x,y,z} = \frac{2\pi}{L_{x,y,z}} n_{x,y,z}$ und $n_{x,y,z} \in \mathbb{Z}$
 - jeder Zustand besetzt ein Volumen im \vec{p} -Raum von

$$\Delta k = \frac{(2\pi)^3}{L_x L_y L_z} = \frac{(2\pi)^3}{V} \quad \longrightarrow$$

Statistische Thermodynamik

Im thermodynamischen Limes ($V \rightarrow \infty, N \rightarrow \infty, n = \frac{N}{V} = \text{const.}$)
 geht $\Delta k \rightarrow 0$ und wir erhalten:

$$(2s+1) \sum_r \rightarrow (2s+1) \frac{1}{\Delta k} \int d^3k \dots = (2s+1) \frac{V}{(2\pi)^3} \int d^3k \dots$$

Ob $\bar{p} = t\bar{k}$ haben wir auch hier den gewünschten Faktor
 $1/(2\pi\hbar)^3$ vor dem Integral.

Für das großkanonische Potential erhalten wir

$$\text{wif } \varepsilon_r = \frac{t^2 k^2}{2m} :$$

$$-\beta \Omega(T, V, \mu) = (2s+1) \frac{V}{(2\pi)^3} 4\pi \int_0^\infty dk k^2 \ln \left[1 + \zeta \exp \left(-\beta \frac{t^2 k^2}{2m} \right) \right]$$

$$\zeta = e^{\beta \mu}$$

Substitution: $x = \hbar k \sqrt{\frac{p}{2m}} \Rightarrow k^2 dk = \left(\frac{2m}{\hbar^2 k^2}\right)^{3/2} x^2 dx$

$$\rightarrow -\beta S = (2s+1) \frac{4V}{\Gamma_F} \left(\frac{m}{2\pi\hbar^2 k^2}\right)^{3/2} \int_0^\infty dx x^2 \text{Co}(1 + \xi e^{-x^2})$$

$$= \frac{2s+1}{\lambda^3} \frac{4V}{\Gamma_F} \int_0^\infty dx x^2 \text{Co}(1 + \xi e^{-x^2}) \quad \text{w.t } \lambda = \sqrt{\frac{2\pi\hbar^2 k^2}{m}}$$

Hermitische
de-Broglie-Welle längs

Auswertung des Integrals.

$$\int_0^\infty dx x^2 \text{Co}(1 + \xi e^{-x^2}) = \int_0^\infty dx x^2 \sum_{n=1}^{\infty} (-1)^{n+1} \frac{(\xi e^{-x^2})^n}{n} \quad |\xi| < 1$$

$$= \sum_{n=1}^{\infty} (-1)^{n+1} \frac{\xi^n}{n} \int_0^\infty dx x^2 e^{-nx^2}$$

$$= -\frac{d}{dn} \int_0^\infty dx e^{-nx^2}$$

$$\int dx x^2 \ln(1 + \xi e^{-x}) = \sum_{m=1}^{\infty} (-1)^{m+1} \frac{\xi^m}{m} \left(-\frac{d}{dm} \frac{1}{2} \sqrt{\frac{\pi}{m}} \right)$$

$$= \frac{\sqrt{\pi}}{4} \sum_{m=1}^{\infty} (-1)^{m+1} \frac{\xi^m}{m^{5/2}}$$

$$=: \frac{\sqrt{\pi}}{4} \int_{S_1/2}(\xi)$$

$$\rightarrow \mathcal{F}(T, V, \mu) = - \frac{2s+1}{\lambda^3(T)} V \int_{S_1/2}(\xi)$$

größtmöglicheres
Potenzial des
idealen Fermi-Gases

Jetzt wollen wir noch die klassische Zustandsgleichung
ableiten:

$$\mathcal{F} = -pV \Rightarrow \Delta p = \frac{2s+1}{\lambda^3(T)} \int_{S_1/2}(\xi) \quad (1)$$



und ξ lässt sich im Prinzip eliminieren

$$\xi = e^{kT}$$

$$z = e^{-\beta \mu}$$

durch $\langle N \rangle = \frac{1}{V} \frac{\partial \text{entz}}{\partial \mu} = \xi \frac{\partial}{\partial \xi} (-\beta \mu) = V \xi \frac{\partial}{\partial \xi} (\beta \mu)$

$$\frac{\partial}{\partial \mu} = \frac{\partial \xi}{\partial \mu} \frac{\partial}{\partial \xi} \\ = \frac{1}{\xi} \frac{\partial}{\partial \xi}$$

$$\rightarrow u = \frac{\langle N \rangle}{V} = \frac{2s+1}{\lambda^3} \xi \frac{\partial}{\partial \xi} \int_{S/L} = \frac{2s+1}{\lambda^3} f_{S/L} \quad (2)$$

(1) und (2) zusammen ergeben die klassische Zustandsgleichung $p(T, u)$.

Die koloratische Zustandsgleichung $U(T, u)$ ergibt sich aus:

$$U = - \frac{\partial}{\partial \mu} \text{entz} + \mu \langle N \rangle$$

$$\mu \langle N \rangle = \mu V \frac{2s+1}{\lambda^3} \xi \frac{\partial}{\partial \xi} \int_{S/L} (\xi) = \mu V \frac{2s+1}{\lambda^3} \xi \frac{\partial}{\partial \xi} \frac{-\beta \mu \lambda^3}{(2s+1)V}$$

$$= \frac{1}{\lambda^3} \frac{\partial}{\partial \mu} (-\beta \mu \lambda^3) = \frac{\partial}{\partial \mu} (\partial_u z) + \frac{3}{2} \frac{1}{\lambda} \text{entz} = \frac{\partial}{\partial \mu} (\text{entz}) + \frac{3}{2} \mu V$$

$$\frac{\partial}{\partial \xi} \frac{\partial}{\partial \xi} = \frac{\partial}{\partial \xi}$$

$$= \frac{1}{\mu} \frac{\partial}{\partial \mu}$$

$$\Rightarrow U = \frac{3}{2} pV = \frac{3}{2} kT V \frac{2s+1}{\lambda^3} \int_{S/L} (\xi)$$

kanonische
Zustandsgleichung

und wieder können wir die ξ -Abhängigkeit im Prinzip durch eine n -Abhängigkeit ersetzen.

7.4.1. Klassischer Grenzfall

Jetzt betrachten wir den Grenzfall $\xi = e^{\beta \mu} \ll 1$

$$\rightarrow \langle u_p \rangle = \frac{1}{\exp[\beta(\varepsilon_p - \mu)] + 1} = \frac{1}{\frac{1}{\xi} e^{\beta \varepsilon_p} + 1} \rightarrow \xi e^{-\beta \varepsilon_p}$$

Wässische
Planck-Boltzmann -
Verteilung

Für die Teilchendichte ergibt sich:

$$n = \frac{2s+1}{\lambda^3} \int_{S/L} \approx \frac{2s+1}{\lambda^3} \left\{ + \dots \right\} \rightarrow \xi_0 = \frac{n\lambda^3}{2s+1} \quad \text{in niedrigster Näherung}$$

$$\Rightarrow \xi \ll 1 \Leftrightarrow n\lambda^3 \ll 1$$

d.h. klass. Limit ist erreicht für geringe Teilchendichten und kleine de-Broglie-Wellenlängen, d.h. hohe Temperaturen.

N.d. der verbesserten Näherung

$$\frac{n\lambda^3}{2s+1} = \xi - \frac{\xi^2}{2^{s+1}} + \dots \rightarrow \xi \approx \xi_0 \left(1 + \frac{\xi}{2^{s+1}} \right) \approx \xi_0 \left(1 + \frac{\xi_0}{2^{s+1}} \right)$$

erhält man für die thermische Zustandsfunktion:

$$k_B T = (2s+1) \xi_0 \left(1 + \frac{\xi_0}{2^{s+1}} \right) = n\lambda^3 \left(1 + \frac{n\lambda^3}{(2s+1)2^{s+1}} \right) \quad n = \frac{\langle N \rangle}{V}$$

$$\Rightarrow p V = \langle N \rangle k_B T \left(1 + \frac{n\lambda^3}{4\pi(2s+1)} \right)$$

Quantenkorrektur zu
klassischen idealen Gas

→ Diederhöhung aufgrund Pauli-Abstoßung.

7.4.2. Niveaudichte

Wir kehren jetzt wieder zum quantenmech. Gas zurück und betrachten die Niveaudichte $g(E) = \frac{\partial \Sigma}{\partial E}$ (Kapitel 2.6)

$$g(E) = (2s+1) \frac{1}{\Delta k} \frac{d}{dE} \int_{E \leq E} d^3k \quad \text{vgl. S. 154, } \varepsilon = \frac{\hbar^2 k^2}{2m}$$

$$= (2s+1) \frac{V}{(2\pi)^3} \frac{d}{dE} \frac{4\pi}{3} k^3 \Big|_{\varepsilon(k)=E} \quad (\text{Wegel im } k\text{-Raum})$$

$$= (2s+1) \frac{V}{(2\pi)^3} \frac{d}{dE} \frac{4\pi}{3} \left(\frac{2mE}{\hbar^2} \right)^{3/2}$$

$$= (2s+1) \frac{V}{(2\pi)^3} \frac{4\pi}{3} \frac{3}{2} \left(\frac{2m}{\hbar^2} \right)^{3/2} E^{3/2}$$

$$\boxed{g(E) = (2s+1) \frac{V}{4\pi^2} \left(\frac{2m}{\hbar^2} \right)^{3/2} \cdot E^{3/2}}$$

gilt für alle QR-Gte
und $\varepsilon = \frac{\hbar^2 k^2}{2m}$

Bemerkung:

- $g(E)$ beschreibt Dichte der Energieniveaus
 - $\langle u_r \rangle = f_-(E = \varepsilon_r) = \frac{1}{e^{\beta(E-\mu)} + 1}$ beschreibt die tatsächliche mittlere Besetzungszahl für Fermi-Gate
- $\Rightarrow g(E) f_-(E)$ beschreibt Dichte der bei Temperatur T besetzten Zustände.
- $f_-(E)$ heißt Fermi-Dirac-Funktion

7.4.3 Eigenschaften der Fermi-Dirac Funktion

- $f(\mu + \Delta) = \frac{1}{e^{\beta(\mu+\Delta)} + 1} = 1 - \frac{e^{\beta\Delta}}{e^{\beta(\mu+\Delta)} + 1} = 1 - f(\mu - \Delta)$

Unt. für Besetzung eines
Zustands mit $E = \mu + \Delta$

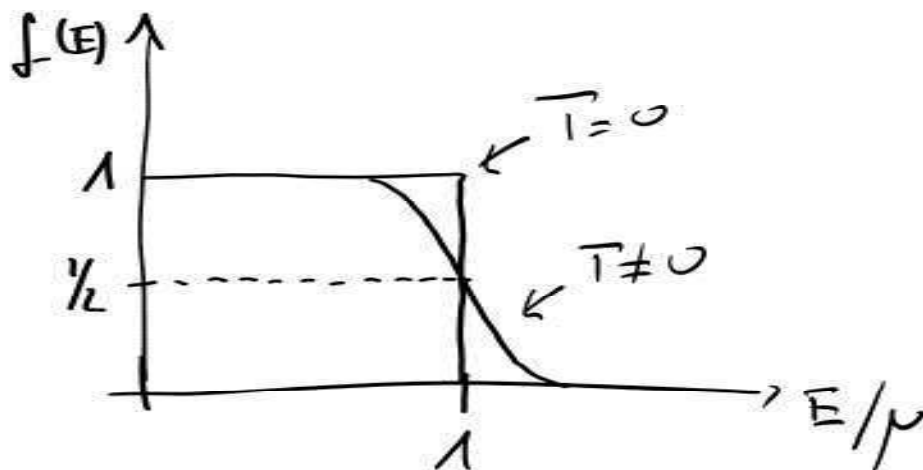
Wkt. für Nicht-Besetzung
eines Zustands mit $E = \mu - \Delta$

- $f(\mu) = \frac{1}{2}$, unabhängig von der Temperatur.

- i. A. ist μ selbst temperaturabhängig (siehe später)

- $\overline{T} \rightarrow 0$: $(\beta \rightarrow \infty) \frac{1}{e^{\beta(E-\mu)} + 1} \rightarrow \begin{cases} +1 & \text{für } (E-\mu) < 0 \\ 0 & \text{für } (E-\mu) > 0 \end{cases} = \Theta(\mu - E)$





- $T \neq 0$: Aufwerden der „Fermi-Uoute“ auf „Fermi-Energie“ $E_f = \mu(T=0)$

Breite des Aufwerdens:

$$f'(E) = -\frac{\beta e^{\beta(E-\mu)}}{(e^{\beta(E-\mu)} + 1)^2} \xrightarrow{E=\mu} -\frac{1}{4kT}$$

D.h. im Grundzustand ($T=0$) sind alle untersten Energieniveaus einzeln besetzt (Pauli-Prinzip), während bei thermischer Anregung aufje Fermionen auf höhere Energieniveaus aufgehoben werden.

Beispiel Metalle:

In Metallen können die Leitungselektronen durch ein solches Fermions bestimmt werden.

typische Energien: $E_f = \mu(T=0) = 1 \dots 10 \text{ eV}$

$$kT [eV] = T [K] / 11605 \quad , \quad T \approx 300 \text{ K}$$

$$\Rightarrow \frac{kT}{E_f} \approx \frac{1}{40} \quad , \quad \text{d.h. nur sehr kleiner Teil der Fermi-Energie ist aufgewandt.}$$

7.4.4. Thermodynamische Eigenschaften

Jetzt wollen wir die mittlere Teilchenzahl bestimmen.

Bei $\overline{T}=0$ und alle untersten Zustände erfüllt berechnet und es ergibt sich:

$$N = (2s+1) \frac{V}{(2\pi\hbar)^3} \int d^3p \Theta(p_F - p) = (2s+1) \frac{V p_F^3}{6\pi^2 \hbar^3}$$

mit dem maximalen, Fermi-Jimpuls \vec{p}_F .

Umgekehrt gilt: $p_F = \left(\frac{6\pi^2}{2s+1}\right)^{1/3} \hbar n^{1/3}$ und $n = \frac{N}{V}$

Und die Fermi-Energie beträgt:

$$E_F = \frac{p_F^2}{2m} = \left(\frac{6\pi^2}{2s+1}\right)^{2/3} \frac{\hbar^2}{2m} n^{4/3}$$

Jetzt wollen wir $\mu(T)$ berechnen. Dazu werden wir aus:

$$N = \langle N \rangle = \int_0^\infty dE f(E) g(E)$$

Solche Integrale können wir der Fourierfeld-Fitwicklung

$$\int_0^\infty dE f(E) g(E) = \int_0^\infty dE g(E) + \frac{\pi^L}{6} (\kappa T)^L g'(\mu) + \frac{7\pi^4}{360} (\kappa T)^4 g'''(\mu) + \dots$$

berechnet werden:

$$\langle N \rangle = \int_0^\infty dE \frac{3N}{2E_f^{3/2}} \sqrt{E} + \frac{\pi^L}{6} (\kappa T)^L \frac{3N}{2E_f^{3/2}} \frac{1}{2\mu} + \dots$$

$$1 = \left(\frac{E}{E_f} \right)^{3/2} \left[1 + \frac{\pi^L}{8} \left(\frac{\kappa T}{\mu} \right)^L \right]$$

$$\Rightarrow \mu = E_f \left(1 - \frac{\pi^L}{12} \left(\frac{\kappa T}{E_f} \right)^L + \dots \right)$$

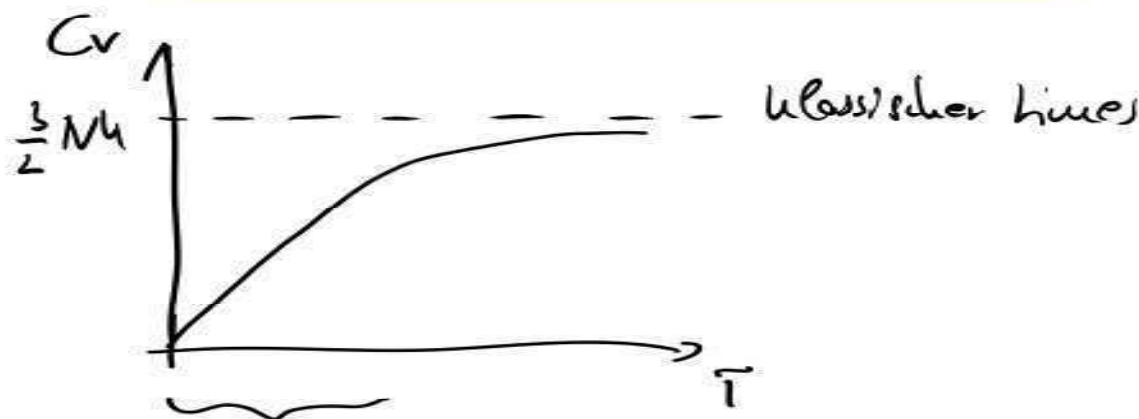
- T größer $\rightarrow \mu$ kleiner
- Anders aber nur sehr klein.

Analog berechnen wir noch die innere Energie des Fermi-Gases:

[Übung]

$$U(T) = \frac{3}{5} N E_F \left(1 + \frac{5\pi^2}{12} \left(\frac{kT}{E_F} \right)^2 \right)$$

$$\rightarrow C_V = \left(\frac{\partial U}{\partial T} \right)_{V,N} = Nk \frac{\pi^2}{2} \frac{T}{T_F} \quad \text{mit } T_F = \frac{E_F}{k}$$



in diesem Bereich können nur eine geringe Zahl von Fermionen um die Fermi-Energie herum hieratische Energie aufnehmen.

Schließlich erhalten wir für das graphische Potential

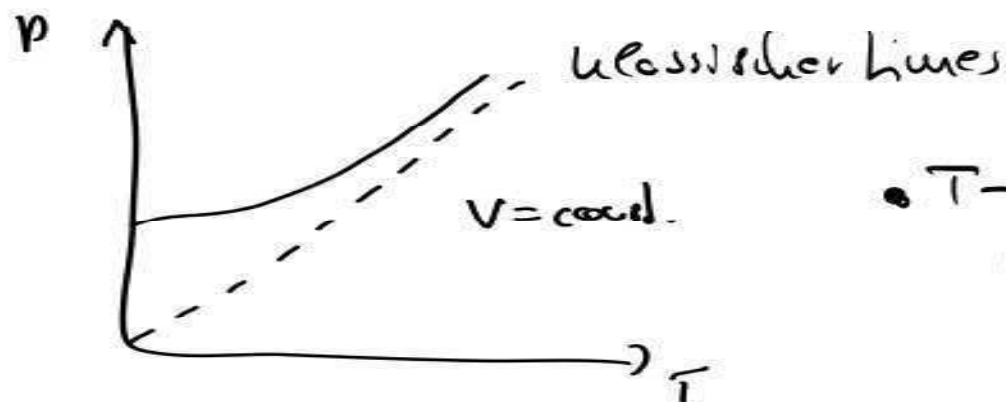
$$\Omega = -\frac{2}{5} N E_F \left\{ 1 + \frac{5\pi^2}{12} \left(\frac{kT}{E_F} \right)^2 + \dots \right\}$$

[Übung]

und daraus Druck und Entropie

$$P = \frac{2}{5} \left(\frac{6\pi^2}{2s+1} \right)^{4/3} \frac{\hbar}{2m} \left(\frac{N}{V} \right)^{5/3} \left(1 + \frac{5\pi^2}{12} \left(\frac{kT}{E_F} \right)^2 + \dots \right)$$

$$S = kN \frac{\pi^2}{2} \frac{T}{T_F}$$



- $T \rightarrow 0$: Druckerhöhung gegenüber klassischem Gas aufgrund Pauli-Prinzip.

7.5. Ideales Bose-Gas

Betrachte nichtrelativistisches Gas aus Bosonen mit Spin S in Volumen $V=L_x L_y L_z$.

Ein-Telchen-Energie: $\varepsilon(k) = \frac{\hbar^2 k^2}{2m}$ (isotrop)

Aus Kapitel 7.3. wissen wir, dass

$$n(\varepsilon) = \frac{1}{e^{(\varepsilon-\mu)/kT} - 1} \geq 0 \quad \rightarrow \quad \varepsilon - \mu > 0$$

$$\rightarrow -\infty < \mu < 0$$

Außerdem gilt die Niveauchelte aus Kapitel 7.42.

$$g(E) = (2S+1) \frac{\sqrt{V}}{4\pi^2} \left(\frac{2m}{\hbar^2} \right)^{1/2} E^{1/2}$$

In Kapitel 7.3. haben wir den graphischen Potenzial des Bose-Gases bereit bestimmt.

$$\Omega = -\frac{1}{\beta} \ln Z = \frac{1}{\beta} \sum_p C_p \left(1 - e^{-\beta(\varepsilon_p - \mu)} \right)$$

Analog zum Fermi-Gas wollen wir auch hier die Summen durch Integrale ersetzen (vgl. Kap. 7.4).

Im Unterschied zum Fermi-Gas mit $0 \leq \langle n_p \rangle \leq 1$ können im Bose-Gas Zustände mit vielen Teilchen besetzt werden. Dies gilt insbesondere für den Grundzustand $\varepsilon = 0$:

$$\langle n_0 \rangle = \frac{1}{e^{-\beta\mu} - 1} \rightarrow \frac{1}{-\beta\mu} \rightarrow \text{sehr groß für } \mu \rightarrow 0^-$$

Andererseits gilt:

$$(2s+1) \sum_i \rightarrow (2s+1) \frac{1}{\Delta k} \int d^3k \dots \stackrel{!}{=} \int dE g(E) \dots$$
$$\sim \int dE \sqrt{E} \dots \quad (\text{vgl. 24.2.})$$

d.h. das Integral zählt den Grundzustand $E=0$ ja nicht mit.

→ Beweisidee: Grundzustand wegbilden explizit:

$$\mu_2(T, V, \xi) = (2s+1) \frac{V}{(2\pi)^3} 4\pi \int_0^\infty dk k^2 \ln \left[1 - \xi \exp\left(-\beta \frac{\hbar^2 k^2}{2m}\right) \right]$$
$$+ (2s+1) \ln(1-\xi)$$

Wie bei Fermi-Ges. substituiieren wir, nutzen die
Reihenentwicklung

$$g_{S1/2}(\xi) = -\frac{4}{\pi} \int_0^\infty dx x^2 \ln(1-\xi e^{-x^2}) = \sum_{n=1}^{\infty} \frac{\xi^n}{n^{5/2}}$$

und erhalten:

$$\partial \mathcal{D}(T, V, \xi) = -\frac{(2s+1)}{\lambda^3} V g_{S1/2}(\xi) + (2s+1) \ln(1-\xi)$$

für das großkanonische Potenzial des idealen Bose-Ges.
Wieder können wir die thermische Zustandsfunktion
aufstellen aus

$$\Delta p = -\frac{\partial \mathcal{D}}{\partial V} = \frac{2s+1}{\lambda^3} g_{S1/2}(\xi) - \frac{2s+1}{V} \ln(1-\xi) \longrightarrow$$

und

$$u = \frac{\langle N \rangle}{V} = \frac{2S+1}{\lambda^3} g_{SL}(\xi) + \frac{2S+1}{V} \frac{\xi}{1-\xi}$$

Die latente Wärme zu Staudertheorie erhalten wir aus

$$U = - \frac{\partial}{\partial P} \ln Z \Big|_{S,V} = \dots = \frac{3}{2} kT V \frac{2S+1}{\lambda^3} g_{SL}(\xi)$$

Sehen wir hier nun noch den Dualen ein ergibt sich:

$$U = \frac{3}{2} PV + \frac{3}{2} kT (2S+1) \ln(1-\xi)$$

↑
auch
T-abhängig

↑
Unterschied vom klassischen
idealen Gas und vom Fermi-Gas

7.5.1. Klassischer Grenzfall

Wieder betrachten wir $\xi = e^{-\mu} \ll 1$

$$\langle n_p \rangle = \frac{1}{\exp(\mu(\varepsilon_p - \mu)) - 1} = \frac{1}{\frac{1}{\xi} e^{\mu \varepsilon_p} - 1} \rightarrow \xi e^{-\mu \varepsilon_p} \ll 1$$

klassische Boltzmann-Verteilung

$$u = \frac{\langle N \rangle}{V} = \frac{2s+1}{\lambda^3} g_{1/2} \approx \frac{2s+1}{\lambda^3} \xi + \dots \rightarrow \xi_0 = \frac{u \lambda^3}{2s+1} \quad \text{analog Fermi-Gas}$$

$$\frac{u \lambda^3}{2s+1} = g_{1/2} \approx \xi + \frac{\xi^2}{2^{3/2}} \approx \xi \left(1 + \frac{\xi^2}{2^{3/2}} \right) \rightarrow \xi \approx \xi_0 \left(1 - \frac{\xi^2}{2^{3/2}} \right)$$

\Rightarrow Druck im klassischen Limit:

$$pV = \langle N \rangle kT \left[1 - \frac{u \lambda^3}{4\sqrt{2}(2s+1)} \right]$$

Druveränderung
durch
Quotenkorrektur!

7.5.2. Bose-Einstein Kondensation

Klassischer Fall: große T, kleine Dichten

beachte jetzt: kleine T, große Dichten

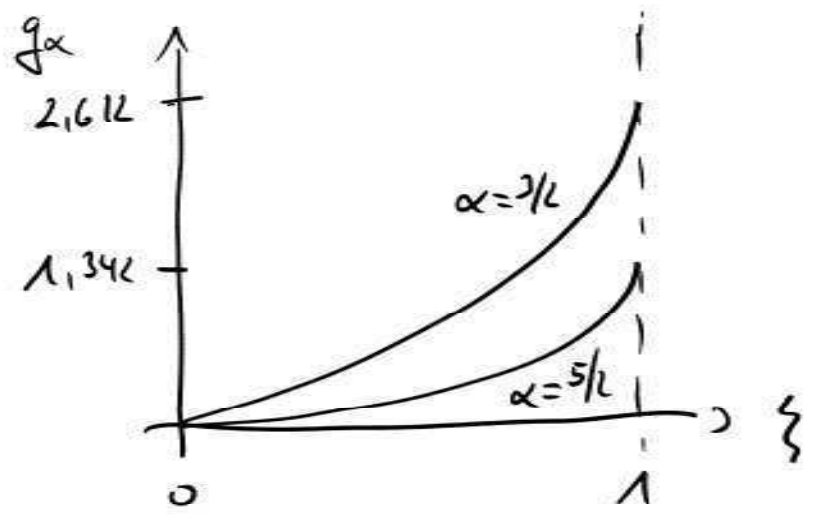
Wegen $n = \frac{\langle N \rangle}{V} = \frac{2s+1}{\lambda^3} g_{3/\lambda}(\xi) + \frac{2s+1}{V} \frac{\xi}{e^{-\xi}}$

wollen wir abschätzen, wie sich $g_{3/\lambda}(\xi)$ verhält
für $-\infty < \mu < 0 \rightarrow 0 < e^{\mu} < 1$.

Im Allgemeinen gilt für

$$g_\alpha(\xi) = \sum_{n=1}^{\infty} \frac{\xi^n}{n^\alpha} \quad (g_{\alpha-1} = \xi \frac{d}{d\xi} g_\alpha)$$

dass sie in $0 \leq \xi \leq 1$ streng monoton wachsen.



Für $\xi \rightarrow 1$ geht g_α in die Riemannsche ξ -Funktion über.

Jetzt sei $\langle N \rangle$ und V fest vorgegeben, d.h. $u = \frac{\langle N \rangle}{V} = \text{const.}$
 $\Rightarrow \lambda^3 \sim \frac{1}{T^{3/2}} \sim \sqrt{g_{3/2}(\xi)}$ $\Rightarrow \xi$ wächst, wenn T sinkt

Betrachte nun die Teilchenzahl des Grundzustandes:

$$n_0 = u - \frac{2\delta+1}{\lambda^3} g_{3/2}(\xi)$$

n_0 wird nur dann wesentlich von Null verschieden sein, wenn die Temperatur sehr klein ist, d.h. $\xi \rightarrow 1$

① Dies folgt zur Bedingung:

$$n > \frac{2s+1}{\lambda^3} g_{3/2}(1)$$

Die kritische Temperatur, ab der ein solcher Zustand erreicht wird ist gegeben durch:

$$\lambda_c^3 = \frac{1}{(2s+1) g_{3/2}(1)}$$

wod. $\lambda_c = \left(\frac{2\pi m}{mkT_c}\right)^{1/2}$ ergibt sich

$$kT_c(n) = \frac{2\pi n^2}{m} \left(\frac{n}{(2s+1) g_{3/2}(1)} \right)^{2/3}$$

Alternativ ergibt sich bei fester Temperatur die
unitäre Teilchendichte

$$n_c(T) = \frac{2S+1}{\lambda^3} g_{3/2}(1) = (2S+1) \left(\frac{\pi k T}{\lambda^3} \right)^{3/2} g_{3/2}(1)$$

Für $T < T_c$ (fester n) bzw. $n > n_c$ (fester T) gilt das
Bohr-Gesetz den Zustand eines

Bohr-Einstein-Maudensatz über

Wegen $n \sim \frac{1}{V} \sim \frac{1}{\Delta r^3} \sim \frac{1}{\lambda^3}$ stellt die
de-Broglie Wellenlänge eine für das Maudensatz
charakteristische Größe dar. \sim Maudensatz setzt
voraus, wenn $\lambda \approx$ mittlerer Teilchenabstand.

Typische Temperaturen, z.B. für ${}^4\text{He}$:

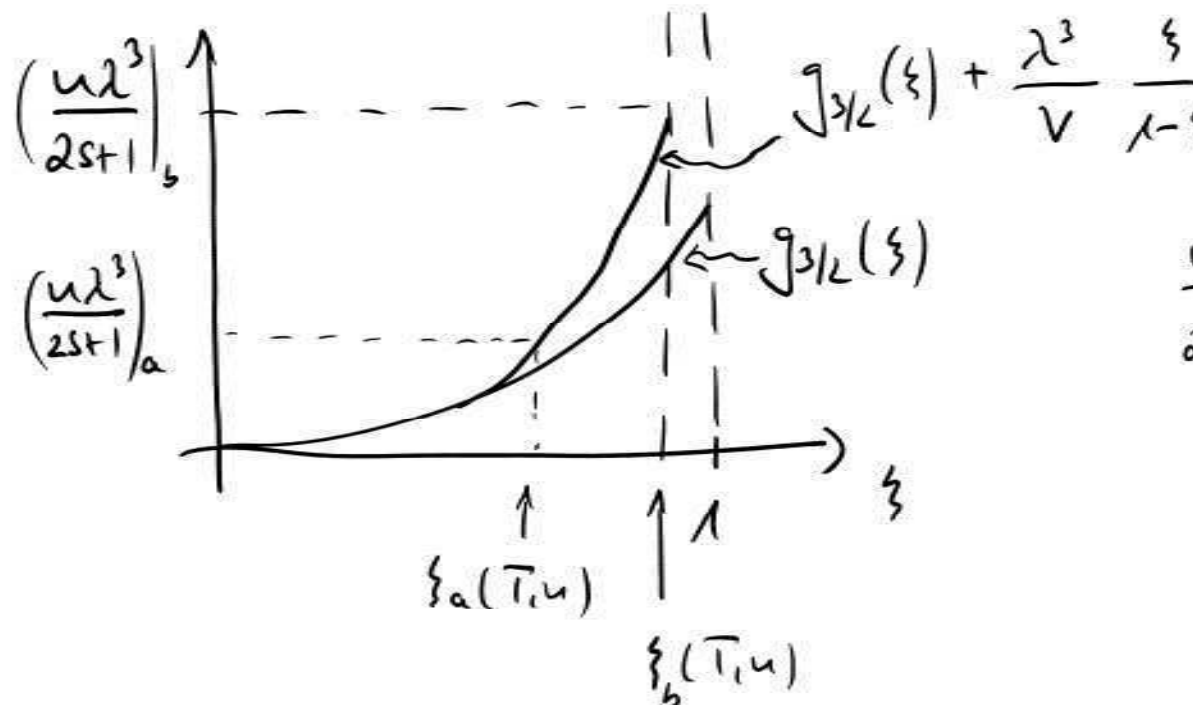
$$\overline{T_c} \approx 3,13 \text{ K}$$

Vergleich mit thinerer wellenmechanischer
Beschreibung des Grundzustandes:

$$kT < \varepsilon_1 - \varepsilon_0 = \varepsilon_1 \sim 10^{-20} \text{ K}$$

→ Bose-Einstein-Kondensation tritt nie früher
ein, d.h. es handelt sich um einen echten
Phasenübergang.

Dies wollen wir genauer betrachten; indem
wir die Funktion $\xi(\bar{T}, u)$ graphisch analysieren:



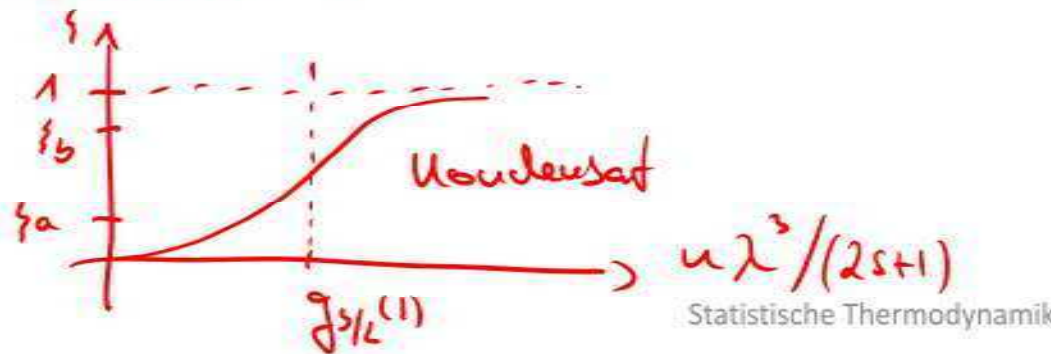
$$\frac{u\lambda^3}{2s+1} = g_{3/L}(\xi) + \frac{\lambda^3}{v} \frac{\xi}{1-\xi}$$

(vgl. S 173)

ξ_a : normale Phase

ξ_b : Bose-Einstein-Kondensat BEK

extremwerte ξ :



Betrachte nun thermodynamischer Kurs $V \rightarrow \infty$
im Monatsabschlussjubiläet:

$$\frac{u\lambda^3}{2s+1} > g_{3/2}(\xi) \Rightarrow \frac{\lambda^3}{V} \frac{\xi}{1-\xi} \text{ muss endgültig liegen} \quad (\text{bei } V \rightarrow \infty)$$

$$\Rightarrow \xi \rightarrow 1$$

$$\xi(T, u) = \begin{cases} \text{Lsg. } \left[\frac{u\lambda^3}{2s+1} = g_{3/2}(\xi) \right] & \text{für } \frac{u\lambda^3}{2s+1} < g_{3/2}(1) \\ 1 & \text{für } \frac{u\lambda^3}{2s+1} \geq g_{3/2}(1) \end{cases} \quad \begin{matrix} \text{wirtschaftl.} \\ \text{Platz} \end{matrix}$$

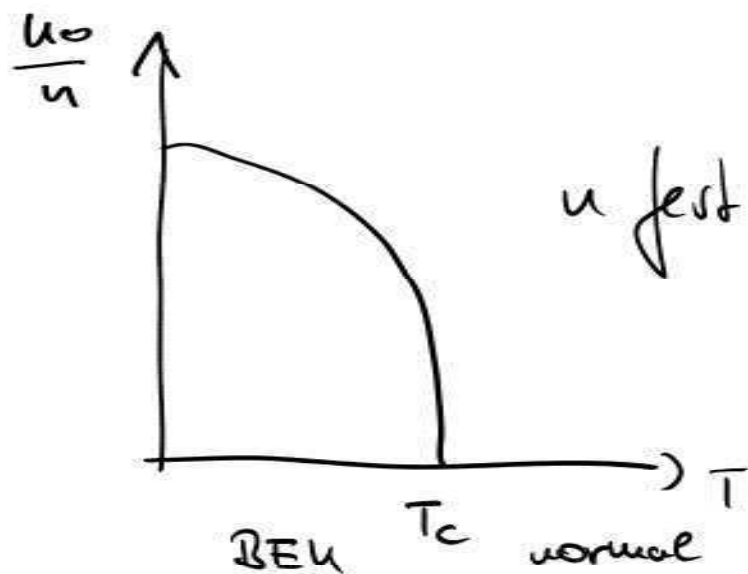
Dies gehen wir ein in

$$\frac{u_0}{u} = 1 - \frac{2s+1}{u\lambda^3} g_{3/2}(\xi) \quad \text{und erhalten} \quad \longrightarrow$$

$$\frac{u_0}{u} = 0 \quad \text{for} \quad \frac{u\lambda^3}{2s+1} < g_{3/2}(1) \quad \text{normale Phase}$$

$$\frac{u_0}{u} \approx 1 - \frac{2s+1}{u\lambda^3} g_{3/2}(1) = 1 - \left(\frac{\lambda_c}{\lambda}\right)^3$$

$$= 1 - \left(\frac{T}{T_c}\right)^{3/2} \quad \text{for} \quad \frac{u\lambda^3}{2s+1} \geq g_{3/2}(1)$$



Phaseübergang bei
Temperatur $T = T_c$



für $0 < T < T_c$ gibt es nur Gewicht der zwei Phasen.

Die Kondensatphase setzt sich aus den N_0 Teilchen zusammen, die sich auf den niedrigsten Energieniveaus befinden

$$N_0 = N \left(1 - \left(\frac{T}{T_c} \right)^{3/2} \right),$$

die gasförmige Phase aus den Restanteile N_{rest}

$$N_{\text{rest}} = N - N_0 = N \left(\frac{T}{T_c} \right)^{3/2}$$

Die N_{rest} Teilchen verteilen sich sehr elau über alle angelegten Energieniveaus.

7.5.3. Isotherme und Entropie des idealen Bose-Gases

Unglatte Änderung von ν_0 bei $T=T_c \rightarrow$

Unglatte Änderung in thermodynamischen Größen
und thermodynamischen PotentiaLEN.

Betrachte zunächst thermische Zustandsfunktion:

$$P_p = \frac{2s+1}{\lambda^3} g_{5/2}(\xi) - \underbrace{\frac{2s+1}{V} \mu(1-\xi)}$$

verschwindet im thermodynamischen Grenzfall
 $V \rightarrow \infty$, da $\mu(1-\xi)$ entweder endlich
(vom Nullpunkt) oder $\rightarrow 0$ im
Unendlichen geblieben.

Dann erhalten wir:

$$P_p = \begin{cases} \frac{2s+1}{\lambda^3} g_{5/2}(\xi) & \text{für } u < u_c \text{ und } T > T_c \\ \frac{2s+1}{\lambda^3} g_{5/2}(1) & \text{für } u > u_c \text{ oder } T < T_c \end{cases}$$

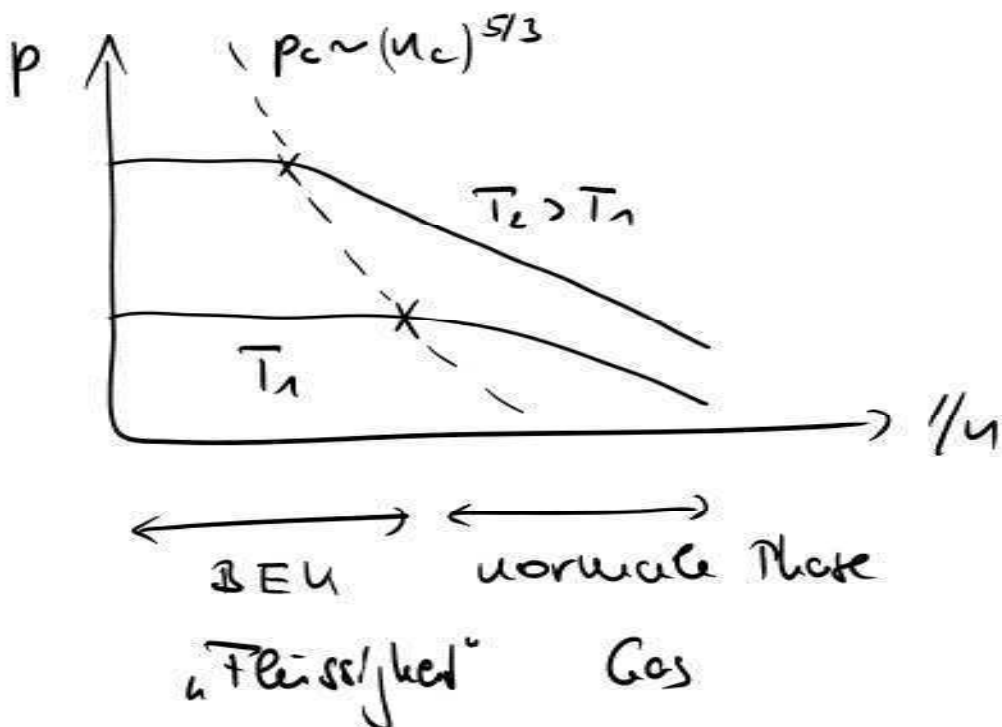
→ normale Photo : $p(T, u) \stackrel{\wedge}{=} \text{Gas}$
 BEU : $p(T) \stackrel{\wedge}{=} \text{Flüssigkeit}$

Aus $P_c = \frac{2s+1}{\lambda^3} g_{5/2}(1)$ und $u_c = \frac{2s+1}{\lambda^3} g_{5/2}(1) = \left(\frac{m}{2\pi k_B T}\right)^{3/2} (2s+1) g_{5/2}(1)$

folgt:

$$P_c = \left(\frac{m}{2\pi k_B T}\right)^{3/2} \frac{(2s+1)}{\lambda^{5/2}} g_{5/2}(1) = \left(\frac{m}{2\pi k_B T}\right)^{3/2} (2s+1) g_{5/2}(1) \cdot \left(\frac{u_c}{(2s+1) g_{5/2}(1)}\right)^{5/3} \left(\frac{2\pi k_B T}{m}\right)^{5/2}$$

$$P_c = \frac{2\pi k_B T}{m} \frac{(2s+1) g_{5/2}(1)}{\left[(2s+1) g_{5/2}(1)\right]^{5/3}} \cdot (u_c)^{5/3}$$



Die Euthopie des Dose-Gases findet man aus

$$\mathcal{S} = -\frac{\partial \Omega}{\partial T} \Big|_{V, \mu} = \frac{\partial PV}{\partial T} \Big|_{V, \mu} = \begin{cases} Nk \left(\frac{5}{2} \frac{2s+1}{u\lambda^3} g_{SL}(s) - \ln s \right) & u < u_c \\ Nk \left(\frac{5}{2} \frac{2s+1}{u\lambda^3} g_{SL}(1) \right) & u > u_c \end{cases}$$

7.6. Das Photonengas

Bisher: N kann unabhängig von Temperatur und Volumen fest vorgegeben werden (KE) bzw. über die Wahl des chemischen Potentials reguliert werden (GKE).

Für Photonen gilt das nicht mehr. Diese können in beliebiger Zahl von Strahlerfolchen emittiert oder absorbiert werden $\rightarrow N$ ist nicht erhalten. Im Gleichgewicht stellt sich das System so ein, dass die freie Energie minimiert wird, d.h.

$$\mu = \frac{\partial F}{\partial N} = 0$$

Weitere Eigenschaften von Photonen:

- $\epsilon_p = c_p = \text{tief}$, d.h. Photonen sind masselos
- $S=1$ (Bosonen), aber es gibt nur zw. Fluktuationsmöglichkeiten für den Spin, nämlich parallel oder antiparallel zur Ausbreitungsrichtung. Dazu entsprechen rechts- bzw. Linksdrehende Polarisat., d.h. die Polarisat. ist immer transversal zur Ausbreitungsrichtung.
→ Entartungsfaktor nicht 2^S+1 sondern 2.
- Wechselwirkung ist in sehr guter Näherung vernachlässigbar → reales Beispiel für ideales Quantengas
- exakte Beschreibung: QED

- Einwirkung: Messst des elektromagnetischen Feldes im Vakuum!

$$\frac{1}{c^2} \frac{\partial^2 \vec{E}}{\partial t^2} - \vec{\nabla}^2 \vec{E} = 0 \quad (\text{Maxwell})$$

Lösung: $\vec{E}(\vec{r},t) = E_0 e^{-i\omega t + i\vec{k}\vec{r}}$ ebene Welle mit

$$\frac{\omega^2}{c^2} = \vec{k}^2 \quad \text{bzw.} \quad \omega = c|\vec{k}|$$

Außerdem: $\vec{\nabla} \cdot \vec{E} = 0 \quad (\text{Maxwell})$

$$\Rightarrow \vec{k} \cdot \vec{E} = 0 \quad , \text{d.h. } \vec{E} \perp \vec{k} \text{ transversal}$$

- Quantenmechanisch wird ein Photon mit Energie

$$\hbar\omega = \hbar c |\vec{k}| = cp \text{ als Anregungsenergie eines}$$

quantenmechanischen harmonischen Oszillators verstanden ...

7.6.1. Kanonische Zustandssumme und Potentiale

Hamilton-Operator: $\hat{H} = \sum_{p, \lambda} \varepsilon_p \hat{u}_{p,\lambda} = \sum_{p, \lambda} \varepsilon_p \hat{a}_{p,\lambda}^\dagger \hat{a}_{p,\lambda}$

Kanonische Zustandssumme:

$$\begin{aligned} Z &= \text{Sp } e^{-\beta \hat{H}} = \sum_{\{u_{p,\lambda}\}} e^{-\beta \sum_{p,\lambda} \varepsilon_p u_{p,\lambda}} \\ &= \prod_{\alpha=1}^2 \sum_{u_1} \dots \sum_{u_p} \prod_p e^{-\beta \varepsilon_p u_{p,\lambda}} \\ &= \left(\sum_{u_1} e^{-\beta \varepsilon_1 u_{1,1}} \right) \left(\sum_{u_1} e^{-\beta \varepsilon_1 u_{1,2}} \right) \\ &\quad \left(\sum_{u_2} e^{-\beta \varepsilon_2 u_{2,1}} \right) \left(\sum_{u_2} e^{-\beta \varepsilon_2 u_{2,2}} \right) \dots \\ &= \left(\prod_p \sum_u e^{-\beta \varepsilon_p u_p} \right)^2 \end{aligned}$$

$$Z = \left(\frac{1}{\beta} \frac{1}{1-e^{-\beta \varepsilon_p}} \right)^V \quad \text{wobei } \vec{p} \neq 0 \leftrightarrow \varepsilon_p \neq 0$$

Berechne daraus nun die Free Energie:

$$\begin{aligned} F(T, V) &= -kT \ln Z = \frac{2}{\beta} \sum_p C_p (1 - e^{-\beta \varepsilon_p}) \\ &= \frac{2}{\beta} \frac{V}{(2\pi\hbar c)^3} \int d^3 p \, C_p (1 - e^{-\beta \varepsilon_p}) \quad x := \beta \varepsilon_p = \beta c p \\ &= \frac{V}{\beta^4} \frac{1}{\pi^2(\hbar c)^3} \underbrace{\int_0^\infty dx \, x^2 \, C_x (1 - e^{-x})}_{= -2 \zeta(4) = -\frac{\pi^4}{45}} \end{aligned}$$

$$F(T, V) = - \frac{V(U\Gamma)^4}{(\hbar c)^3} \frac{\pi^4}{45} = - \frac{4\pi}{3c} V T^4$$

$$\text{mit } \Gamma = \frac{\pi^4 k^4}{60 \hbar^3 c^2} = 5,7 \cdot 10^{-8} \frac{J}{m^2 K^4}$$

Sefan-Boltzman-Konstante

Daraus erhält man die Entropie

$$S = -\left(\frac{\partial F}{\partial T}\right)_V = \frac{16\pi}{3c} V T^3$$

sowie die innere Energie

$$E = F + TS = \frac{4\pi}{c} V T^4$$

kalorische Zustands-
gleichung

und den Druck

"Stefan-Boltzmann-
Gesetz"

$$P = -\left(\frac{\partial F}{\partial V}\right)_T = \frac{4\pi}{3c} T^4$$

thermische Zustands-
gleichung

sowie die Wärmeleitfähigkeit

$$C_V = T \left(\frac{\partial S}{\partial T} \right)_V = \frac{16\pi}{c} V T^3$$

7.6.2. Das Planck'sche Strahlungsgesetz

mittlere Besetzungszahl:

$$\langle u \rangle = \frac{1}{e^{\epsilon_p/kT} - 1} \quad (\text{Barouen}, \mu=0)$$

→ Zahl der besetzten Zustände im Element d^3p :

$$\langle u \rangle \frac{2V}{(2\pi k)^3} d^3p \quad (\text{Faktor 2 wegen Faktord 2})$$

$$= \langle u \rangle \frac{V}{\pi^2 \hbar^3} dp p^2 \quad \epsilon = t\omega = tck = cp$$

$$= \frac{V}{\pi^2 c^3} \frac{\omega^2}{\exp(\epsilon\omega/kT) - 1} d\omega$$

≈ Zahl der Zustände im Frequenzbereich $d\omega$



\Rightarrow spezifische Energie dichte

$$u(\omega) = \frac{t\omega \cdot \# \text{ Zustände in } \omega}{\text{Volumen} \cdot \text{dw}}$$

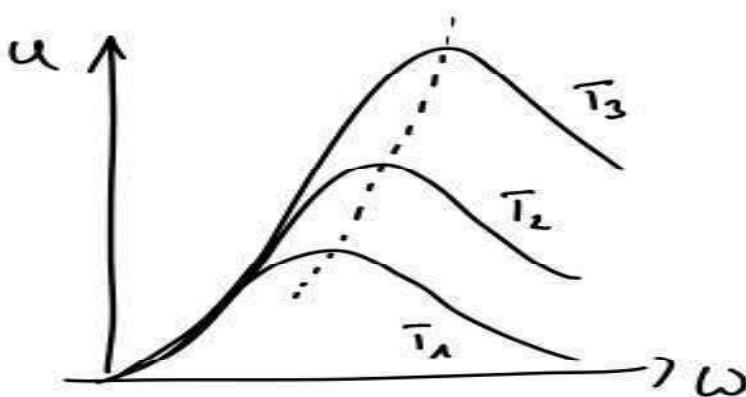
$$\rightarrow u(\omega) = \frac{t}{\pi^2 c^3} \frac{\omega^3}{e^{t\omega/kT} - 1}$$

Planck'sches
Strahlungsgesetz

Bemerkungen:

- Grundvoraussetzung: Hamilton-Operator des harmonischen Oszillators
 \sim Welle der Quantentheorie
- $\langle u \rangle$ divergiert für $p \rightarrow 0$, da dann $\varepsilon \rightarrow 0$, das ist aber nicht relevant, da $\# \text{ Zustände} \sim \langle u \rangle \omega^2 \rightarrow 0$

- Maximum von $u(\omega)$ hängt von \bar{T} ab:



$$\bar{T}_3 > \bar{T}_2 > \bar{T}_1$$

$$\hbar\omega_{\max} = 2.82 \text{ k}\bar{T}$$

- Grenzfälle:

(i) $\hbar\omega \ll \text{k}\bar{T} \rightarrow u(\omega) = \frac{\text{k}\bar{T}\omega^2}{\pi^2 c^3}$ Rayleigh-Jeans Gesetz

$\hat{=}$ Wisselnder Grenzfall, da dann thermische Energie $\text{k}\bar{T}$ viel größer als Energieabstände im QM-Oszillator.

$$(ii) \quad \hbar\omega \gg k\bar{T} \rightarrow u(\omega) = \frac{\hbar\omega^3}{\pi^2 c^3} e^{-\hbar\omega/k\bar{T}} \quad \text{Wien'sches Schwingungsspektrum}$$

- Praktische Anwendung des Planck-Gesetzes:

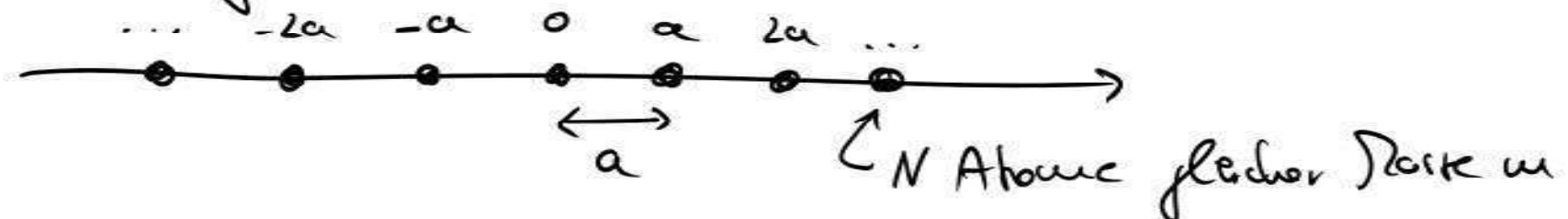
Kosmische Hintergrundstrahlung

- Entstand etwa 300 000 Jahre nach Urknall nachdem Elektronen an Atome banden \Rightarrow Weltraum wird durchsichtig
- Ursprünglich: $\bar{T} \approx 3000 \text{ K}$
 \rightarrow rotverschoben durch Doppler-Effekt des ausdehnenden Universums auf
 $\bar{T} = 2,73 \text{ K}$

7.7. Das Phononen-Gas in Festkörpern

7.7.1 Hamilton-Operator

Einfaches eindimensionales Modell: Linieare Kette
 N schwingende, miteinander wechselwirkende Atome



- jedes Atom ist mit seinen Nachbarn durch eine Federrigide $\propto \Delta x$ verbunden \Rightarrow Auslenkung eines Atoms führt zu Reaktion aller anderen Atome
- generalisierte Koordinaten $U(t)$ messen Auslenkung aus den jeweiligen Ruhelagen



kinetische Energie: $\frac{1}{2} m \dot{u}_n^2$

potentielle Energie: $\frac{1}{2} f \cdot (u_n - u_{n-1})^2$

$$\rightarrow H = \sum_{n=1}^N \left(\frac{m}{2} \dot{u}_n^2 + \frac{1}{2} f \cdot (u_n - u_{n-1})^2 \right) + \omega_0$$

\uparrow
pot. Energie in
GleichgewichtsP.

Folge jetzt konkrete Trafo

$$u_n = \frac{1}{\sqrt{Nm}} \sum_k e^{ikau} Q_k \quad \dot{u}_n = \sqrt{\frac{m}{N}} \sum_k e^{-ikau} P_k$$

auf die Normalkoordinaten Q_k, P_k durch und erhält

$$H = \omega_0 + \sum_k \frac{1}{2} (P_k P_{-k} + \omega_k^2 Q_k Q_{-k}) \quad \text{mit } \omega_k = 2 \sqrt{\frac{f}{m}} \sin\left(\frac{k\pi}{2}\right)$$

Eigenfrequenzen des
Systems

- Bemerkungen:
- zu den N Eigenfrequenzen ω_n des Systems gibt es N Wellenzahlketten mit $|k_n| \leq \pi/a$
 - Q_n und P_n können als quantenmechanische Operatoren definiert werden mit $Q_n = Q_n^+$ und $P_n = P_n^+$

$$\sim [Q_n, P_{n'}] = i\hbar \delta_{nn'}, \quad [Q_n, Q_{n'}] = [P_n, P_{n'}] = 0$$

Führt jetzt Erzeuger und Verstärker ein,

$$Q_n = \sqrt{\frac{\hbar}{2m_n}} (a_n + a_n^+) \quad P_n = -i\sqrt{\frac{\hbar m_n}{2}} (a_n - a_n^+)$$

erhält man:

$$H = \omega_0 + \sum_n \hbar \omega_n (\hat{a}_n^+ a_n + \text{c.c.}) \quad \text{mit } u_n = a_n^+ a_n$$

Die Ausgaben von H werden als Phononen bezeichnet.

Im Festkörper kann ein Atom nicht nur in eine Richtung, sondern in drei Richtungen schwingen \rightarrow in jeder Wellenzahl \vec{k} gibt es drei Schwingungsarten, eine Longitudinale und zwei transversale Noden.

$$\Rightarrow H = \omega_0 + \sum_{\vec{k}, \lambda} h \omega_{\vec{k}, \lambda} (u_{\vec{k}, \lambda} + l_{\vec{k}}) =: \omega_0 + \sum_{\vec{k}} h \omega_{\vec{k}} (u_{\vec{k}} + l_{\vec{k}})$$

\sum dl. $\vec{k} = (\vec{k}, \lambda)$

\leadsto $3N$ Schwingungsfreiheitsgrade
in Gitter mit N Atomen

7.7.2. Thermodynamische Eigenschaften

Die freie Energie kannen wir analog zu den Photonen berechnen zu:

$$F = -kT \ln Z = \omega_0 + \sum_k \left(\frac{\hbar \omega_k}{2} + kT \ln \left(1 - e^{-\hbar \omega_k / kT} \right) \right)$$

Die innere Energie ergibt sich aus:

$$\begin{aligned} I &= F + TS = F - T \left(\frac{\partial F}{\partial T} \right)_V \\ &= \omega_0 + \sum_k \frac{\hbar \omega_k}{2} + \sum_k \hbar \omega_k \frac{1}{e^{\hbar \omega_k / kT} - 1} \\ &= \omega_0 + E_0 + \int dE g(E) \frac{\hbar \omega}{e^{\hbar \omega / kT} - 1} \end{aligned} \tag{1}$$

mit Zustandsdichte $g(E)$ und Nullpunktenergie E_0

Die (normierte) Zustandsdichte ist gegeben durch

$$g(E) = \frac{1}{3N} \sum_k \delta(\omega - \omega_k) \quad \text{so dass } \int d\omega g(\omega) = 1$$

($3N$ Eigenfrequenzen ω_k)

Betrachte nun kleine k , dann ist

$\omega_k \sim \sin(k) \sim k$ und wir erhalten

Coaxial: $\omega_{k,e} = c_e k$

2x transversal $\omega_{k,t} = c_t k$ mit Schallgeschwindigkeiten
 c_e und c_t

$$\begin{aligned} \sim g(E) &= \frac{1}{3N} \frac{V}{(2\pi)^3} \int dk^3 \left[\delta(\omega - c_e k) + 2 \delta(\omega - c_t k) \right] \\ &= \frac{V}{3N} \frac{1}{2\pi^2} \int dk k^2 \left[\frac{1}{c_e} \delta(\omega/c_e - k) + \frac{1}{c_t} \delta(\omega/c_t - k) \right] \end{aligned}$$



$$g(E) = \frac{V}{N} \frac{\omega^2}{6\pi^2} \left(\frac{1}{C_e^3} + \frac{2}{C_t^3} \right) \quad \text{d.h. } \sim \omega^2 \quad (2)$$

Nun berechnen wir $E(T)$:

(i) tiefe Temperaturen:

~ große ω_n in (1) sind unterdrückt

~ nur kleine ω treten bei ~ beachte (2)

Integration Befehl:

$$\bar{E} = \omega_0 + E_0 + \frac{V\pi^2 k^4}{30 t^3} \left(\frac{1}{C_e^3} + \frac{2}{C_t^3} \right) T^4$$

(ii) große Temperaturen: $(e^{h\omega/kT} - 1)^{-1} \approx kT/h\omega$

$$\Rightarrow \bar{E} = \omega_0 + E_0 + 3NkT$$

$$\text{w.s. } \int d\omega g(\omega) = 1$$

Daraus können wir die Wärmekapazität gewinnen:

$$(i) C_v = \left(\frac{\partial E}{\partial T} \right)_{V,N} \sim T^3 \quad \text{Debye - Gesetz}$$

$$(ii) C_v \approx 3Nk \quad \text{Dulong - Petit - Gesetz}$$

Um zwischen diesen beiden Grenzbereichen zu interpolieren hat Debye das Modell

$$g_D(\omega) = \frac{3\omega^2}{\omega_D^3} \Theta(\omega_D - \omega)$$

$$\frac{1}{\omega_D^3} = \frac{1}{18\pi^2} \frac{V}{N} \left(\frac{1}{C_e^3} + \frac{2}{C_b^3} \right)$$

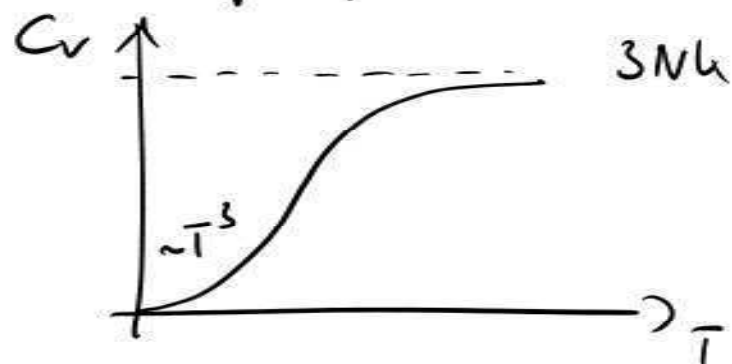
Ergebnis: Es extrapoliert den Niedrigfrequenzbereich
(2) auf alle Frequenzbereiche und erfüllt die
Normierungsbedingung $\int d\omega g(\omega) = 1$

Flussfeld in $E(T)$ ergibt sich

$$E = \omega_0 + E_0 + 3NkT \Im\left(\frac{e^{\omega_0}}{e^T - 1}\right)$$

$$\text{mit } \Im(x) = \frac{3}{x^2} \int_0^x \frac{dy y^3}{e^y - 1}$$

Für die spezifische Wärme erhält man



\cong Wärmekapazität
eines Isolators

Vergleich der Debye-Näherung mit Realität:



- oft sehr gute Näherung!
 - reale Abweichungen durch $\omega_n \times k$ für bestimmte Besetzung von k
- „van Hove singuläritäten“ 205

8. Phasenübergänge

8.1. Allgemeine Begriffe

Phasenübergänge gehören zu den wichtigsten und interessantesten Phänomene der statistischen Physik. Im Folgenden wollen wir einige der zentralen Begriffe dieses Feldes diskutieren.

Phasen: Zustandsformen der Materie, die voneinander durch sogenannte Ordnungsparameter unterschieden werden können.



Ordnungsparameter sind z.B.

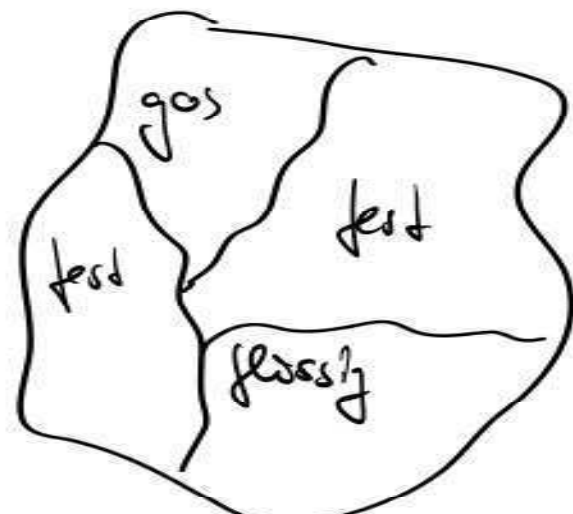
- (1) Dichte : Gas \leftrightarrow Flüssigkeit \leftrightarrow Festkörper
- (2) Projektivität: Polymerat \leftrightarrow Faserwerkstoff
- (3) Elektrische Leitfähigkeit: Isolator \leftrightarrow Metall \leftrightarrow Ionenleiter
- (4) Untergliedstruktur

Übergänge zwischen den Phasen werden charakterisiert durch das Verhalten des Ordnungsparameters im durch äußere Parameter wie Druck, Temperatur oder chemischen Potenzial gesteuerten Übergangsbereich zwischen den Phasen.

8.1.1. Gibbs'sche Phasenregel

Betrachten wir uns an einem Beispiel orientieren
wollen wir die Gibbs'sche Phasenregel ableiten.

Betrachten dazu n chemisch verschiedene Stoffe,
die sich in r Platten befinden können. Fest seien
die Teilchenzahlen $N^{(1)}, N^{(2)}$ der verschiedenen Stoffe, nicht
aber deren Verteilung in den r Platten.



Zur Gleichgewicht g. et:

T, p und μ müssen überall für
alle Komponenten gleich sein
(vgl. Kapitel 3)



$$\rightarrow \bar{T}_1 = \bar{T}_2 = \dots = \bar{T}_r = \bar{T}$$

$$p_1 = p_2 = \dots = p_r = p$$

→ verbleibende Freiheitsgrade des Systems

$$\bar{T}, p, N_1^{(u)} \dots N_r^{(u)}, \dots, N_1^{(n)} \dots N_r^{(n)} \quad \left. \right\} 2 + u \cdot r$$

Diese sind aber nicht unabhängig.

Das System wird vollständig zerstrieben durch

$$T, p, \mu_i^{(u)} \text{ und } i=1..r \text{ und } b=1..n$$

Jede intensive Variable $\mu_i^{(u)}$ hängt nicht von den (extensiven) Teilchenzahlen, sondern von den (intensiven) Konzentrationen $c_i^{(u)}$ ab.



Für diese gilt:

$$c_i^{(u)} = \frac{N_i^{(u)}}{N_i} ; \sum_{\nu=1}^u c_i^{(\nu)} = 1 \quad \text{in jeder Phase } i$$

d.h. wir erhalten r Nebenbedingungen bzw
Obergang von $N_i^{(u)}$ zu $\mu_i^{(u)}$

Zusätzlich gelten im Gleichgewicht:

$$\begin{array}{c} \mu_1^{(1)} = \dots = \mu_r^{(1)} \\ \vdots \\ \mu_1^{(u)} = \dots = \mu_r^{(u)} \end{array} \quad \left. \right\} u(r-1) \text{ Bedingungen}$$

⇒

Zahl der Freiheitsgrade $\int = 2 + u r - r - u(r-1)$

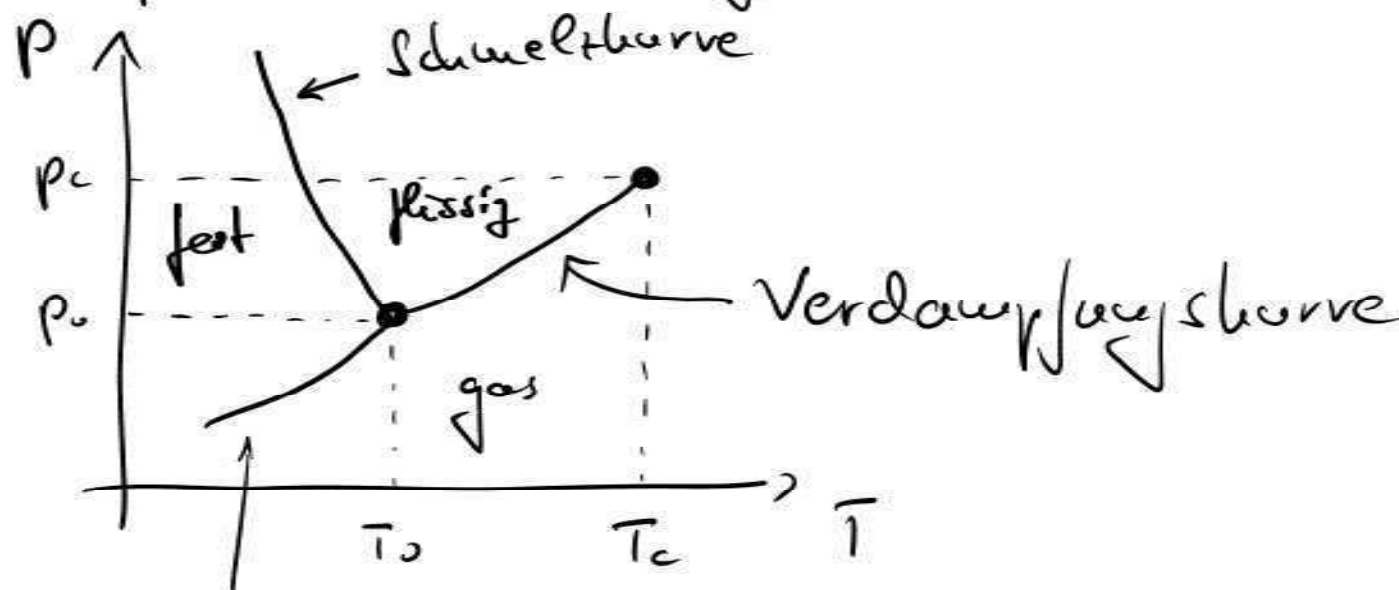


→

$$f = 2 + n - r$$

Gibbs'sche
Phasenregel

Beispiel: Phasendiagramm von Wasser



Wasser ist eukalyptisch $\rightarrow n=1 \rightarrow f=3-r$

- Auf den Übergangskurven zwischen zwei Phasen (Schmelzen, Verdampfen, Sublimation) gilt: $f = 3 - 2 = 1$, d.h. bei externer Parameter (Druck oder Temperatur) ist noch frei.
- Innerhalb einer Phase gilt $f = 3 - 1 = 2$, d.h. Druck und Temperatur sind fest, alle μ_i^∞ festgelegt
- Der Tripelpunkt (p_0, T_0) sind drei Phasen im Gleichgewicht, $f = 0$
- Der kritische Punkt (p_c, T_c) ist ein Spezialfall, dort treffen sich die flüssige Phase, die gasförmige, und

eine Region in der nicht mehr zwischen Flüssig und gasförmig unterschieden werden kann.

8.1.2 Dampfdruck-Kurve (Clausius-Clapeyron)

Betrachte Übergang zwischen Flüssigkeit (f) und Gas (g) in einem Bikomponentigen System.

Es gilt $\mu_f(T, p) = \mu_g(T, p)$

auf der Übergangskurve $p_o(T)$.

Da sich N entlang der Kurve nicht ändert gilt
für die freie Enthalpie $G(T, p, N)$:

$$dG = -SdT + Vdp = N d\mu$$



$$\Rightarrow -S_f dT + V_f dp = -S_g dT + V_g dp$$

$$\rightarrow \frac{dp}{dT} = \frac{S_g - S_f}{V_g - V_f} \quad \text{auf der Kurve } p_0(T)$$

Das ist die Clapeyron - Gleichung.

- flüssig \rightarrow gasförmig : $\Delta S = S_g - S_f > 0 \quad \Delta V = V_g - V_f > 0 \quad \left\{ \frac{dp}{dT} > 0 \right.$

- fest \rightarrow flüssig : $\Delta S > 0$

meist: $\Delta V > 0$

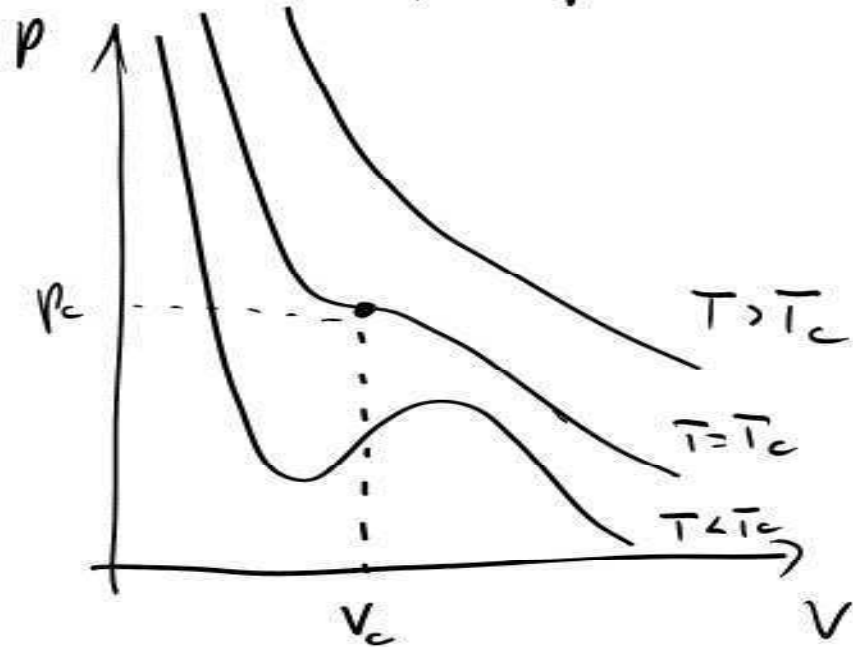
aber: $\Delta V < 0$ bei Wasser: Ausnahme

$\Rightarrow \frac{dp}{dT} < 0$ im Diagramm in Kap. 8.1.1.

8.2. Ordnungen von Phasenübergängen

Wir betrachten zunächst nochmals das van-der-Waals-Gas aus Kapitel 7.1.

$$\left(p + \frac{a}{v^2}\right)(v - b) = NkT$$



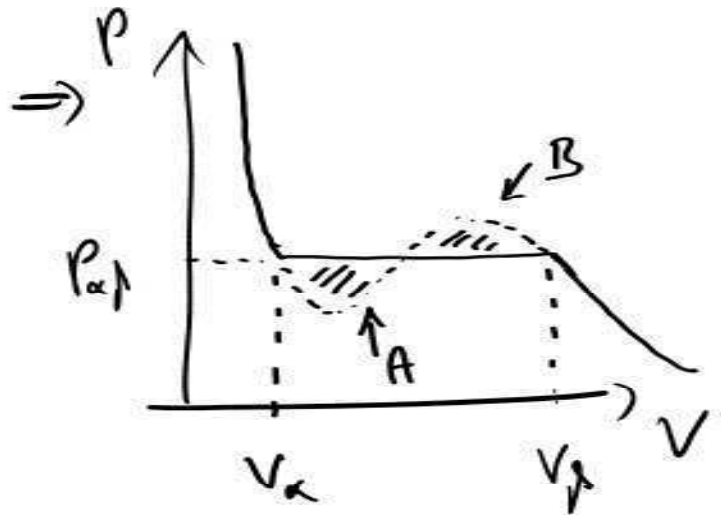
für $T < T_c$ gibt es
ein Gebiet mit
 $\frac{\partial p}{\partial v} > 0 \rightarrow$ instabile



Bei der Ableitung der Zustandsgleichung sind wir von einem homogenen Zustand des Gases ausgegangen. Tatsächlich handelt es sich hier aber um ein zwei-Phasen-Gebiet, in dem Flüssigkeit und Gas aufeinander koexistieren.

→ Modifizierung der Isothermen nötig!

Aus $\mu_s(T, p) = \mu_g(T, p)$ (vgl. §.1) wissen wir, dass in einem solchen Gebiet der Druck nur von der Temperatur und damit nicht vom Volumen abhängt. \Rightarrow horizontale Isothermen im zwei-Phasen-Gebiet.



$$\mu_f(T, p_{\alpha\beta}) = \mu_g(T, p_{\alpha\beta})$$

an V_α : alle N flüssig

an V_β : alle N gasförmig

$$\rightarrow G_\alpha(T, p_{\alpha\beta}) = G_\beta(T, p_{\alpha\beta}) \quad \text{free Enthalpie}$$

$$\begin{aligned} \Rightarrow T_\alpha - T_\beta &= -p_{\alpha\beta}V_\alpha + p_{\alpha\beta}V_\beta \\ &= p_{\alpha\beta}(V_\beta - V_\alpha) \end{aligned} \quad \left(\begin{array}{l} T = -pV + G \\ \text{vgl. Kap. C.3} \end{array} \right)$$



Aus der ursprünglichen van-der-Waals-Kurve

erhält man mit $dF = -pdV$:

$$\overline{f}_\alpha - \overline{f}_p = - \int_{V_p}^{V_\alpha} pdV = \int_{V_\alpha}^{V_D} pdV \quad \text{mit } p(v) \text{ aus}$$

van-der-Waals

$$\Rightarrow p_{\alpha\beta} (V_p - V_\alpha) = \int_{V_\alpha}^{V_D} pdV$$

$$\Rightarrow \boxed{\text{Fläche A} = \text{Fläche B}}$$

Das ist die sogenannte Maxwell-Konstruktion,
aus der sich die Lge von $p_{\alpha\beta}$ ausdrückt
bestimmen lässt.

Bemerkung:

- Wenn kann zeigen, dass endlang der Kontaktstellen bei p_{atm} die freie Energie minimal ist. \rightarrow stabile
- Das zwei-Phasengesetz führt eine Wärmezufuhr ausschließlich dazu, dass Flüssigkeit in Gas verwandelt wird, d.h. um überwinden der attraktiven Wechselwirkungskräfte zwischen den Teilchen
 \sim „Umwandlungsarbeit bzw. Potentielle Wärme“
- Durch die Umwandlung steigt die Entropie, d.h. $S_g - S_f > 0$ und das Volumen $V_g - V_f > 0$
(vgl. Clausius-Clapeyron)

Aus der freien Fuchselpie erhält man S, V über:

$$S = -\left(\frac{\partial G}{\partial T}\right)_p, \quad V = \left(\frac{\partial G}{\partial p}\right)_T$$

⇒ Da S und V unabhängig auf der Phasengrenze im p-T-Diagramm sind auch die ersten Ableitungen der freien Fuchselpie G unabhängig!

Für solchen Phasenübergang nennt man

Phasenübergang 1. Ordnung

$\frac{\partial}{\partial T}$

Phasenübergang 2. Ordnung

Geht vor, wenn sich zwar S und V stetig ändern, aber deren Ableitungen nicht.
Dies sind die Response-Funktionalen

$$C_p = T \left(\frac{\partial S}{\partial T} \right)_p = - T \left(\frac{\partial^2 G}{\partial T^2} \right)_p \quad \text{spez. Wärme}$$

$$\kappa_T = - \frac{1}{v} \left(\frac{\partial v}{\partial p} \right)_T = - \frac{1}{v} \left(\frac{\partial^2 G}{\partial p^2} \right)_T \quad \begin{array}{l} \text{isotherme} \\ \text{Kompressibilität} \end{array}$$

Ein van-der-Waals Gas findet ein solcher
Übergang am kritischen Punkt $\bar{T}_c, \bar{p}_c, \bar{V}_c$ statt.

Betrachte z.B. isotherme Kompressibilität:

$$(K_T)^{-1} = -V \left(\frac{\partial p}{\partial V} \right)_T = n \left(\frac{\partial p}{\partial n} \right)_T \quad n = \frac{N}{V}, \quad N = \text{const.}$$

Nach der van-der-Waals-Gleichung folgt:

$$n \frac{\partial p}{\partial n} = n \frac{\partial}{\partial n} \left\{ \frac{n k T}{V - b} - \frac{a}{V^2} \right\} \quad b = N \cdot V_{\text{wirkliche}} \\ = n \frac{\partial}{\partial n} \left\{ \frac{n k T}{1 - nb_0} - n^2 a_0 \right\} \quad =: N \cdot b_0$$

$$a =: N^2 \cdot a_0 \quad \text{vgl. S.137}$$

$$= \frac{n k T}{1 - nb_0} + \frac{n^2 b_0 k T}{(1 - nb_0)^2} - 2n^2 a_0$$

$$= \frac{n k T}{(1 - nb_0)^2} - 2n^2 a_0$$

An (T_c, p_c) gilt (vgl. Kap. 7.1) : $u_c = \frac{N}{V_c}$

$$p_c = \frac{a}{3V_c^2} = \frac{ab}{V_c^3} \rightarrow p_c = \frac{a_0 u_c^2}{3} = \frac{a_0 b_0 u_c^3}{3} \rightarrow u_c = \frac{1}{3b_0}$$

$$\bar{T}_c = \frac{3V_c - b}{Nk} p_c = \frac{P}{2\pi} \frac{a_0}{b_0} \frac{1}{k}$$

Für u_c ergibt sich dann: $(\bar{T} \geq \bar{T}_c)$

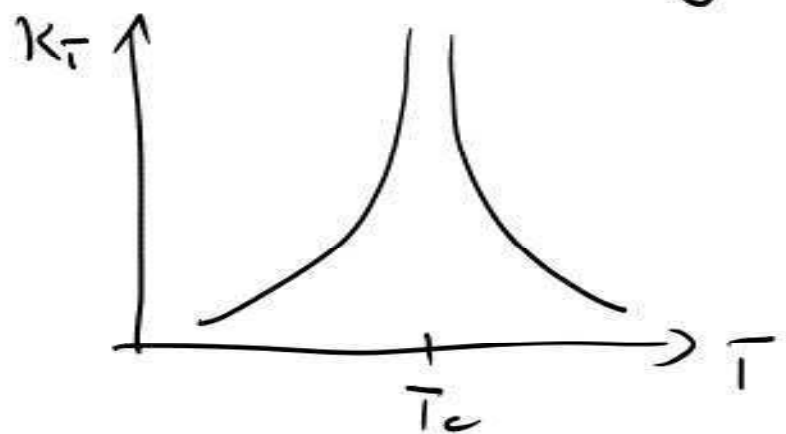
$$(K_{\bar{T}})^{-1} = u_c \frac{\partial p}{\partial u} \Big|_{u_c = \frac{1}{3b_0}} = \frac{1}{3b_0} \left(\frac{9}{4} k \bar{T} - \frac{2}{3} \frac{a_0}{b_0} \right)$$

$$= \frac{3}{4} \frac{k}{b_0} (\bar{T} - \bar{T}_c)$$

d.h.

$K_{\bar{T}} = \frac{3}{4} \frac{k}{b_0} (\bar{T} - \bar{T}_c)^{\gamma}$	$\text{mit } \gamma = 1$
--	--------------------------

Die Größe γ wird als „kritischer Exponent“ bezeichnet. Solche Größen sind charakteristisch für Phasenübergänge zweiter Ordnung.



Wir finden also, dass K_T an T_c divergiert und damit unstetig ist, $K_T \sim |T - T_c|^{-\gamma}$

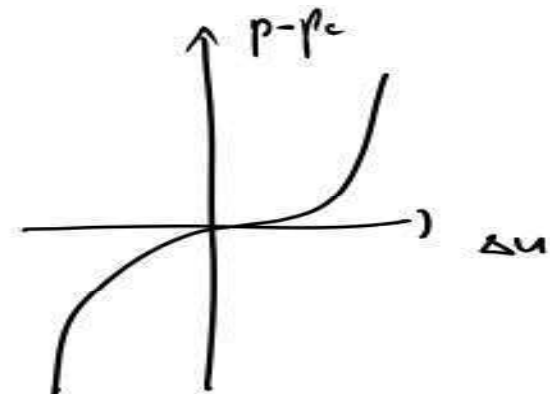
Für $p = p_c$ betrachten wir p als Funktion von u für kleine Abweichungen $\Delta u = u - u_c$:

$$p - p_c = \frac{g_{00}}{27b_0} \frac{u}{1 - bu} - a_0 u^2 - \frac{a_0}{27b_0} = \frac{a_0}{2} \frac{\Delta u^3}{u_c - \Delta u/c} \sim \Delta u^3$$

$$\text{d.h. } |\rho - \rho_c| \sim |\Delta u|^{\gamma}$$

$$\text{bzw. } |\Delta u| \sim |\rho - \rho_c|^{\beta}$$

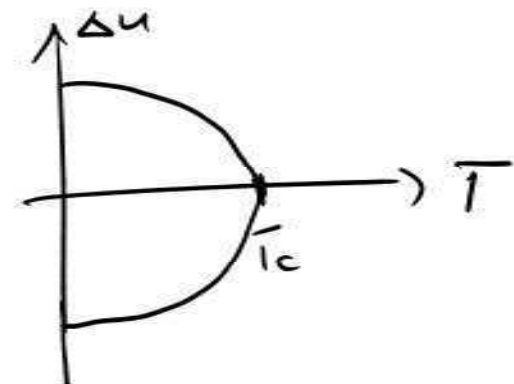
mit den kritischen Exponenten $\beta = 3$



Analog findet man für Δu als Funktion von T an $\rho = \rho_c$:

$$\Delta u \sim (T_c - T)^\lambda$$

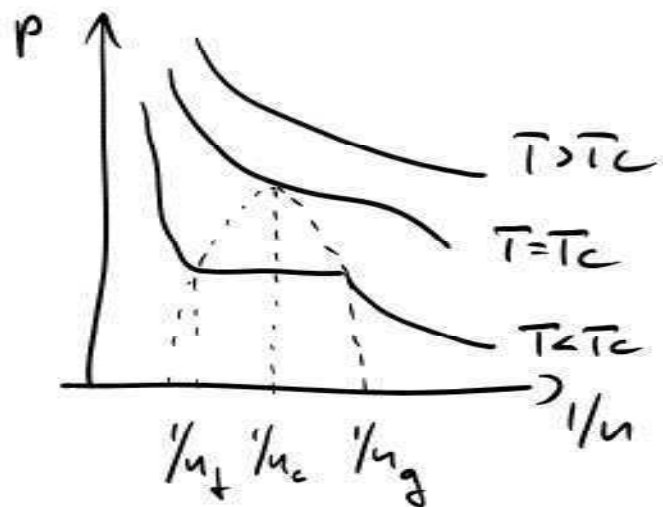
mit den kritischen Exponenten $\lambda = 1/2$



D.h. die kritischen Exponenten des van-der-Waals-Gas an (T_c, ρ_c) sind:

$$\gamma = 1, \quad \beta = 3, \quad \lambda = 1/2$$

Die relative Teilchenzahldichte $\Delta u = u - u_c$
 bzw. $\Delta u = u_f - u_g$ spielt die Rolle eines
Ordnungsparameters im Flüssig-Gas-Ubergang:



unterhalb T_c :

$\Delta u > 0$: Flüssigkeit

$\Delta u < 0$: Gas

an T_c :

$$\Delta u = 0$$

oberhalb T_c bedeutungslos.

8.3. Korrelationsfunktionen und Skalengesetze

8.3.1. Korrelationsfunktionen

Die wichtige Größe, die das Verhalten eines thermodynamischen Systems in der Nähe eines Phasenübergangs beschreibt ist die Korrelationsfunktion einer Größe X :

$$g(\vec{r}, \vec{r}') = \langle X(\vec{r}) X(\vec{r}') \rangle - \langle X(\vec{r}) \rangle \langle X(\vec{r}') \rangle$$

und $X = \int d^3r x(\vec{r})$ d.h. $x(\vec{r})$ ist
Dichte von X

$g \neq 0$ gdw. $x(\vec{r})$ und $x(\vec{r}')$ unterscheiden
sich bei \vec{r} und \vec{r}' .

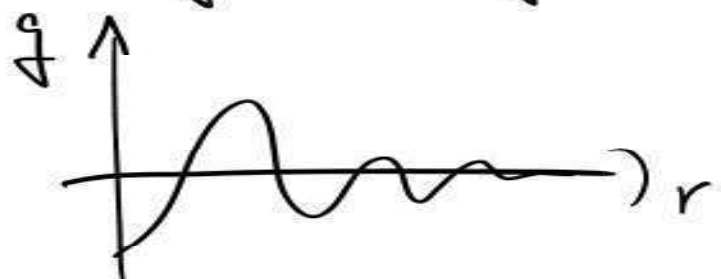
Beispiele:

1) Dichte-Korrelationen:

$$x(\vec{r}) = u(\vec{r}) \quad \text{Teildichten}$$

$$g(\vec{r}, \vec{r}') = \langle u(\vec{r}) u(\vec{r}') \rangle - \langle u(\vec{r}) \rangle \langle u(\vec{r}') \rangle$$

$g(\vec{r}, \vec{r}')$ oft homogen, d.h. $g(\vec{r}, \vec{r}') = g(|\vec{r} - \vec{r}'|)$



typisches oszillierendes

Verhalten, wobei Amplitude immer schwächer wird,

$$\langle u(\vec{r}) u(\vec{r}') \rangle \xrightarrow[r \rightarrow \infty]{} \langle u(\vec{r}) \rangle \langle u(\vec{r}') \rangle = \left(\frac{N}{V}\right)^2$$

2) Spin-Korrelationen

Bedeutet einfaches Modell für Ferromagnete.

$$H = -J \sum_{ij} S_i S_j - \mu B_0 \sum_i S_i \quad S_i = \pm 1$$

paarweise Wechselwirkung
der Spins untereinander
mit Stärke J

Einfluss eines äußeren
Magnetfelds $B_0 = \mu_0 H_0$
auf die magnet. Momenta
 $\mu_i = \mu S_i$

→ „Ising-Modell“

$\uparrow \downarrow \uparrow \uparrow \uparrow \downarrow \uparrow \downarrow \dots$
 $i = 1 2 3 4 5 6 7 8 \dots$

Die physikalische Größe, die wir beobachten wollen ist das gesuchte magnetische Moment

$$X = m = \mu \sum_i S_i \quad \text{mit} \quad \text{Dichte} \quad x(\vec{r}_i) = \mu S_i$$

$$\rightarrow g_{ij} = \langle S_i S_j \rangle - \langle S_i \rangle \langle S_j \rangle$$

Nun kann außerdem zeigen, dass in der Nähe von Punkten übergängen Korrelationsfunktionen univerzitativ durch

$$g(\vec{r}, \vec{r}') \sim \frac{\exp\left(-\frac{|\vec{r}-\vec{r}'|}{\xi(T)}\right)}{|\vec{r}-\vec{r}'|} \quad \text{gegeben sind.}$$

Die Korrelationslänge $\xi(T)$ ist zu definiert für die Reduktion von Korrelationen.

Für das Ising-Modell wollen wir nun einen Zusammenhang zwischen $g(\vec{r}, \vec{r}')$ und der isothermen Suszeptibilität $\chi_{\vec{r}}$ herstellen.

$$Z(T, B_0) = \text{Sp} e^{-\beta H} = \sum_{\{\vec{s}_i\}} \exp \left[-\beta \left(-J \sum_{ij} s_i s_j - \mu B_0 \sum_i s_i \right) \right]$$

$$\begin{aligned} \rightarrow \langle \vec{s} \rangle &= \frac{1}{Z} \sum_{\{\vec{s}_i\}} \left(\mu \sum_i s_i \right) \exp \left[\beta J \sum_{ij} s_i s_j + \beta \mu B_0 \sum_i s_i \right] \\ &= \frac{1}{\beta} \frac{\partial}{\partial B_0} \ln Z(T, B_0) = \langle \mu \sum_i s_i \rangle = \mu \sum_i \langle s_i \rangle \end{aligned}$$

$$\rightarrow \chi_{\vec{r}} = \frac{\mu}{V} \left(\frac{\partial \ln Z}{\partial B_0} \right)_{\vec{r}} = \frac{\mu}{V} \left\{ -\frac{1}{Z} \cdot \beta \sum_{\{\vec{s}_i\}} \left(\langle \vec{s} \rangle \cdot \sum_i s_i \right) + \frac{\beta}{Z} \sum_{\{\vec{s}_i\}} \left(\mu \sum_i s_i \right) \langle \mu \sum_i s_i \rangle \exp \left[\beta J \sum_{ij} s_i s_j \right] \right\}$$



$$\chi_T = \beta \mu^2 \sum_{ij} g_{ij}$$

„Fluktuation-Dissipations-Theorie“

d.h. Suszeptibilität und Spinkorrelationen hängen zusammen.

Betrachte nun χ_T für Phasenübergang 2. Ordnung:

Experiment: χ_T divergiert, vgl. χ_T aus Kap. 8.2.

aber: jeder Term auf der rechten Seite ist endlich,

$$\text{da } -1 \leq \langle s_i s_j \rangle \leq +1 \Rightarrow |g_{ij}| \leq 2$$

\Rightarrow • # Gitterplätze muss unendlich groß sein?

• Korrelationslänge muss divergieren da nur dann unendlich viele Terme auf rechter Seite $\neq 0$ sind

D.h. es gibt gewissemma kein 2. Phasenübergang
 2. Ordnung vor im thermodynamischen Limes
 $N \rightarrow \infty, V \rightarrow \infty, N/V = n = \text{const.}$ aufstreben.

Es gilt dann:

$$\xi(T) \xrightarrow[T \rightarrow T_c]{} \infty$$

Man spricht von unendlichen Fluktuationen.

$$\text{z.B. } \left| \frac{T - T_c}{T_c} \right| \approx 10^{-2} \leftrightarrow \xi \approx 100 \text{ \AA}$$

d.h. ξ wird viel größer als der typische Bereich
 mikroskopischer Wechselwirkungen.

\Rightarrow Physik des 2. Ordnungsphasenübergangs ist universell
 d.h. unabhängig von mikroskopischer Wechselwirkung

8.3.2. Kritische Exponenten

Die Physik sehr großer Korrelationsläufe wird als „kritische Phänomene“ beschrieben; kritische Exponenten spielen hier eine wichtige Rolle.

Für die reduzierte Temperatur gilt:

$$\varepsilon = \frac{T - T_c}{T_c}$$

Dann besitzen typische physikalische Observable in der Nähe von T_c Schwanken werden als:

$$f(\varepsilon) = a \varepsilon^q (1 + b \varepsilon^{\delta} + \dots) \quad \varepsilon > 0$$

so dass $F(\varepsilon) \sim \varepsilon^\varphi$

im kritischen Bereich nahe T_c .

Allgemein definiert man kritische Exponenten

$$\varphi = \lim_{\varepsilon \rightarrow 0^+} \frac{\ln |F(\varepsilon)|}{\ln (\varepsilon)}$$

$$\varphi' = \lim_{\varepsilon \rightarrow 0^-} \frac{\ln |F(\varepsilon)|}{\ln (-\varepsilon)}$$

und es kann $\varphi = \varphi'$ sein, muss aber nicht.

Beispiele für kritische Exponenten haben wir im Kapitel 8.2. für das van-der-Waals-Gas kennengelernt.

9. Kinetische Theorie: Boltzmann-Gleichung

Ziel: Beschreibung von Nicht-gleichgewichtsverhalten
thermodynamischer Systeme wie z.B.
Strömungen in Flüssigkeiten und Gasen

Dies kann auf unterschiedlichen Ebenen erfolgen:

- mikroskopische Beschreibung: Stoßprozesse aufgrund
elementarer Wechselwirkungen
- makroskopische Beschreibung durch Kontinuums-
mechanik: Navier - Stokes - Gleichungen

Zwischen diesen Extremen steht die mesoskopische Beschreibung durch die Boltzmann-Gleichung. Hier werden auf mikroskopischer Ebene nur zwei-Telchen-Stöße betrachtet. Diese Näherung ist dann gut, wenn die Zeit $\tilde{\tau}$ zwischen den Stößen viel größer als die Zeit $\tilde{\tau}_c$ der Stoß selbst ist,

$$\tilde{\tau} \gg \tilde{\tau}_c \approx \frac{r_c}{\bar{v}} \quad \leftarrow \text{Reduktion der } \omega$$

$$\quad \quad \quad \leftarrow \text{mögliche Geschwindigkeit}$$

~) verdünnter, klassisches Gas

9.1. Herleitung der Boltzmann Gleichung

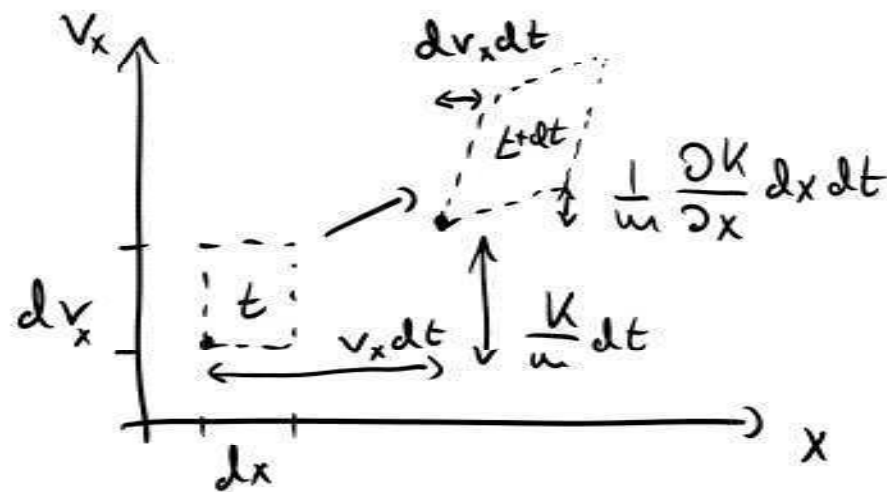
zentrales Element: Ein-Teilchen-Verteilungsfaktor

$$\int f(\vec{x}, \vec{v}, t) d^3x d^3v = \# \text{Teilehen im Volumen } d^3x \text{ um } \vec{x} \\ \text{u. J. Geschwindigkeit } d^3v \text{ um } \vec{v}$$

$$\int \int f(\vec{x}, \vec{v}, t) d^3x d^3v = N$$

- Der Raum $\{\vec{x}, \vec{v}\}$ heißt μ -Raum
- Verwende $\vec{v} = \vec{p}/m$ um die Impulse
- $d^3x d^3v$ groß genauer Teilchen aber klein gegenüber makroskopischen Maßen

Betrachte Bewegung eines Elements $d^3v d^3x$ in $[t, t+dt]$:



$$\frac{dv}{dt} = \frac{1}{m} \frac{dp}{dt} = \frac{K}{m}$$

$$K(x+dx) = K + \frac{\partial K}{\partial x} dx$$

Volumeninvarianz von $t, t+dt$ und gleich: $d^3x d^3v = d^3x' d^3v'$

$N = N'$ außer es finden Stoßprozesse statt \Rightarrow

$$\left[\int(\vec{x} + \vec{v} dt, \vec{v} + \frac{\vec{K}}{m} dt, t + dt) - \int(\vec{x}, \vec{v}, t) \right] d^3x d^3v = \left(\frac{\partial f}{\partial t} \right)_{\text{Stoß}} dt d^3x d^3v$$

Durch Taylor-Entwicklung der Pulse fekt erhalten wir:

$$\left(\vec{v} \vec{\nabla}_x + \frac{\vec{k}}{m} \vec{\nabla}_v + \frac{\partial}{\partial t} \right) f(\vec{x}, \vec{v}, t) = \left(\frac{\partial f}{\partial t} \right)_{\text{Stoß}}$$

Boltzmann-Gleichung

Strömungssterm

Stoßterm

$$\left(\frac{\partial f}{\partial t} \right)_{\text{Stoß}} = g - v \quad \text{mit } g d^3x d^3v : \text{Gewinn, d.h. Teilchen die durch Stoß in } d^3x d^3v \text{ hineingeschleudert werden}$$

$v d^3x d^3v : \text{„Verlust“ analog Gewinn}$

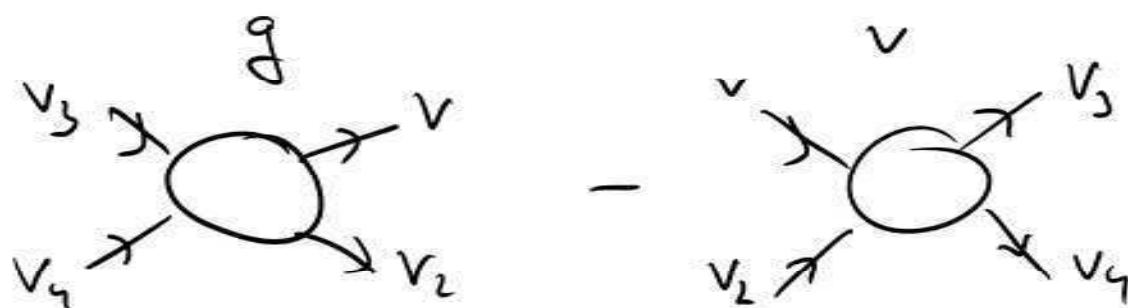
[Annahme: $d^3x d^3v$ so klein, dass jeder Stoß zu einem Wechsel des g -Volumenelements führt.]



Für den Stoßterm wählte Boltzmann den „Stoßzahlansatz“:

$$\left(\frac{\partial f}{\partial t}\right)_{\text{Sto}} = \int d^3v_1 d^3v_2 d^3v_3 \left[\omega(\vec{v}_1, \vec{v}_2; \vec{v}_3, \vec{v}_4) \cdot f(\vec{x}, \vec{v}_3, t) f(\vec{x}, \vec{v}_4, t) \right. \\ \left. - \omega(\vec{v}_1, \vec{v}_2; \vec{v}_3, \vec{v}_4) \cdot f(\vec{x}, \vec{v}_1, t) f(\vec{x}, \vec{v}_2, t) \right]$$

$\omega(\vec{v}_1, \vec{v}_2, \vec{v}_3, \vec{v}_4)$: Wahrscheinlichkeit eines Stoßes w. r. t. Eingangs geschwindigkeiten \vec{v}_1, \vec{v}_2 und Ausgangsgeschw. \vec{v}_3, \vec{v}_4



$$\text{Es gilt: } \omega(\vec{v}, \vec{v}_2; \vec{v}_3, \vec{v}_4) = \omega(\vec{v}_2, \vec{v}; \vec{v}_3, \vec{v}_4)$$

$$\cdot \quad \omega(-\vec{v}, \vec{v}_2; -\vec{v}_3, -\vec{v}_4) = \omega(\vec{v}, \vec{v}_2; \vec{v}_3, \vec{v}_4) \quad \text{Inversion}$$

$$\cdot \quad \omega(\vec{v}, \vec{v}_2; \vec{v}_3, \vec{v}_4) = \omega(-\vec{v}_3, -\vec{v}_4, -\vec{v}, -\vec{v}_2) \quad \text{Zeilentausch}$$

$$\Rightarrow \omega(\vec{v}, \vec{v}_2, \vec{v}_3, \vec{v}_4) = \omega(\vec{v}_3, \vec{v}_4, \vec{v}_1, \vec{v}_2)$$

\Rightarrow

$$\left[\frac{\partial}{\partial t} + \vec{v} \vec{\nabla}_x + \frac{\vec{k}}{m} \vec{V}_v \right] f(\vec{x}, \vec{v}, t) = \int dv_1 \int dv_3 \int dv_4 \omega(\vec{v}, \vec{v}_2, \vec{v}_3, \vec{v}_4) \cdot$$

$$\cdot \left[f(\vec{x}, \vec{v}_1, t) f(\vec{x}, \vec{v}_4, t) - f(\vec{x}, \vec{v}_2, t) f(\vec{x}, \vec{v}_3, t) \right]$$

\leadsto nichtlineare Jungen-Differentialgleichung

9.2. Folgerungen: H-Theorem und Irreversibilität

Beweisprinzip: Die Boltzmann-Gleichung beschreibt irreversibles Streben des Systems ins thermodynamische Gleichgewicht.

Zum Beweis folge die H-Entropie an:

$$H(\vec{x}, t) = \int d^3v f(\vec{x}, \vec{v}, t) \log(f(\vec{x}, \vec{v}, t)) \quad f := f(\vec{x}, \vec{v}, t)$$

$$\begin{aligned} \dot{H}(\vec{x}, t) &= \int d^3v f (1 + \log f) \dot{f} && \text{verwende Boltzmann} \\ &= - \int d^3v (1 + \log f) (\vec{v} \vec{\nabla}_x + \frac{k}{m} \vec{\nabla}_v) f - \overline{I}_{\text{Sob}} \\ &= - \vec{\nabla}_x \int d^3v (\sqrt{\log f}) \vec{v} - \overline{I}_{\text{Sob}} \end{aligned}$$

$$\text{da } \int d^3v \vec{v}_1 \dots = \int d\vec{v} \vec{v} \dots \stackrel{243}{=} 0$$

$\rightarrow \vec{j}_H(\vec{x}, t) := \int d^3v \log \vec{v} \quad \text{folgt:}$

$$\dot{H}(\vec{x}, t) = -\vec{\nabla}_x \cdot \vec{j}_H(\vec{x}, t) - \overline{I}_{\text{sh}}$$

\uparrow Änderung der Entropie
 aufgrund von Strömung \leftarrow Änderung aufgrund von
 Störungen

Vorzeichen von \overline{I}_{sh} :

$$\begin{aligned}
 \overline{I}_{\text{sh}} &= \int d^3v_1 d^3v_2 d^3v_3 d^3v_4 \omega(\vec{v}_1, \vec{v}_2, \vec{v}_3, \vec{v}_4) (\int_1 \int_2 - \int_3 \int_4) (1 + \log \frac{f_1}{f_2}) \\
 &= \frac{1}{4} \left\{ \begin{array}{c} " \\ " \\ " \end{array} \right. \quad \left(\begin{array}{l} (1 + \log f_1 + 1 + \log f_2) \\ -(1 + \log f_3) - (1 + \log f_4) \end{array} \right) \\
 &= \frac{1}{4} \left\{ \begin{array}{c} " \\ " \\ " \end{array} \right. \quad \left(\log \left(\frac{f_1 f_2}{f_3 f_4} \right) \right)
 \end{aligned}$$

$$\overline{I}_{\text{sh}} \geq 0 \quad \text{da} \quad (x - 1) \log(x/1) \geq 0$$

Discussion:

(i) Spezialfall $f(\vec{x}, \vec{v}, t) = f(\vec{v}, t) \Rightarrow \vec{\nabla}_{\vec{x}} \vec{j}_H(\vec{x}, t) = 0$
 $\rightarrow \dot{H} = -\underline{I} \leq 0$ d.h. H strebt Minimum zu.

≈ am Min. field: $f \stackrel{\triangle}{=} \text{Maxwell-Verteilung} \rightarrow \text{g.z.}$
 $\stackrel{\triangle}{=} \text{Gleichgewicht!}$

(ii) System sei im Volumen V abgeschlossen, dann

$$\int_V d^3x \vec{\nabla}_{\vec{x}} \vec{j}_H(\vec{x}, t) = \int_{\partial V} \vec{\hat{n}} \vec{j}_H(\vec{x}, t) = 0$$

$$\rightarrow \dot{H}_H = \int d^3x \dot{H}(\vec{x}, t) = - \int d^3x \underline{I} \leq 0$$

d.h. Abnahme der H-Entropie \triangleq Irreversibilität \tilde{V}

9.3. Erhaltungsgrößen und -sätze

Teilchenzahldichte $u(\vec{x}, t) = \int d^3 v \int$

Impulsdichte $mu(\vec{x}, t) \cdot u(\vec{x}, t) = m \int d^3 v \vec{v} \int$

↑
mittlere lokale Geschwindigkeitsdichte

Energie dichte

$$\frac{u(\vec{x}, t) mu^2(\vec{x}, t)}{2} + u(\vec{x}, t) c(\vec{x}, t) = \int d^3 v \frac{mv^2}{2} \int$$

↑
kin. Energie
der lokalen
Strömung

↑
mittlere kin. Energie
im lokalen
Referenzsystem

w.s. $v = u + \phi$
↑
Relativ-
geschwindigkeit

Außerdem verschwindet der Stoßterm, wenn
für alle Stoße $\int_1 \int_2 - \int_3 \int_4 = 0$ gilt, d.h.

$$\log f_1 + \log f_2 - \log f_3 - \log f_4 = 0$$

Dies gilt gdw. es gibt eine Linearbeziehung der
auf Stoßinvarianten $X_i = uv_i \quad i=1,2,3$

$$X_4 = uv^2/2$$

$$X_5 = 1$$

ist, d.h.

$$\log f(\vec{x}, \vec{v}, t) = \alpha(\vec{x}, t) + \beta(\vec{x}, t) \left(\vec{u}(\vec{x}, t) \cdot \vec{u}\vec{v} - \frac{\vec{u}^2}{2} \vec{v}^2 \right)$$

Dies kann umgeschrieben werden in

$$f^e(\vec{x}, \vec{v}, t) = u(\vec{x}, t) \left(\frac{m}{2\pi k T(\vec{x}, t)} \right)^{3/2} \exp \left(- \frac{m}{2kT(\vec{x}, t)} (\vec{v} - \vec{u}(\vec{x}, t))^2 \right)$$

wst $T(\vec{x}, t) = \frac{1}{k \beta(\vec{x}, t)}$ lokale Temperatur

$$u(\vec{x}, t) = \left(\frac{2\pi}{m \mu(\vec{x}, t)} \right)^{1/2} \exp \left(\alpha(\vec{x}, t) + \beta(\vec{x}, t) \frac{m \dot{u}^2(\vec{x}, t)}{2} \right)$$

lokale Teilchenzahldichte

f^e heißt lokale Maxwell-Verteilung, der Codek identisch mit Maxwell $f^o = u \left(\frac{m}{2\pi k T} \right)^{3/2} \exp(-mv^2/2kT)$

f^e lässt Boltzmann-Gleichung im Gleichgewicht, d.h. wenn Orbitalkräfte verschwinden.

~ Boltzmann-Gleichung mit Lehrsatz inhärenter
Aufgussverteilung relaxiert irgendwann ins
Gleichgewicht mit Maxwell-Verteilung und $g = v$.

Zur Herleitung der Erhaltungssätze beachten wir
die Stoffkonzentrationen:

$$n(\vec{x}, t) = \int d^3v \chi_5 f$$

$$m n(\vec{x}, t) u_i(\vec{x}, t) = \int d^3v \chi_i f$$

$$u(\vec{x}, t) \left(\frac{m \bar{u}^2(\vec{x}, t)}{2} + e(\vec{x}, t) \right) = \int d^3v \chi_u f$$

Leite jetzt Bewegungsgleichungen für Erhaltungssätze
des Boltzmann-Gleichgewichts ab:

$$\int d^3v \chi_\alpha(\vec{v}) \left[\frac{\partial}{\partial t} + \vec{v} \cdot \vec{\nabla}_x + \frac{\vec{k}}{m} \cdot \vec{\nabla}_v \right] f(\vec{x}, \vec{v}, t) = 0 , \text{ da}$$

$$\begin{aligned} & \int d^3v d^3v_2 d^3v_3 d^3v_4 \omega(v v_2, v_3 v_4) (\int \int_2 - \int_3 \int_4) \chi_\alpha \\ &= \frac{1}{4} \int \dots " (\int \int_2 - \int_3 \int_4) (\chi_\alpha + \chi_\alpha^L - \chi_\alpha^3 - \chi_\alpha^4) \end{aligned}$$

= 0 per Definition der Stoßdiagrammen

Sehe oben jetzt $\chi_\alpha \in \{\chi_1 \dots \chi_5\}$ ein und erhält:

$\chi_5 = 1$: Teilchenzahlserhaltung $(\text{u.l. } \int d^3r \vec{v} \cdot \vec{j} = 0)$

$$\frac{\partial u}{\partial t} + \vec{\nabla}_x \cdot \vec{j} = 0 \quad \text{und } \vec{j} = \int d^3r \vec{v} f$$

$\chi_{i=1,2,3} = uv_i$: Impulserhaltung

$$m \frac{\partial}{\partial t} u(\vec{x},t) u_i(\vec{x},t) + \vec{\nabla}_x \int d^3r m \vec{v} v_i f - K_i(\vec{x}) u(\vec{x}) = 0 \quad (\text{part. Int.})$$

$$\text{bzw. } m \frac{\partial}{\partial t} u v_i + \frac{\partial}{\partial x_i} (m u u_i v_i + m \underbrace{\int d^3r \phi_i \phi_j f}_{=: P_{i,j}}) = K_i u$$

$$=: P_{i,j} \quad (\text{u.l. } \vec{v} = \vec{u} - \vec{\phi})$$

$\chi_4 = \frac{mv^2}{2}$: Energieerhaltung

$$\frac{\partial}{\partial t} \int d^3r \frac{mv^2}{2} f + \vec{\nabla}_x \cdot \int d^3r (u_i + \phi_i) \frac{m}{2} (u^2 + 2\vec{u} \cdot \vec{\phi} + \phi^2) f - \vec{j} \cdot \vec{k} = 0$$

$$\rightarrow \frac{\partial}{\partial t} \left(u \frac{mu^2}{2} + ue \right) + \vec{\nabla}_i \left[u u_i \left(\frac{mu^2}{2} + e \right) + u_j P_{ij} + q_j \right] = \vec{j} \cdot \vec{k}$$

mit $P_{ij} = m \int d^3r \phi_i \phi_j f$
Drehmoment

und $\vec{q} = \int d^3r \vec{\phi} \left(\frac{m\phi^2}{2} \right) f$
wärmestromdichte

Diese Erhaltungssätze gelten nur für das
Gleichgewichtssystem so lange Stoßvorgänge unbekannt sind.

Diese können nur im hydrodynamischen Grenzfall
(lokales Gleichgewicht) unter dem Erhaltungssatz
ausgedrückt werden.